

T.C.
EGE ÜNİVERSİTESİ
SAĞLIK BİLİMLERİ ENSTİTÜSÜ

**POTANSİYEL OLARAK AKTİF
BAZI AMİT TÜREVİ BİLEŞİKLERİN SENTEZİ**



Ecz. Ayşe Hande Tarıkoğulları

102807

Danışman Öğretim Üyesi

Yrd. Doç. Dr. Orhan Zincircioğlu

İZMİR-2001

*Bu çalışmada, değerli bilgi ve yardımlarından yararlandığım, tez danışmanım
E. Ü. Eczacılık Fakültesi Farmasötik Kimya Anabilim Dalı Öğretim Üyelerinden Yrd.
Doç. Dr. Orhan Zincircioğlu'na ve son derece önemli destek ve yardımlarını aldığım
E. Ü. Eczacılık Fakültesi Farmasötik Kimya Anabilim Dalı Başkanı Prof. Dr. Varol
Pabuçcuoğlu'na sonsuz teşekkürlerimi ve saygılarımı sunarım. Ayrıca, bugüne kadar
bana her konuda yol gösteren E. Ü. Eczacılık Fakültesi Farmasötik Kimya Anabilim
Dalı Öğretim Üyelerinden Prof. Dr. Belkis Gözler'e şükranlarımı ve saygılarımı
sunarım.*

*Tez çalışmalarım sırasında yardımcılarını esirgemeyen çalışma arkadaşlarına
ve beni her zaman destekleyen aileme sonsuz sevgi ve teşekkürlerimi sunarım.*

İÇİNDEKİLER

GİRİŞ.....	1
TEORİK BÖLÜM.....	4
I. Epilepsi.....	4
A. Tarihçe.....	4
B. Epilepsinin Fizyolojik Tanımı.....	5
1. Epilepsinin Oluşma Nedenleri.....	6
C. Epilepsinin Sınıflandırılması.....	7
II. Antiepileptik İlaçlar.....	9
A. Antiepileptik İlaçların Tarihçesi.....	9
B. Tedevide Kullanılan Antiepileptik İlaçlar.....	10
C. Antiepileptik İlaçlarda Temel Etki Mekanizmaları.....	16
D. Antiepileptik İlaç Geliştirilmesinde Hedeflenen Biyolojik Sistemler..	19
1. İyon Kanalları.....	19
a. Na^+ Kanalları.....	19
b. Ca^{2+} Kanalları.....	20
c. K^+ Kanalları.....	21
2. γ -Aminobütirik asit-aracılığıyla inhibisyon.....	21
3. Glutamat aracılığıyla eksitasyon.....	22
III. 2(3H)-Benzoksazolon Türevleri Üzerinde Gerçekleştirilen Araştırmalar....	24
IV. Sentez Tepkimeleri.....	33
A. 2(3H)-Benzoksazolon Sentezi.....	33
B. Amit Sentezi.....	33
1. Aminlerin Açıl Halojenürlerle Tepkimesinden Karboksamit Hazırlanması.....	34

DENEYSEL BÖLÜM.....	36
I. Sentezler ve Spektral Bulgular.....	36
A. Materyal.....	36
B. Yöntemler.....	36
1. Kromatografik Analizler.....	36
2. Spektral Analizler.....	37
3. Erime Noktası Tayinleri.....	38
4. Bileşiklerin Sentezi ve Spektral Bulguların Değerlendirilmesi..	38
a. 2-kloro-N-fenilasetamit Türevlerinin Sentezi.....	38
• A1 Bileşiğinin Spektral Bulguları.....	40
• A2 Bileşiğinin Spektral Bulguları.....	41
• A3 Bileşiğinin Spektral Bulguları.....	42
• A5 Bileşiğinin Spektral Bulguları.....	43
• A6 Bileşiğinin Spektral Bulguları.....	44
b. 2(3H)-Benzoksazolinon Sentezi.....	45
• 2(3H)-Benzoksazolinon Bileşiğinin Spektral Bulguları... <td>46</td>	46
c. 2-okso-N-(sübstitüefenil)benzoksazol-3-asetamid Türevlerinin Sentezi.....	47
• T1 Bileşiğinin Spektral Bulguları.....	49
• T2 Bileşiğinin Spektral Bulguları.....	54
• T3 Bileşiğinin Spektral Bulguları.....	59
• T5 Bileşiğinin Spektral Bulguları.....	63
• T6 Bileşiğinin Spektral Bulguları.....	68
TARTIŞMA.....	73
I. 2-Kloro-N-fenilasetamit Türevlerinin Spektral Bulgularının Tartışılması.....	75
II. 2(3H)-Benzoksazolinon'un Spektral Bulgularının Tartışılması.....	76
III. 2-Okso-N-fenilbenzoksazolin-3-asetamit Türevlerinin Spektral Bulgularının Tartışılması.....	76
A. 2-Okso-N-fenilbenzoksazolin-3-asetamit Türevlerinin UV Bulgularının Değerlendirilmesi.....	76

B. 2-Okso-N-fenilbenzoksazolin-3-asetamit Türevlerinin IR Bulgularının Değerlendirilmesi.....	77
C. 2-Okso-N-fenilbenzoksazolin-3-asetamit Türevlerinin CIMS Bulgularının Değerlendirilmesi.....	78
D. 2-Okso-N-fenilbenzoksazolin-3-asetamit Türevlerinin ^1H NMR Bulgularının Değerlendirilmesi.....	79
1. 2-Okso-N-fenilbenzoksazolin-3-asetamit Bileşığının (T1) ^1H NMR Bulgularının Değerlendirilmesi.....	79
2. 2-Okso-N-(o-tolil)benzoksazolin-3-asetamit Bileşığının (T2) ^1H NMR Bulgularının Değerlendirilmesi.....	81
3. 2-Okso-N-(p-tolil)benzoksazolin-3-asetamit Bileşığının (T3) ^1H NMR Bulgularının Değerlendirilmesi.....	83
4. 2-Okso-N-(o-klorofenil)benzoksazolin-3-asetamit Bileşığının (T5) ^1H NMR Bulgularının Değerlendirilmesi.....	84
5. 2-Okso-N-(p-klorofenil)benzoksazolin-3-asetamit Bileşığının (T6) ^1H NMR Bulgularının Değerlendirilmesi.....	85
SONUÇ.....	87
ÖZET.....	91
SUMMARY.....	92
KAYNAKLAR.....	93
ÖZGEÇMİŞ.....	99

TABLOLAR, ŞEMALAR VE SPEKTRUMLAR

Tablolar

Tablo 1. Epilepsi Türlerinin Uluslararası Sınıflandırılması.....	8
Tablo 2. Tedavide Kullanılan Antiepileptik İlaçlar.....	12-14
Tablo 3. Sık Görülen Epilepsi Türlerinde Antiepileptik İlaçların Genel Tercih Sıraları.....	15
Tablo 4. Ara Ürünlerin Kristallendirme Çözüçüleri, % Verim ve Erime Dereceleri.....	39
Tablo 5. Son Ürünlerin Kristallendirme Çözüçüleri, % Verim ve Erime Dereceleri.....	48

Şemalar

Şema 1.....	34
Şema 2.....	35
Şema 3.....	74

Spektrumlar

Spektrum No 1. A1 Bileşığının IR Spektrumu.....	40
Spektrum No 2. A2 Bileşığının IR Spektrumu.....	41

Spektrum No 3. A3 Bileşiğinin IR Spektrumu.....	42
Spektrum No 4. A5 Bileşiğinin IR Spektrumu.....	43
Spektrum No 5. A6 Bileşiğinin IR Spektrumu.....	44
Spektrum No 6. 2(3H)-Benzoksazolinon Bileşiğinin IR Spektrumu.....	46
Spektrum No 7. T1 Bileşiğinin IR Spektrumu	51
Spektrum No 8. T1 Bileşiğinin ^1H NMR Spektrumu.....	51
Spektrum No 9. T1 Bileşiğinin 1H NMR Spektrumu (genişletilmiş).....	52
Spektrum No 10. T1 Bileşiğinin $\text{CDCl}_3+\text{DMSO-d}_6$ karışımında alınan ^1H NMR Spektrumu.....	52
Spektrum No 11. T1 Bileşiğinin CIMS Spektrumu	53
Spektrum No 12. T2 Bileşiğinin IR Spektrumu	56
Spektrum No 13. T2 Bileşiğinin ^1H NMR Spektrumu.....	56
Spektrum No 14. T2 Bileşiğinin ^1H NMR Spektrumu (genişletilmiş).....	57
Spektrum No 15. T2 Bileşiğinin 335 K' da alınan ^1H NMR Spektrumu.....	57
Spektrum No 16. T2 Bileşiğinin 335 K' da alınan ^1H NMR Spektrumu (genişletilmiş).....	58
Spektrum No 17. T2 Bileşiğinin CIMS Spektrumu.....	58
Spektrum No 18. T3 Bileşiğinin IR Spektrumu.....	61
Spektrum No 19. T3 Bileşiğinin ^1H NMR Spektrumu.....	61
Spektrum No 20. T3 Bileşiğinin 1H NMR Spektrumu (genişletilmiş).....	62
Spektrum No 21. T3 Bileşiğinin CIMS Spektrumu.....	62
Spektrum No 22. T5 Bileşiğinin IR Spektrumu.....	65
Spektrum No 23. T5 Bileşiğinin ^1H NMR Spektrumu.....	65
Spektrum No 24. T5 Bileşiğinin 1H NMR Spektrumu (genişletilmiş).....	66
Spektrum No 25. T5 Bileşiğinin 335 K' da alınan ^1H NMR Spektrumu.....	66
Spektrum No 26. T5 Bileşiğinin 335 K' da alınan ^1H NMR Spektrumu (genişletilmiş).....	67
Spektrum No 27. T5 Bileşiğinin CIMS Spektrumu.....	67
Spektrum No 28. T6 Bileşiğinin IR Spektrumu	70
Spektrum No 29. T6 Bileşiğinin ^1H NMR Spektrumu.....	70
Spektrum No 30. T6 Bileşiğinin 1H NMR Spektrumu (genişletilmiş).....	71
Spektrum No 31. T6 Bileşiğinin 335 K' da alınan ^1H NMR Spektrumu.....	71

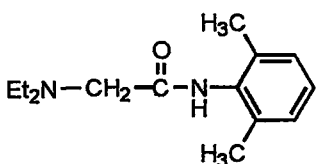
Spektrum No 32. T6 Bileşığının 335 K' da alınan ¹ H NMR Spektrumu (genişletilmiş).....	72
Spektrum No 33. T6 Bileşığının CIMS Spektrumu.....	72



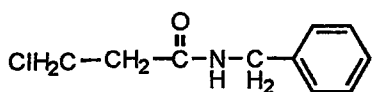
GİRİŞ

Son yıllarda Farmasötik Kimya alanında yaygın olarak çalışılan heterosiklik sistemlerden biri de 2(3H)-benzoksazolinon halka sistemidir. Bu halka sistemini taşıyan bileşiklerin antinosiseptif, antienflamatuar ve antibakteriyel etkiler gösterdiği bilinmektedir (8,9,14,29-31). Ayrıca son çalışmalar, 3-sübstitüe-2-benzoksazolinon türevlerinin, antikonvülzan aktivite taşıdıklarını ve gerek maksimal elektroşok testinde, gerekse pentilentetrazol testinde yüksek antikonvülzan aktivite gösterdiklerini bildirmektedir (31). Antikonvülzan aktiviteleri araştırılan 3-alkil ve 3-aminoalkil-2-benzoksazolinon türevleri arasında, 3-metil-2-benzoksazolinon bileşiği ümit verici aktivite gösteren türevlerden biri olmuştur.

Antiepileptik aktivite taşıdığı bilinen diğer bir grup bileşikte, ω -(1H-1-imidazolil)-N-fenilasetamit, propiyonamit ve butiramit türevleridir (1,27,38). Bu grup bileşiklerde antikonvülzan aktivite açısından imidazol halkasının şart olmadığı, azotlu bir başka halka varlığında da, örneğin pirazol, aktivitenin devam ettiği saptanmıştır (27). Antiaritmik ve lokal anestezik olarak kullanılan Lidokain'in düşük dozlarda gösterdiği antikonvülzan aktivite ve antiepileptik ilaç olarak kullanılan Beklamit'in yapısının incelenmeside bu bulguyu desteklemektedir.

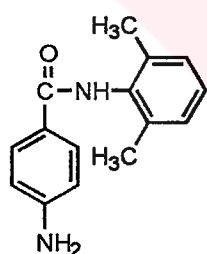


Lidokain

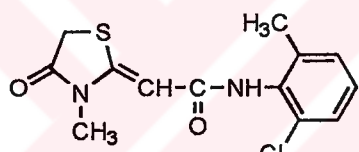


Beklamit

Son yıllarda, anilit türevlerinin yüksek düzeyde antikonvülzan aktivite gösterdiği ve hatta klinik incelemeler aşamasına gelmiş üç adet ilaç adayı olduğu bilinmektedir (3,13,20). Bunlar Ameltolid, D2916 ve ralitolin isimli bileşikleridir.



Ameltolid



Ralitolin

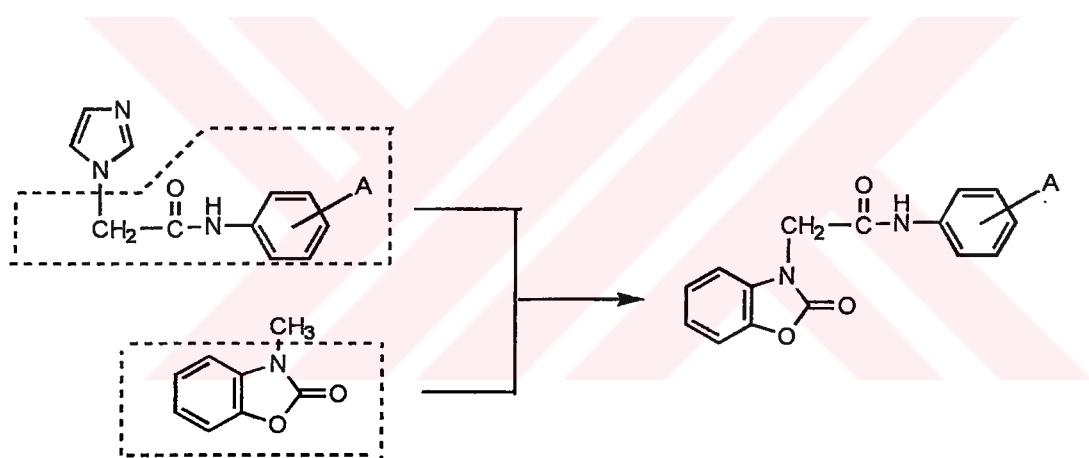


D 2916

Anilit türevlerinde gerçekleştirilen yapı-etki çalışmaları, antikonvülzan aktivitenin aktivitenin tamamıyla *N*-fenil halkasındaki sübstiyentlerin cinsine ve pozisyonuna bağlı olduğu, bu sübstiyentlerin özelliğinin ve kimyasal hacminin aktivitede çok kritik rol oynadığı saptanmıştır (2,3,19).

İlaç geliştirme çalışmalarında en verimli yöntemlerden birisi, moleküler modifikasyon yöntemidir. Moleküler modifikasyon yönteminin en sık uygulanan metodlarından biri, farklı farmakoforların kovalent bağ oluşumuyla birleştirilmesine dayanan moleküler melezleme metodudur (17). Çalışmamızda, bu düşünceden

hareketle, yeni antiepileptik bileşiklere duyulan gereksinim de dikkate alınarak, antikonvülzan aktivitesi daha önce saptanmış 3-metil-2-benzoksazolinon ve ω -(1H-1-imidazolil)-N-fenilasetamit bileşiklerindeki olası kromoforların birleştirilmesiyle oluşturulmuş 2-okso-N-fenilbenzoksazolin-3-asetamit türevi bileşiklerin sentezlenmesi amaçlanmıştır (Şekil 1). Anilit türevlerinde fenil halkası üzerindeki sübstiyentlerin ve pozisyonlarının antikonvülzan aktivite açısından taşıdığı önem nedeniyle sentezi planlanan 2-okso-N-fenilbenzoksazolin-3-asetamit türevlerinin N-fenil halkası üzerinde farklı elektronik ve lipofilik sübstiyentlerin yerleştirilmesi planlanmıştır.



Sekil 1

TEORİK BÖLÜM

I. Epilepsi

A. Tarihçe

Epilepsi insanlık tarihinin ilk dönemlerinden beri tanınan bir hastalıktır.

Hipokrat (M.Ö. 5. yy), yapıtlarında "kutsal denilen hastalık" başlığı altında ele alınan epilepsi hastalığının bir beyin hastalığı olduğunu belirtmiştir.

Epilepsinin tarihsel kökenlerinden gelen mistik ve doğa üstü yorumlar nedeniyle ülkemizde de birçok hastanın hekime gitmeden önce ya da hastalığının bir döneminde üfürükçü, medyum ya da cinci tabir edilen kişilere başvurduğu, muska taşıdığı ve yatırlara gittiği görülmektedir. Ayrıca, birçok hasta ya da hasta yakını bu hastalığı, saklanması hatta utanılması gereken bir durum gibi algılamaktadır (12).

Dünya genelinde değişik kültürlerde derece farklıyla benzer bir değerlendirmenin yaygın olması ve epilepsi hastalığının toplumsal açıdan bir leke gibi görülmesi nedeniyle Uluslararası Epilepsi ile Savaş Ligi (ILAE), Uluslararası Epilepsi Bürosu (IBE) ve Dünya Sağlık Örgütü (WHO) Haziran 1997 tarihinde "epilepside küresel aydınlanma" kampanyasını başlatmışlardır.

Yurdumuzda epilepsi ile ilgilenen hekimleri yapısında toplayan Türk Epilepsi ile Savaş Derneği alanındaki çağdaş gelişmeleri paylaşmak ve epilepsi araştırmalarını desteklemek başta olmak üzere, çeşitli bilimsel etkinliklerini 1973 yılından beri sürdürmektedir. 8-14 Haziran Günleri Epilepsi ile Savaş haftası olarak kabul edilmiştir (12).

B. Epilepsinin Fizyolojik Tanımı

Epilepsi beyin fonksiyonlarının paroksismal saptamları sonucunda ortaya çıkan ve yinelenen konvülziv nöbetlerle karakterize durumlar için kullanılan ortak bir terimdir; yani epilepsi tek bir hastalık değildir; aynı temele dayanan hastalıkların oluşturduğu bir hastalık grubudur (16,21). Beyin lezyonları, kafa travması (doğum sırasında olanlar dahil), beyin tümörü, serebrovasküler hastalıklar, SSS enfeksiyonları, dejeneratif SSS hastalıkları, genetik nedenler ve bilinmeyen bazı nedenler epilepsinin etiyolojisine yardımcı faktörlerdir (21). Kişinin yaşa olgunlaşmasına göre değişen şekiller gösterir (16).

Epilepsi paroksismal olarak başlar; kısa süren ve genellikle kendiliğinden geçen, bazen bilinc kaybına neden olan fokal ve/veya jeneralize kasılmaların ve duyusal bozuklıkların eşlik ettiği nöbetler şeklinde seyreder. Nöbetler (iktus'lar) arasındaki dönemde yani interiktal dönemde epilepsili hasta görünüşe göre normaldir (16).

Epilepsinin bütün formları beyinde oluşmaktadır. Elektrofizyolojik olarak konvülziv tutarlıklar, sinirlerin aşırı ekzite olması sonucunda ölçüsüz nöronal deşarjlarla karakterizedir ve elektroensefografî ile açıkça ayırt edilebilir (21).

1. Epilepsinin oluşma nedenleri

Beyindeki nöronlarda eksitabilité düzeyi eksitatör ve inhibitör etkiler arasındaki dengeye bağlıdır. Eksitabilité artması, teorik olarak eksitatör etkinliğinin artmasına veya inhibitör etkinliğinin azalmasına yani disinhibisyonuna bağlıdır. Nöron düzeyinde eksitabilitenin ayarlanması temel olay, Na^+ , Ca^{2+} , K^+ ve Cl^- iyonlarına karşı permeabilitenin (yani iyon konduktansının ve akımının) değiştirilmesidir. Nöron düzeyinde eksitasyon, nöron membranının Na^+ 'a ve bazı nöronlarda (hipokampusun piramidal hücreleri gibi) Ca^{2+} 'a permeabilitesinin artmasına bağlıdır. Nöron düzeyindeki inhibisyon ise Cl^- veya K^+ 'a permeabilitenin artması sonucu meydana gelir; sonuncu olayın bir şekli intraselüler Ca^{2+} 'a duyarlı olan potasyum konduktansının artması yani bu kanalların açılmasıdır.

Çeşitli nörotransmiter sistemleri esas olarak, nörotransmiter reseptörünün pre- veya -post sinaptik membranda kenetlendiği iyon kanallarının konduktansını (veya daha somut bir deyimle kanalların açıklığını veya açılıp kapanma frekansını) değiştirmek suretiyle eksitabiliteyi değiştirirler (16). Beyindeki ana eksitatör nörotransmiter L-glutamik asit (L-Glu); ana inhibitör transmitter ise γ -aminobütirik asittir (GABA). Beyin sinir hücrelerinde sinaptik bölgede, nörotransmitterlerle ve biyolojik fonksiyonları üretmek için orada yer alan interselüler maddelerle etkileşime giren çeşitli Glu ve GABA reseptörleri bulunmaktadır. Eksitatör hareket olan glutamerjik iletim ile inhibitör olan GABAerjik iletim arasındaki dengesizlik epilepsinin ana nedenidir (21). Normal inhibitör kontrolün kaybı ve nöronal eksitasyonun artışı epilepsi nöbetlerine yol açar. Bu mekanizma temel olarak alınırsa, yeni antiepileptik ilaçların geliştirilmesinde SSS'de eksitatör

nörotransmisyonu engellemek veya inhibitör süreci etkin kılmak rasyonel strateji olacaktır (21).

C. Epilepsinin Sınıflandırılması

Epilepsi, parsiyel ve jeneralize olmak üzere iki ana tutarık tipinden oluşmaktadır. Bunlarda muhtelif semptomatik kategorilerle altgruplara ayrılır. Bu semptomatik çeşitlilik, beyin fonksiyonlarını etkileyen çok çeşitli patolojik neticeyi belirtmektedir. Dolayısıyla ilaç geliştirmede belirli tutarık problemleri için belirli ilaçların kullanılması gibi çok yönlü yaklaşımlara ihtiyaç duyulmaktadır (21).

“International League Against Epilepsy” nin 1981 yılında yaptığı ve tutarık deşarjlarının yaygınlığı ile bilinci bozup bozmamaları esasına dayanan epilepsi türlerinin uluslararası sınıflandırılması Tablo 1’de verilmiştir (16).

Tablo 1. Epilepsi Türlerinin Uluslararası Sınıflandırılması

I. KİSMİ TUTARIKLAR: Bunlara lokal başlayan tutarıklar adı da verilir.

A. Basit Kısmi Tutarıklar (Basit semptomatoloji gösteren ve bilinç bozulmasına neden olmayan kısmi tutarıklar)

1. Motor belirtiler gösterenler (Jacksoniyen tutarıklar bu gruptadır)
2. Somatoduyusal veya özel-duyusal belirtiler gösterenler
3. Otonom sinir sistemine ilişkin belirtiler gösterenler
4. Psişik semptomlar gösterenler

B. Karmaşık (Kompleks) Kısmi Tutarıklar (Karmaşık semptomatoloji gösteren ve bilincin bozulmasına neden olan kısmi tutarıklar, bunlara eskiden temporal lob tutarıkları veya psikomotor tutarıklar adı verilirdi).

1. Basit kısmi tutarıklar şeklinde başlayan ve sonra bilinç bozulmasına yol açanlar
2. Başlangıçtan itibaren bilinç bozukluğu olanlar
 - a. Sadece bilinç bozukluğu gösterenler
 - b. İlave olarak otomatizmalar gösterenler

C. Sekonder Olarak Jeneralize Olan Kısmi Tutarıklar

1. Basit kısmi tutarıklara sekonder olanlar
2. Kompleks kısmi tutarıklara sekonder olanlar

II. JENERALİZE TUTARIKLAR (Bilateral olarak simetrikler ve lokal başlangıç göstermezler).

- A. 1. Absens (kesinti) tutarıkları (eski adıyla petit mal)
 2. Atipik absens tutarıkları (Lennox-Gastut sendromu dahil)

B. Myoklonik tutarıklar

C. Klonik tutarıklar

D. Tonik tutarıklar

E. Tonik-klonik tutarıklar (eski adıyla grand-mal)

F. Atonik tutarıklar

III. SINIFLANDIRILMAMIŞ EPİLEPTİK TUTARIKLAR (Veriler tam değil veya yetersiz)

II. Antiepileptik İlaçlar

Status epileptikus tedavisi ya da bir nöbet sırasında uygulanan tedavi bir yana bırakılacak olursa, antiepileptik tedavi genelde nöbet önleme tedavisidir (proflaktik tedavi). Çünkü günümüzde kullanılan antiepileptiklerin epileptik fenomenlerin başlayıp gelişmesine (epileptogeneze) etkili olduklarını gösterir yeterince inandırıcı kanıtlar bulunmamaktadır.

Genellikle çeşitli epilepsi tiplerinin tıbbi tedavisi daha çok, olmuş epileptik mekanizmaların etkinliğe geçmesini (iktogenez) baskılamak şeklinde olduğu görüşü daha fazla destek bulmaktadır. Bu açıdan bakıldığından antiepileptik tedavi semptomatik bir tedavidir ve sonuçta tedavinin, hastalığın gidişine, en azından olguların büyük çoğunluğunda etkili olmadığına inanılmaktadır (12).

Antiepileptik tedavi yıllarca süren ve hatta hastaların önemli bir bölümünde yaşam boyu devam eden bir tedavi biçimidir. Bu nedenle, böyle bir tedavi kararını alacak hekim, bu uygulama sonucu gelişecek ve hastasının bütün yaşam standartlarına yansıyacak bir dizi tıbbi, ekonomik ve sosyal sorunu dikkate almak zorundadır. Bu bakımından, eplepsinin tıbbi tedavisi oldukça zengin sorunsalı olan bir tedavi alanıdır ve tedaviyi yüklenen hekimin hastasındaki nöbetlerin önlenmesinde kullanacağı uygun tedavi protokollerini sürdürürken, kaçınılmaz biçimde bu olası sorunları da uğraşması gerekmektedir (12).

A. Antiepileptik İlaçların Tarihçesi

Antiepileptik ilaçlar geliştirilmeden önce, epilepsi tedavisi kafaya delik açmak, şişe çekmek ve bitkisel ilaçlar ile hayvansal ekstrelerin uygulanmasından oluşuyordu. 1857'de Sir Charles Locock, günümüzde katamenial epilepsi olarak

bilinen epilepsi tedavisinde, potasyum bromürü başarı ile kullanmıştır. 1912'de fenobarbital ilk olarak epilepsi tedavisi için kullanılmış ve sonraki 25 yılda, 35 fenobarbital analogu antikonvülzan olarak incelenmiştir. 1938'de fenitoin kedide deneysel nöbetlere karşı etkili bulunmuştur.

1935 ile 1960 arasında, hem deneysel modellerin geliştirilmesinde hem de yeni antiepileptik ilaçların taranması ve test edilmesinde çok önemli ilerlemeler sağlanmıştır. Bu süre boyunca, 13 yeni antiepileptik ilaç geliştirilmiş ve pazarlanmıştır. 1962'de Amerika Birleşik Devletlerinde ilaç sektörüne dönük yeni yasal düzenlemeler sonrasında, antiepileptik ilaç geliştirilmesi dramatik olarak azalmış ve sonraki 30 yılda yalnız birkaç yeni antiepileptik ilaç piyasaya sürülebilmiştir (32). Ancak, son yıllarda yeni antiepileptik ilaçların geliştirilmesine dönük çabaların arttığı görülmektedir.

B. Tedavide Kullanılan Antiepileptik İlaçlar

Tedavide kullanılan antiepileptik ilaçlar, kimyasal yapılarına göre şu gruplara ayrılırlar:

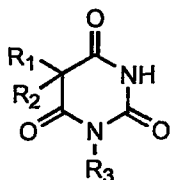
- 1) Barbitürik Asit Türevleri ve Benzer Yapılı Bileşikler
- 2) Hidantoin Türevleri
- 3) Oksazolidindion Türevleri
- 4) Süksinimit Türevleri
- 5) Dibenzazepin Türevleri
- 6) Açılıre Türevleri
- 7) GABA Türevleri

- 8) Propandiol Dikarbamat Türevleri
- 9) 1,2,4-Triazin Türevleri
- 10) Asetik Asit Türevleri
- 11) Benzodiazepin Türevleri
- 12) Sulfonamit Türevleri
- 13) Nipekotik Asit Türevleri

Klinikte kullanılan majör ilaçlar, örneğin fenitoin, karbamazepin, valproik asit, benzodiazepinler, etosüksimit, fenobarbital ve primidon 1950-1970 yılları arasında geliştirilmiş ilaçlardır. Bu grup ilaçlar *eski ilaçlar* ya da *ilk kuşak ilaçlar* olarak adlandırılırlar. 1970 yılından sonra tedaviye giren vigabatrin, gabapentin, felbamat, lamotrijin, oksakarbazepin, tiyagabin ve topiramat gibi türevler de *yeni ilaçlar* ya da *ikinci kuşak ilaçlar* olarak adlandırılmaktadır (1).

Bu ilaçların formülleri Tablo 2'de verilmektedir (1).

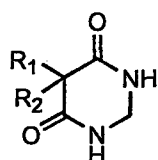
Ayrıca sık görülen epilepsi türlerinde antiepileptik ilaçların genel tercih sıraları da Tablo 3'te verilmektedir (16).

Tablo 2. Tedavide Kullanılan Antiepileptik İlaçlar**1) Barbitürık Asit Türevleri ve Benzer Yapılı Bileşikler**

R₁=C₂H₅, R₂=C₆H₅, R₃=H Fenobarbital

R₁=C₂H₅, R₂=C₆H₅, R₃=CH₃ Mefobarbital

R₁=R₂=C₂H₅, R₃=CH₃ Metobarbital



R₁=C₂H₅, R₂=C₆H₅ Primidon

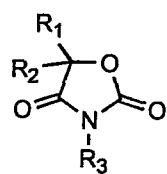
2) Hidantoin Türevleri

R₁=R₂=C₆H₅, R₃=H Feniiton

R₁=C₂H₅, R₂=C₆H₅, R₃=CH₃ Mefeniiton

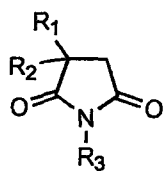
R₁=C₆H₅, R₂=H, R₃=C₂H₅ Etotoiton

R₁=R₂=C₆H₅, R₃=CH₂-O-PO₃⁻²Na₂⁺ Fosfeniiton

3) Oksazolidindion Türevleri

R₁=R₂=R₃=CH₃ Trimetadion

R₁=CH₃, R₂=C₂H₅, R₃=CH₃ Parametadion

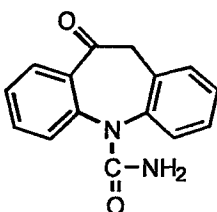
4) Süksinimit Türevleri

R₁=C₂H₅, R₂=CH₃, R₃=H Etosüksimit

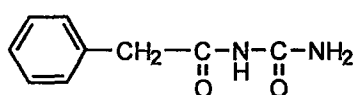
R₁=C₆H₅, R₂=R₃=CH₃ Metsüksimit

R₁=C₆H₅, R₂=H, R₃=CH₃ Fensüksimit

5) Dibenzazepin Türevleri

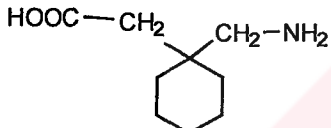


6) Açılüre Türevleri

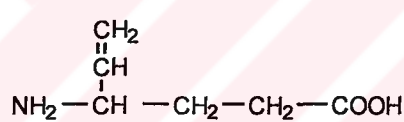


Fenasemit

7) GABA Türevleri



Gabapentin

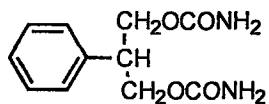


Vigabatrin



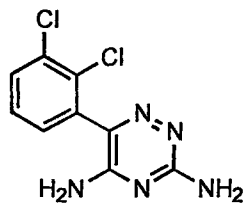
Progabit

8) Propandiol Dikarbamat Türevleri



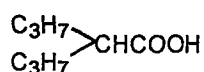
Felbamat

9) 1,2,4-Triazin Türevleri



Lamotrijin

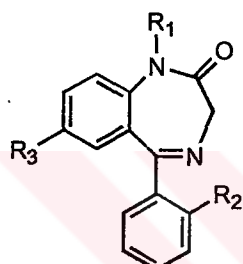
10) Asetik Asit Türevleri



Valproik asit

11) Benzodiazepin Türevleri

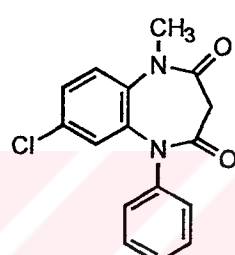
1,4-Benzodiazepin Türevleri



$\text{R}_1=\text{CH}_3$, $\text{R}_2=\text{H}$, $\text{R}_3=\text{Cl}$ Diazepam

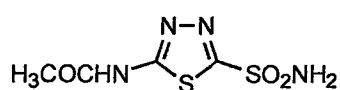
$\text{R}_1=\text{H}$, $\text{R}_2=\text{Cl}$, $\text{R}_3=\text{NO}_2$ Klonazepam

1,5-Benzodiazepin Türevleri

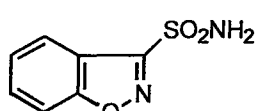


Klobazam

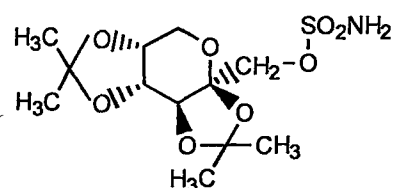
12) Sulfonamit Türevleri



Asetozolamit

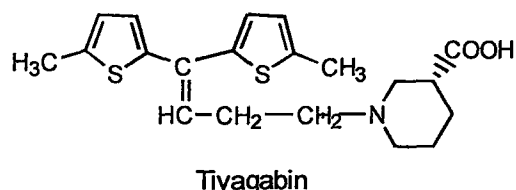


Zonisamit



Topiramat

13) Nipekotik asit Türevleri



Tiyagabin

Tablo 3
Sık Görülen Epilepsi Türlerinde Antiepileptik İlaçların Genel Tercih Sıraları

Epilepsi Türü	En çok tercih edilenler	Seyrek Kullanılanlar
I. Kısmi Tutarıklar: Basit kısmi tutarıklar, karmaşık kısmi tutarıklar ve sekonder olarak jeneralize olan kısmi tutarıklar	Fenitoin Karbamazepin Fenobarbital Primidon	Mefenitoin Mefobarbital Asetazolamit Valproik asit Felbamat Gabapentin Vigabatrin Lamotrigin Fenasemit
II. Jeneralize Tutarıklar		Klorazepat
1. Absens tutarıklar (petit mal)	Etosüksimit Valproik asit Klonazepam	Diazepam Metsüksimit Fensüksimit Trimetadion Asetazolamit
2. Jeneralize tonik-klonik tutarıklar (grand-mal)	Fenitoin Karbamazepin Fenobarbital Valproik asit	Primidon Etotoin Mefenitoin Mefobarbital Metarbital Asetazolamit
3. Myoklonik tutarıklar	Kortikotropin (ACTH)	Karbamazepin
a. İnfantil myoklonik tutarık (infantil spazm)	Kortikosteroidler Klonazepam	Fenitoin Fenobarbital Primidon
b. Diğerleri (postanoksik myoklonus dahil)	Valproik asit Klonazepam L-5-hidroksitriptofan	Karbamazepin Fenobarbital Diazepam Metarbital
4. Atonik tutarıklar	Valproik asit Klonazepam	Etosüksimit Trimetadion

C. Antiepileptik İlaçlarda Temel Etki Mekanizmaları

Epilepsinin çeşitli türlerinin patojenezi hakkındaki bilgilerin halen yeterli olmaması ve bunların altında yatan temel bozuklıkların açıkça ortaya konulamaması, antiepileptik ilaçların etki mekanizmalarının belirlenmesinde önemli bir engel yaratır. *In vivo* ve özellikle *in vitro* sistemlerde yapılan çeşitli incelemeler, bu ilaçların klinik antiepileptik etkinlikleri ile ilgili olabilecek bazı temel etkilerinin aydınlatılmasına yol açmıştır. Ancak bu incelemelerin bazlarının terapötik konsantrasyon düzeyinin üstündeki yüksek konsantrasyonlarda yapılması veya belirli bir etkinin ortaya çıkması için ilacın aşırı konsantrasyonlarda verilmesinin gereklisi, bu tür temel etkilerin antiepileptik etki mekanizmasına katkısı yönünden önemlerini azaltır. Söz konusu ilaçların antiepileptik etkinliğinde rol oynayabilecek temel etkilerin başlıcaları aşağıda belirtilmiştir:

- 1) Feniotoin ve benzeri “maksimal elektroşok testine karşı etkili” ilaçlar, nöron depolarizasyonunda önemli rol oynayan Na^+ ve Ca^{2+} influksunu (dışarı çıkışını) azaltırlar. Böylece lokal anesteziklerin veya kalsiyum antagonistlerinin yaptığına benzer şekilde, nöron ve diğer eksitabil hücrelerin membranını stabilize ederler. Bu tür ilaçlar, epileptojenik odakta bulunan nöronlar gibi yüksek frekanslı deşarj yapan nöronları, daha fazla inhibe ederler. Presinaptik kalsiyum influksunun inhibe edilmesi, çeşitli nöromediyatörlerin saliverilmesini azaltır. Flunarizin, verapamil ve diğer bazı kalsiyum antagonistlerinin (Ca^{2+} kanal blokörlerinin) deneysel epilepsi modellerinde etkili oldukları saptanmıştır. Valproik asidin ise Na^+ konduktansı üzerinde pek etkili olmadığı bulunmuştur.
- 2) Potasyum influks'unun artırılması, hiperpolarizasyone yol açan bir olaydır. Valproik asidin yüksek dozda bu şekilde bir etki oluşturduğu ve bunun, diğer etkiler

yanında, antiepileptik etkinliğine katkısının olacağı ileri sürülmüştür. Nöronlarda hücre içindeki bağlanmanın azaltılması sonucu sitoplazmadaki serbest Ca^{2+} düzeyinin yükselmesi, K^+ konduktansını artırarak hiperpolarizasyona yol açabilir ve eksitabiliteyi azaltabilir.

3) GABA_A /benzodiazepin reseptör kompleksinin aktive edilmesi ve klorür konduktansının artırılması, önemli bir mekanizma olarak görülmektedir. Antiepileptik ilaçların birçoğu terapötik konsantrasyonda veya daha yüksek konsantrasyonda, klorür kanalının açılmasını sağlayan bu kompleksi aktive ederek nöronlarda hiperpolarizasyona (inhibisyon) neden olurlar. Bazı ilaçlar (benzodiazepinler ve barbitüratlar gibi) kompleks üzerindeki reseptörlerine bağlanarak, onu aktive ederler. Diğer bazı ilaçlar GABAerjik aşırımı farklı yollardan güçlendirerek etki yaparlar. GABAerjik iletimin güçlendirilmesi, GABA biyosentezinin ve saliverilmesinin artırılması, GABA yıkımını azaltılması veya GABA uptake'sının azaltılması suretiyle yapılır. Başta benzodiazepinler, barbitüratlar ve valproik asit olmak üzere, etosüksimid, trimetadion ve fenitoin gibi ilaçlar, derecesi ilaca göre değişmek üzere, GABAerjik aşırımı güçlendirirler. Progabid, GABA_A ve GABA_B reseptörlerinin agonistidir ve kan-beyin engelini geçer; deneysel epilepsi modellerinde ve insandaki bazı epilepsi türlerinde etkili olduğu bulunmuştur. GABA-T enziminin inhibitörü vigabatrin ve GABA uptake inhibitörü THPO maddeleri de antiepileptik etkinlik gösterir. Vigabatrin Türkiye'de antiepileptik ilaç olarak pazarlanmıştır. Karbamazepin'in GABAerjik sistemle etkileşmediği ve onun antiepileptik etkinliğinde bu sistemin rolünün olmadığı sanılmaktadır. Etosüksimid ve valproik asit yüksek konsantrasyonda GABA-T'yi inhibe eder. Öte yandan, GABAerjik sistemin blokajı, pikrotoksin, pentilentetrazol,

bikukulin, tetanoz toksini ve izoniazid gibi ilaçların konvülzan etkilerinin mekanizmasında rol oynar.

4) Adenozinerjik nöromodülatör sistemin aktivasyonu antiepileptik etkinliğe katkısı olabilecek bir olaydır. Karbamazepin'in bu sistemle etkileştiği ve bu etkileşmenin onun antiepileptik etkinliğine katkısının olabileceği ileri sürülmüştür. Adenozin, odiyojenik tutarıkları ve pentilentetrazol, pikrotoksin, kainik asit ve merkaptopropionik asitle oluşturulan deneysel tutarıkları önleyebilir. Kafein ve teofilin ise, adenozin reseptörlerini bloke ederek yüksek dozda konvülziyon yaparlar.

5) Eksitatör sistem olan glutamerjik sinapslarda aşırıının inhibe edilmesi antikonvulzan etkinlige yol açar. Dizosilpin (M-801) adlı deneme döneminde bulunan bir bileşigin ve diğer glutamat NMDA reseptör blokörlerinin güçlü antikonvulzan etkinlik gösterdikleri bulunmuştur. Fenitoin, fenobarbital, Mg^{2+} ve adenozin glutamerjik etkinliği antagonize ederler.

6) Diğer nöromediyatör sistemler olarak dopaminerjik, noradrenerjik, seratonerjik, kolinerjik ve enkefalinerjik sistemlerin beyinin eksitabilité düzeyi ile ilişkileri vardır. Ancak, kullanılan ilaçlar arasında bu sistemlerle spesifik olarak etkileşerek antiepileptik etkinlik gösteren ilaç yoktur. Bu sistemlerle spesifik olarak etkileşme bazı ilaçların prokonvulzif yan etkilerinde rol oynayabilir.

7) Fenitoin beyinden hazırlanan sinaptozomlarda Na^+ , K^+ -ATPazı stimüle eder. Bu durum, nöron ve diğer eksitabil hücrelerin membranındaki sodyum pompasını teşkil eden bu enzimle yapılan Na^+/K^+ değişim tokuşunun elektrojenik özelliği nedeniyle, hücreleri hiperpolarize eder; ayrıca hücre içi serbest Na^+ düzeyini düşürdüğü için Ca^{2+} influksunu azaltır. Valproik asit, doğal yağ asitlerinin β -

oksidasyonunu inhibe ederek kanda keton cisimlerinin düzeyini yükseltir ve asidoz yapar. Keton cisimleri nöronlar tarafından glikojen yapımında kullanılır ve nöronda glikojen düzeyinin artması eksitabiliteyi düşürür (16).

D. Antiepileptik İlaç Geliştirilmesinde Hedeflenen Biyolojik Sistemler

1. İyon Kanalları

a. Na^+ Kanalları

Sinir sisteminde, voltaja duyarlı iyon kanalları hücre membranının yüzeyi ve içindeki katyonların akışını kontrol eder. Bunlar arasında Na^+ kanalları tartışılabilir olmakla birlikte esas önemli olandır. Voltaja duyarlı Na^+ kanalları nöronal aksiyon potansiyelini artırmaktan sorumludur ve sinir sisteminin intrinsik eksitabilitesini kontrol eder. Nöronal Na^+ kanalı plazma membranında Na^+ -seçici, voltaja duyarlı por oluşturan çoklu-altünite yapısına sahiptir. Protein yapısı, membrandaki değişikliklere tepki olarak konformasyonel değişikliğe uğrayarak intrinsik pordaki illetkenliği regüle eder.

Normal membran potansiyelinde, Na^+ kanallarının çoğu kapalı, istirahat halinde bulunmaktadır. Depolarizasyon olduğunda, kanallar aktive olur, iyon akışını kolaylaştırır. Daha sonra Na^+ kanalı yeniden inaktive (aktivasyona hazır olmayan) hale geçer. Nöronal membranın tekrar polarizlenmesi kanalı bir sonraki depolarizasyonlara tepki verebilmesi için süratle istirahat haline döndürür. Nöronal Na^+ kanalları bu fonksiyonel durumlara geçişleri milisaniyeler düzeyinde gerçekleştirilmektedir. Bu karakteristik olay, bazı normal beyin fonksiyonları için gerekli aksiyon potansiyelinin hızla birikmesini önlemesi açısından gereklidir ve bu

durum epileptik deşarjların oluşumu ile de ilişkilidir. Na^+ kanalları, antiepileptik ilaç geliştirme çalışmalarında en önemli hedeflerden birini temsil eder (18).

b. Ca^{2+} Kanalları

Voltaja duyarlı Ca^{2+} kanalları, ana elementlerleri Na^+ kanallarına karşılık gelen homolog serileriyle paylaşırlar. Ca^{2+} kanalının α_1 -altünitesi Na^+ kanalının α -altünitesine benzerdir. Bu altünite Ca^{2+} a duyarlı kanal porunu oluşturur ve voltaja duyarlı olmasını sağlar. Memeli beyinde, α_1 -altünitesi, β, γ ve δ olarak adlandırılan diğer altünitelerle heterojen olarak ortak çalışmaktadır.

Voltaja duyarlı Ca^{2+} kanalları, onları aktive eden membran potansiyellerine bağlı olarak, düşük ve yüksek eşikli olarak kabaca sınıflandırılabilir. Düşük eşikli T-tipi Ca^{2+} kanalının (thalamicocortical relay nöronları), jeneralize absens tutarıkların karakteristik deşarjlarından sorumlu olduğuna inanılmaktadır. Yüksek eşikli Ca^{2+} kanalları farmakolojik özelliklerine göre L-, N-, P-, Q- ve R- alttipilerine ayrılır. Bu kanallar sinir sistemi boyunca dentritler, hücre gövdeleri ve sinir uçlarına yayılmışlardır. N-, P- ve Q- tipi kanallar, sinapsta nörotransmitter salınımını kontrol eder.

Son yıllarda, bazı nörolojik hastalıklarla ilişkili kanal yapısı ve/veya fonksiyonunu değiştirebilen altünite-spesifik genetik mutasyonlarının aydınlatılmasının ardından, Ca^{2+} kanalları ile ilgili araştırmalara olan ilgi artmıştır. Voltaja duyarlı Ca^{2+} kanallarını alttip-spesifik anlamda bloke eden böylece antiepileptik aktivite ile ilişkisi olabilecek bazı antiepileptik ilaçlar rapor edilmiştir (18).

c. K⁺ Kanalları

Nöronal K⁺ kanalları, yapısal ve genetik olarak Na⁺ ve Ca²⁺ kanallarının α ve α_1 -altüniteleri ile ilişkili monomerler olan tetramerik yapıları oluşturan büyük protein kompleksleridir. Nöronal memrandaki 4 altünitenin (monomerler) birlikte çalışması, K⁺'a duyarlı porların dolasıyla da kanal fonksiyonlarının oluşması için gereklidir. Bazı yardımcı altünitelerle birlikte 40'tan fazla K⁺ kanal altüniteleri aydınlatılmıştır. Memeli beyinde ayrı fonksiyon ve dağılıma sahip sayılamayacak kadar çok K⁺ kanalı vardır.

Nöronal düzeyde, K⁺ kanalları eksitabilitéyle yakından ilişkilidirler. Bunlar aksiyon potansiyelinin düşmesinden yani Na⁺ kanal aktivasyonunun ters etkisi olarak plazma membranının repolarizasyonundan sorumludur. Voltaja duyarlı K⁺ kanallarının direk aktivasyonu nöronal membranı hiperpolarize eder ve aksiyon potansiyelinin ortaya çıkışını engeller. Buna bağlı olarak, K⁺ kanalını aktive eden maddeler, bazı deneyel tutarık modellerinde antikonvülzan aktivite gösterirken, K⁺ kanal blokörleri tutarıkları hızlandırırlar.

Bu nedenlerle voltaja duyarlı K⁺ kanalları antiepileptik ilaç geliştirme çalışmalarında önemli bir hedef olabilir (18).

2. γ -Aminobütürük asit-aracılığıyla inhibisyon

GABA memelilerin SSS'de tüm sinapslardan %40 oranla salınan esas inhibitör nörotransmitterdir. GABA fonksiyonlarının bozulması tutarıkların kısırtılmasına neden olurken, GABA'nın artışı antikonvülzan etki gösterir.

GABA, glutamik asit dekarboksilaz enziminin aktive olmasıyla GABAerjik nöronlarda glutamik asitten sentezlenir. Sinaptik salınımı bağlı olarak GABA, GABA_A, GABA_B ve GABA_C olmak üzere 3 spesifik reseptör ile etkileşir. GABA reseptörleri farmakolojileri ve fonksiyonlarına göre birbirlerinden farklılaşırlar. GABA_A ve GABA_B reseptörlerinin farmakolojik ve yapısal olarak daha basit olan GABA_C'den gelişğini öne sürülmektedir.

Reseptör aktivasyonunun ardından, GABA sinaptik aralıktan belirli bazı membrana-bağılı transfer molekülleri yardımıyla sinir terminali ve glial hücrelerine taşınır. GABA sinapslardan alındıktan sonra, ya nörotransmitter havuzuna geridönüşümle gelir veya mitokondrial enzim olan GABA-transaminazın aktivasyonuyla inaktif süksinik asit semialdehitine metabolize olur.

Bazı antiepileptik ilaçlar etkilerini GABAerjik sistemin aktivasyonuyla gösterir. GABA sentezinin artışı, salınının artışı, reseptör ile allosterik etkileşme ve GABA'nın inaktivasyonun engellenmesi günümüzde kullanılan ajanların aktivitesinin mekanizmasında rol oynar. GABA sistemi ayrıca yeni antiepileptik bileşiklerin rasyonel tasarımda en önemli hedeftir (18).

3. Glutamat aracılığıyla eksitasyon

Glutamat memeli beynindeki başlıca eksitatör nörotransmитerdir. Glutamatın odaksal enjeksiyonu hayvanlarda tutarıkları arttırır, bazı deneysel tutarık modellerinde ve insan epilepsi sendromunda glutamerjik iletimin aşırı aktivasyonu veya anormal glutamat reseptör özellikleri gözlenmiştir. Glutamatın nöronal

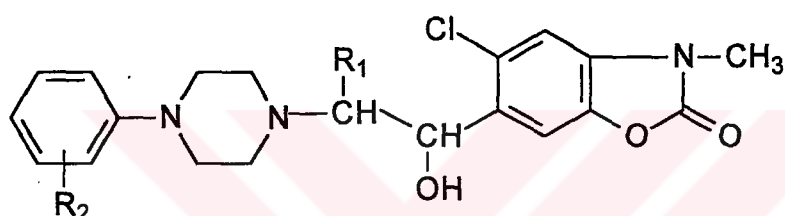
salınımının inhibisyonu ve reseptörlerinin blokajı, yeni antiepileptik ilaçların araştırılmasında büyük ilgi görmektedir.

Glutamat glutamerjik nöronlarda glutaminaz enziminin aktivasyonuyla glutaminden sentezlenir. Sinaptik salınımın ardından, glutamat farmakolojik etkilerini iyonotropik ve metabotropik gruplar olarak sınıflandırılan çeşitli reseptörler üzerinde gösterir. Glutamat sinaptik aralıktan çeşitli transfer maddelerinin yardımıyla sinir uçlarına ve glial hücrelerine alınır. Glial hücreleri glutamin sentetaz enziminin aktivasyonu ile glutamati glutamine çevirir. Glutamin daha sonra döngüyü tamamlamak üzere glutamerjik sinirlere transfer olur.

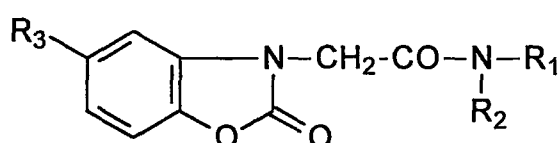
Sıkça kullanılan antiepileptik ilaçlar farmakolojik etkilerini sadece glutamat sisteminde göstermemekle birlikte, iyonotropik glutamat reseptörlerinin blokajının bazı bileşiklerin antiepileptik aktivitesiyle bağlantılı olduğuna inanılmaktadır (18).

III. 2(3H)-Benzoksazolinon Türevleri Üzerinde Gerçekleştirilen Araştırmalar

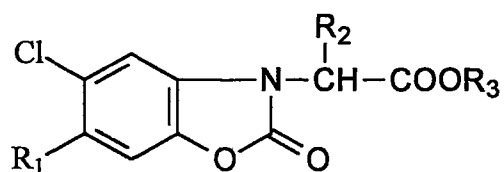
Erdoğan ve arkadaşları 1991 yılında, 8 yeni 1-(2-benzoksazolinon-6-il)-2-(4-arylpirerazin-1-il)etanol ve -propanol türevlerini sentezlemiştir. Sentez edilen bileşiklerin analjezik aktiviteleri tayin edilmiş olup 1-(5-kloro-3-metil-2-benzoksazolon-6-il)-2-[4-(2-metoksifenil)piperazin-1-il]etanol bileşığının O-asetil-salisilik asitten göreceli olarak daha aktif olduğu bulunmuştur (8).



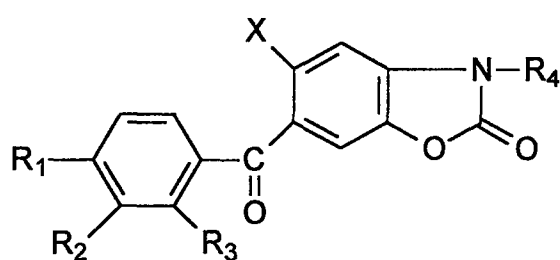
Çalış ve arkadaşları da 1992 yılında konuya ilgili yaptıkları çalışmalarında, 2-benzoksazolinon ile α -bromo-N-ariasetamit türevlerini reaksiyona sokarak 6 yeni asetamit türevi sentezlemiştir. Sentezi gerçekleştirilen bileşiklerin potansiyel antikonvulzan olarak tasarlandıkları belirtilmekle birlikte, biyolojik aktivite sonuçları rapor edilmemiştir (6).



Ünlü ve arkadaşları konuya ilgili 1992 yılında yaptıkları çalışmada, 10 yeni 5-kloro-2-benzoksazolinon ve 5-kloro-6-açil-2-benzoksazolinonların alkanoik asit türevlerini sentezlemiştir. Bu bileşiklerin analjezik aktiviteleri de test edilmiştir (37).



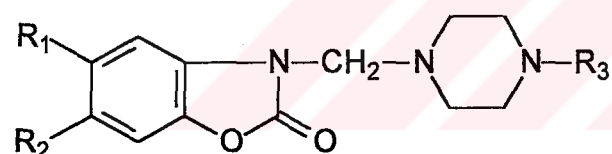
Pilli ve arkadaşları, 1993 yılında yaptıkları çalışmada 14 yeni 6-açil-2-benzoksazolinon, etil (6-açil-2-benzoksazolinon)asetat ve (6-açil-2-benzoksazolinon-3-il)asetik asit türevlerini sentezlemiştir. Bu bileşiklerin analjezik, antiinflamatuar aktivite testleri yapılmıştır. Ayrıca sentezi gerçekleştirilen bileşiklerin PGE₂ inhibisyon kapasiteleri de araştırılmıştır. Buna göre çoğu bileşikte analjezik aktivite gözlenmiş olup, bazılarının da PGE₂'nin inhibisyonunda potansiyel olarak büyük rol oynadığı saptanmıştır (31).



$X = H, Cl$ $R_1 = H, F$ $R_2 = H, F$ $R_3 = H, F$

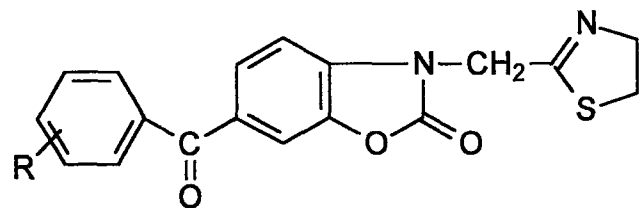
$R_4 = H, CH_2COOC_2H_5, CH_2COOH$

Palaska ve arkadaşları, 1995 yılında Mannich reaksiyonu ile uygun benzoksazolinon ve 4-sübstitüe piperazinleri kullanarak halkanın 3 konumunda piperazinometil grubu taşıyan 43 yeni benzoksazolinon türevlerini sentezlemiştir. Sentezi gerçekleştirilen bileşiklerin analjezik aktiviteleri tayin edilmiş ve çögünün asetil salisilik asitten daha aktif olduğu saptanmıştır. Bileşikler ayrıca antiinflamatuvar aktivite ve PGE₂ inhibisyon testlerine de tabi tutulmuş ve çoğu bileşigin indometazinden daha fazla aktiviteye sahip olduğu gözlenmiştir. Ülserojenik aktivite testlerinde, gastrointestinal kanama 100 mg/kg dozun altında görülmemiştir (30).



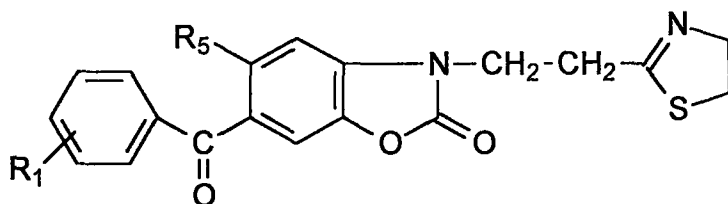
$R_1 = H, Cl$ $R_2 = R-C_6H_4-COCl$ $R_3 = C_5H_5N, R-C_6H_5-, COOEt$

Erol ve arkadaşları da 1995 yılında, sistamin HCl ile 6-açılı-2(3H)-benzoksazolon'un siyano türevlerini kullanarak tiyazolinoalkil-2(3H)-benzoksazolon türevlerini sentezlemiştir. Bu bileşiklerin antibakteriyel ve antifungal aktiviteleri test edilmiş olup etki gösterdikleri bakteri türleri tespit edilmiştir (10).



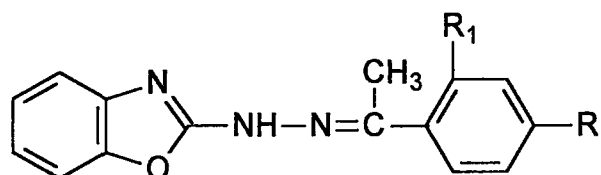
$R = H, Cl, F, CH_3O$

Erol ve arkadaşları 1996 yılında, bir yıl önceki çalışmalarının devamı olarak 6-acİL-3-tiyazolinoetil-2(3H)-benzoksazolon türevlerini, 6-acİL-2-(3H)-benzoksazolon'larla sistamin HCl'in etanolde reaksiyonuyla elde etmişlerdir. Bu bileşiklerin antibakteriyel ve antifungal aktiviteleri araştırılmış olup etki gösterdikleri bakteri ve mantar türleri saptanmıştır (9).

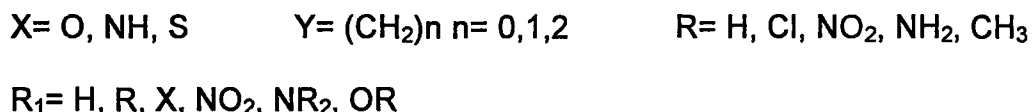
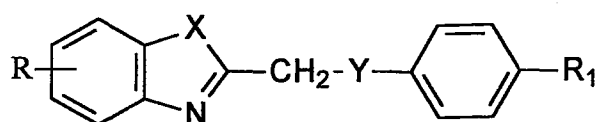


$R_1 = H, Cl, F, NO_2, CH_3O$ $R_5 = H, Cl$

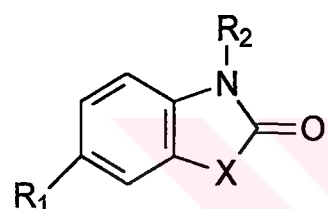
Ersan ve arkadaşları da 1997 yılında, *o*- veya *p*-sübstitüe asetofenonlarla 2-hidrazinobenzoksazolü etanolde reaksiyona sokup yeni 2-[(α -metilbenziliden)hidrazino]benzoksazol türevlerini sentezlemiştir. Bu bileşiklerin antimikrobiyal aktiviteleri test edilmiş, aktivite gösterdikleri bakteriler saptanmıştır (11).



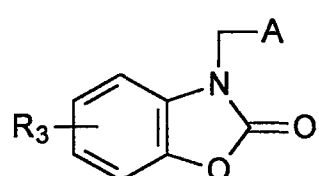
Ören ve arkadaşları 1997'de yaptıkları çalışmalarında, yeni bir seri 5 veya 6-metil-2-sübstitüe benzoksazol ve benzimidazoller sentezlemiştir ve bu bileşikleri mikrobiyolojik aktivite testlerine tabi tutmuşlardır. Bileşiklerin hangi bakteri türlerine karşı etkili olduğu saptanmıştır (26).



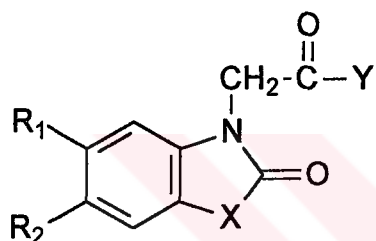
Uçar ve arkadaşları aynı yıl yaptıkları çalışmada, 100nM (+)-N-alilnormetazosin (NANM) varlığında [³H](+)-pentazosin veya [³H]1,3-di-o-tolilik guanidin (DTG)'i kullanarak bir seri 2(3H)-benzoksazolon ve 2(3H)-benzotiyazolon türevlerinin σ_1 ve σ_2 reseptör alüplerine ilgisini değerlendirmiştir. Bu türevlerin bazıları σ_1 bağlanma bölgelerine tercihli seçicidir. Bazı *in vivo* araştırmalar bu potansiyel σ_1 reseptör ligandlarının farelerdeki maksimal elektroşok tutarıklara karşı belirgin antikonvülzan aktivite gösterdiğini açığa çıkarmıştır (35).



Shankaran ve arkadaşları 1997 yılında, literatür bilgilerini modifiye ederek bir seri benzoksazolon türevlerini sentezlemiştir. Ticari olarak uygun analogların beraberinde, bu sentetik benzoksazolon analogları, nitrit oksit sentetaz (NOS) inhibitörü olarak değerlendirilmiş olup ayrıca yapı-aktivite ilişkileri kurulmuştur (33).



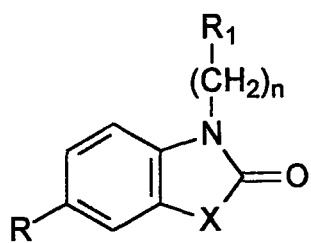
Doğruer ve arkadaşları 1998 yılında yaptıkları çalışmada, 16 tane (2-benzoksazolon-3-il ve 2-benzotiyazolon-3-il)asetik asit türevlerini sentezleyip, bu moleküllerin antinosiseptif ve antiinflamatuvar etkilerini test etmişlerdir. 4-[2-(6-benzoil-2-benzoksazolon-3-il)asetil]morpholin, 4-[2-[6-(2-klorobenzoil)-2-benzoksazolon-3-il]asetil]morpholin, 1-[2-(5-kloro-2-benzoksazolon-3-il)asetil]pirolidin, metil (6-metil-2-benzoksazolon-3-il)asetat diğerlerinden daha fazla potansiyel antinosiseptif aktivite göstermiştir (7).



$Y = 4\text{-morpholinil}, 1\text{-pirolidinil}, Et_2N, OR, OH \quad X = O, S$

$R_1 = H, Cl \quad R_2 = H, CH_3, C_6H_5CO, ClC_6H_4CO$

Uçar ve arkadaşları aynı yıl yaptıkları çalışmada, bir seri 2(3H)-benzoksazolon ve 2(3H)-benzotiyazolon türevlerini sentezlemiştir. Bu bileşiklerin antikonvülzan aktiviteleri maksimal elektroşok (MES) ve pentilentetrazol (scMet) yöntemleriyle test edilmiştir. Bazı bileşikler belirgin antikonvülzan aktivite göstermiştir (36).

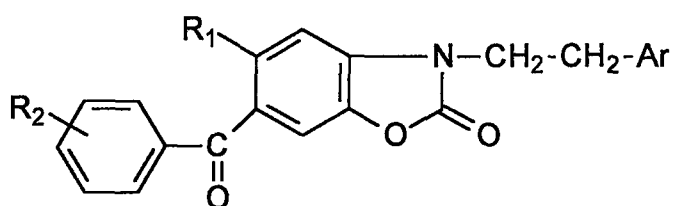


$\text{X} = \text{O}, \text{S}$ $n = 1, 2$

$\text{R} = \text{H}, \text{C}_a\text{H}_{2a+1}, \text{C}_a\text{H}_{2a+1}\text{CO}$

$\text{R}_1 = \text{H}, \text{CH}_3, \text{CH}_3\text{CO}, \text{N}(\text{CH}_3)_2, \text{CH}_2\text{C}_6\text{H}_5, 4\text{-morphonil}, 1\text{-piperidinil}$

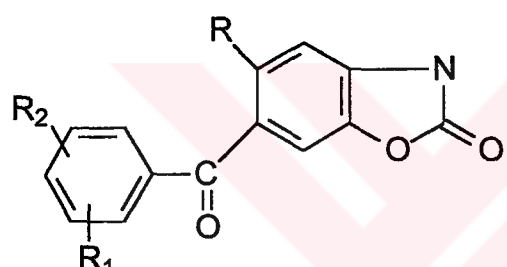
Palaska ve arkadaşları 1999 yılında yine bu konuya ilgili yaptıkları çalışmada, uygun bezoksazolinonlarla 2- ve/veya 4-vinilpiridin'leri reaksiyona sokarak 12 yeni 3-[2-(2- ve/veya 4-piridil)etil]benzoksazolinon türevlerini sentezlemiştir. Analjezik aktivite testleri yapılmış olup bileşikler 100 mg/kg doz seviyesinde asetilsalisilik asit ve morfine kıyasla belirgin analjezik etkilerinin olduğu kanıtlanmıştır. Bileşiklerin antiinflamatuar aktiviteleri de test edilmiş ve bazı bileşiklerin indometazinden daha aktif olduğu saptanmıştır. Gastrik ülserasyon çalışmalarında hiçbir bileşik 100 mg/kg doz seviyesinde gastrointestinal kanama göstermemiştir (29).



$\text{R}_1 = \text{H}, \text{Cl}$

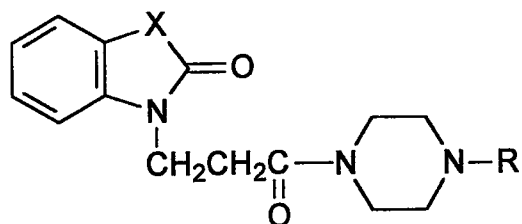
$\text{R}_2 = \text{C}_6\text{H}_5\text{CO}, \text{FC}_6\text{H}_4\text{CO}, \text{ClC}_6\text{H}_4\text{CO}, \text{Cl}_2\text{C}_6\text{H}_3\text{CO}$

Gökhan ve arkadaşları da, 1999 yılında yaptıkları çalışmada polifosforik asit varlığında 2-benzoksazolinon ile aromatik karboksilli asitleri reaksiyona sokarak halkanın 6 konumunda disübstítüe benzoil grubu taşıyan 10 yeni benzoksazolinon türevi sentezlemiştir. Bu bileşiklere 6 konumunda açılı grubunun varlığının analjezik aktiviteyi artırdığı bilgisine dayanarak analjezik aktivite testi yapılmış; 7 tane bileşiğin asetilsalisilik asitten daha fazla analjezik aktivite gösterdiği saptanmıştır. Ayrıca 5 konumunda Cl atomunun varlığının aktiviteyi güçlendirdiği saptanmıştır (14).



Önkol ve arkadaşları (2-benzoksazolinon-3-il)propionamit ve (2-benzotiyazolon-3-il)propionamit türevlerini sentezlemiştir. Farklı yöntemler kullanılarak bu bileşiklerin antinosiseptif aktiviteleri test edilmiştir.

X= S, R= -Ar ve X= O, R= -Ar-F bileşiklerinin en gelecek vaat edenler olduğu tespit edilmiştir (24).

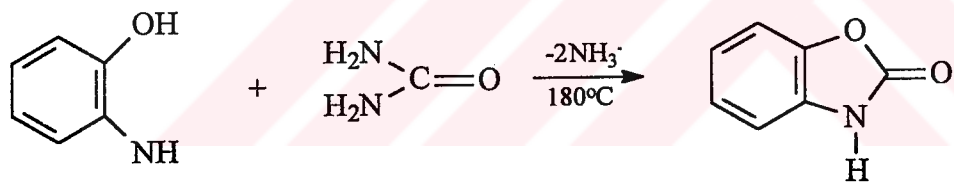


X= O, S R= CH₃, CH₂CH₂OH, C₆H₅, CH₂C₆H₅, C₅H₄N

IV. Sentez Tepkimeleri

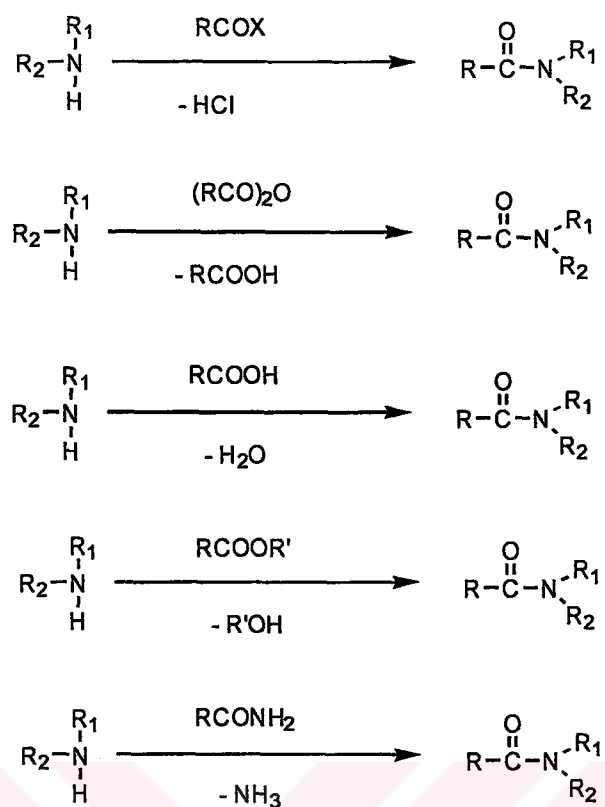
A. 2(3H)-Benzoksazolinon Sentezi

2(3H)-Benzoksazolinon, 2-aminofenol ile ürenin reaksiyona girmesiyle sentezlenir (7).



B. Amit Sentezi

Karboksamitler; amonyak veya primer ya da sekonder aminlerin, açılı halojenürler, anhidritler, asitler, esterler veya karboksamitlerle tepkimesi sonucunda elde edilirler (Şema 1) (22).



Şema 1

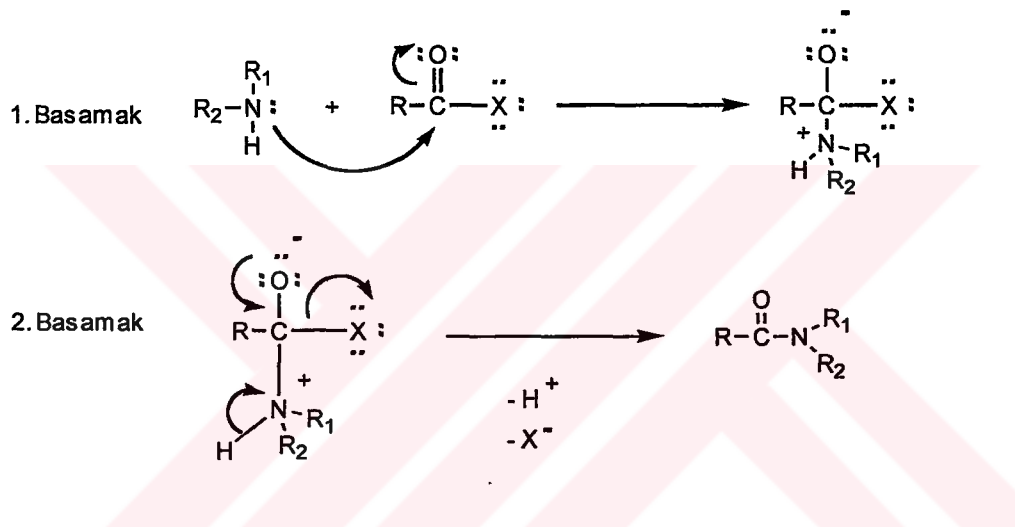
Açılı halojenürlerle gerçekleştirilen yöntem, en yaygın sentez yöntemi olduğu için ayrıntısıyla inceleneciktir.

1. Aminlerin Açılı Halojenürlerle Tepkimesinden Karboksamit Hazırlanması

Açılı halojenürlerin amonyak veya primer ya da sekonder aminlerle tepkimesi amitlerin hazırlanmasında kullanılan en yaygın yöntemdir. Tepkime hayli ekzotermik olup dikkatli bir şekilde yürütülmelidir. Amonyak sübstitüe olmamış amitleri verirken, primer aminler N-sübstitüe amitleri, sekonder amitler de N,N-disübstitüe amitleri verirler. Arilaminler de benzer şekilde açillendirilebilirler. Bazı durumlarda açığa çıkan HCl 'i tutmak için ortama sulu alkali eklenebilir. Bu yönteme Schotten-Baumann Yöntemi denir. Karboksamitleri oluşturmak üzere açılı

halojenürlerle aminlerin tepkimesi, tetrahedral mekanizmaya dayanan alifatik trigonal karbonda gerçekleşen bir nükleofilik sübstansiyon tepkimesidir. Tetrahedral mekanizma ikinci derece (bimoleküler) yani S_N2 mekanizmasıdır (22).

Tetrahedral mekanizmada nükleofil (karboksamit elde edilmesinde amonyak veya primer ya da sekonder amin) açılı halojenürün karbonil karbonuna saldırarak bağlanır. Bu şekilde oluşan ara ürün daha sonra halojen kaybederek karboksamiti vermektedir. Tepkime mekanizması şema 2' de örneklenmektedir.



Şema 2

DENEYSEL BÖLÜM

I. Sentezler ve Spektral Bulgular

A. Materyal

Sentez çalışmalarında başlangıç maddeleri olan anilin, o-toluidin, p-toluidin, o-kloroanilin, p-kloroanilin 2-kloroasetil klorür, 2-aminofenol ve üre Fluka firmasından temin edildi. Çalışmalarda kullanılan çözücülerin hepsi Merck firmasına ait olup analitik niteliktedir.

B. Yöntemler

1. Kromatografik Analizler

Sentez çalışmaları sırasında, tepkimeyi izlemek ve elde edilen bileşiklerin saflıklarını kontrol etmek amacıyla ince tabaka kromatografisinden (I.T.K.) faydalandırıldı. I.T.K. çalışmalarında silika jel 60F₂₅₄ (Merck 5715) ile kaplı 0.25 mm kalınlıkta hazır plaklar kullanıldı. Çalışmalar oda sıcaklığında yapıldı ve developman

işlemi kromatografi tanklarının çözücü buharıyla doyurulmasından sonra gerçekleştirildi. Sürükleme işlemi tamamlandıktan sonra açık havada kurutulan plakların üzerindeki lekeler 254 nm deki ultraviyole ışığı altında belirlendi. Ayrıca lekelerin belirlenmesinde iyot tankından da faydalandı. İ.T.K. de çözücü sistemi olarak ara ürünler (A_1 - A_6 ve B bileşikleri) için kloroform-metanol (9.5:0.5) ve son ürünler (T_1 - T_6 bileşikleri) için kloroform-metanol (9.75:0.25) ve heksan-kloroform-aseton (6:2:1) kullanıldı.

2. Spektral Analizler

Sentezini gerçekleştirdiğimiz ara ürünler olan 2-kloro-N-fenilasetamit türevleriyle 2(3H)-benzoksazolinon, daha önce literatürde rapor edilmiş bileşikler olduklarından yapı teyitlerinde R_F , erime derecesi değerleri ile UV, IR analizleri yeterli olmuştur. Sonuç maddelerimizin yapılarının aydınlatılmasında ise UV, IR, 1H NMR yöntemlerine ilave olarak kütle spektroskopisi yöntemi de kullanıldı.

Bileşiklerin UV Spektrumları, metanoldeki çözeltileri halinde 1 cm lik kuvartz küvet içinde Shimadzu 160-A Spektrofotometresinde alındı.

IR spektrumları, analitik saflıktaki KBr (Merck) içerisindeki pelletleri halinde Jasco FT/IR-400 Spektrofotometresinde ve Perkin-Elmer 1430 IR Spektrofotometresinde kaydedildi.

1H NMR spektrumları Bruker DPX-400 FT-NMR Spektrometre cihazında DMSO- d_6 veya $CHCl_3+DMSO-d_6$ karışımı içerisinde alındı.

Kütle spektrumları CI teknigi kullanilarak Mikromass VG Platform-II Kütle Spektrometresi cihazinda alindi.

3. Erime Noktası Tayinleri

Bileşiklerin erime dereceleri Buchi 510 marka erime derecesi tayin aletinde saptandi. Erime dereceleri düzeltilmenden verilmiştir.

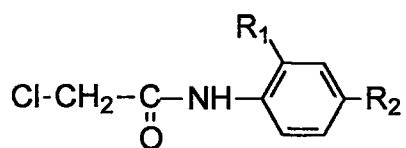
4. Bileşiklerin Sentezi ve Spektral Bulguların Değerlendirilmesi

a. 2-kloro-N-fenilasetamit Türevlerinin Sentezi

Sonuç bileşiklerin hazırlanması için gerekli olan ara ürünler aşağıda belirtilen yöntemle hazırlandı.

Anilin veya uygun o- veya p-sübstitüeanilinler (0.066 mol) 25 ml glasiyel asetik asit içerisinde çözüldü. Çözelti buzlu su içerisinde soğutularak ve manyetik karıştırıcı ile karıştırılarak üzerine damla damla 2-kloroasetil klorür (0.074 mol) ilave edildi. Reaksiyon karışımı 15 dakika buzlu suda , 45 dakika oda temperaturunde karıştırdı. Ardından karışım, doymuş sodyum asetat çözeltisine aktarıldı ve oluşan çökelti vakumla süzüldü. Suyla yıkanan ve kurutulan ham ürün uygun çözücü veya çözücü karışımılarından kristallendirilerek saflaştırıldı. Kristaller süzülerek alınıp oda sıcaklığında kurutuldu. (Kristallendirme çözücüleri, % verim ve erime dereceleri Tablo

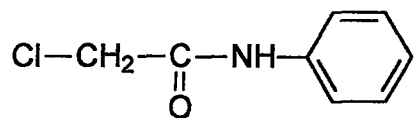
5 de belirtilmektedir). Bu yöntemle, 2-kloro-N-fenilasetamit (A1), 2-kloro-N-(o-tolil)asetamit (A2), 2-kloro-N-(p-tolil)asetamit (A3), 2-kloro-N-(o-klorofenil)asetamit (A5), 2-kloro-N-(p-klorofenil)asetamit (A6) bileşikleri elde edildi.



Bileşik No	R ₁	R ₂	Kristallendirme Çözücüsü	% Verim	Erime Derecesi (°C)
A1	H	H	etanol/su	44,21	133
A2	CH ₃	H	etanol/su	31,21	104
A3	H	CH ₃	etanol/su	48,38	164
A5	Cl	H	etanol/su	43,89	72
A6	H	Cl	etanol/su	47,89	170

Tablo 4. Ara Ürünlerin Kristallendirme Çözüçüleri, % Verim ve Erime Dereceleri

A1 Bileşinin Spektral Bulguları



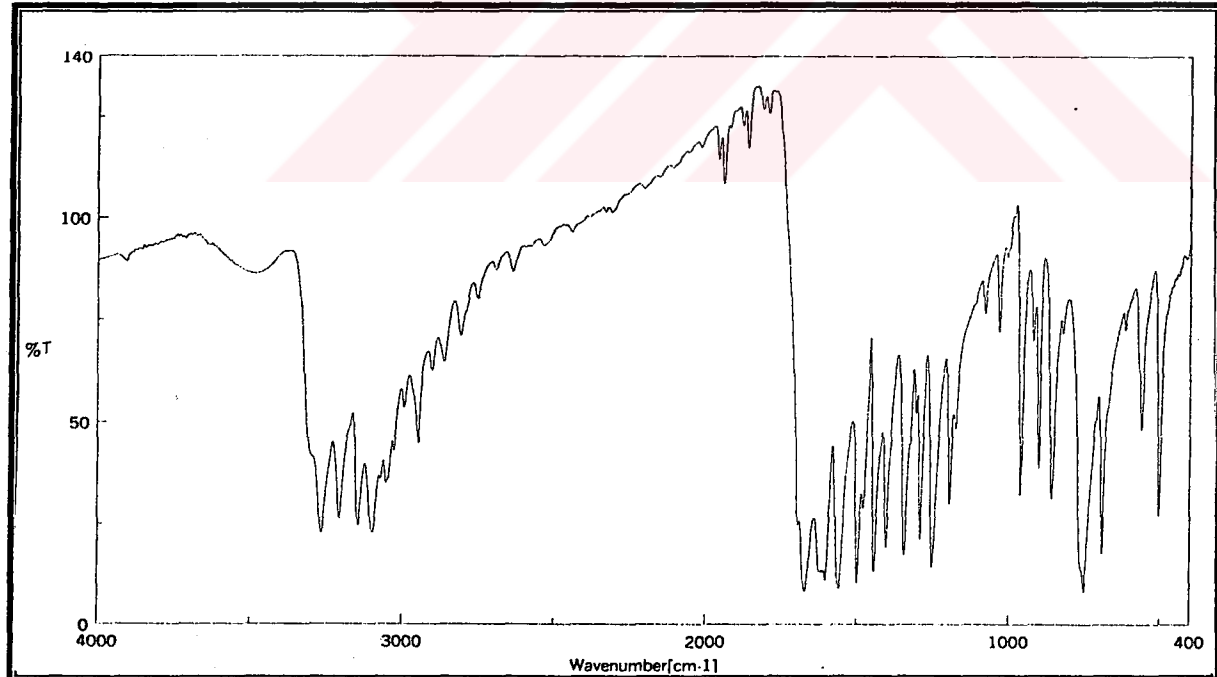
UV (MeOH)

λ_{maks} ($\log \epsilon$) 246 (4.06), 208 (3.96) nm.

IR (Spektrum No 1)

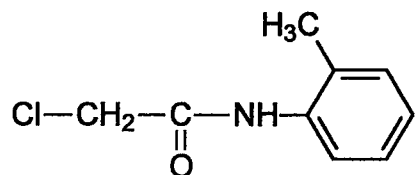
KBr

ν_{maks} 3265-3100 (N-H gerilme), 1672 (C=O, Amit I bandı), 1560 (Amit II bandı)



Spektrum No 1. A1 Bileşinin IR Spektrumu

A2 Bileşinin Spektral Bulguları



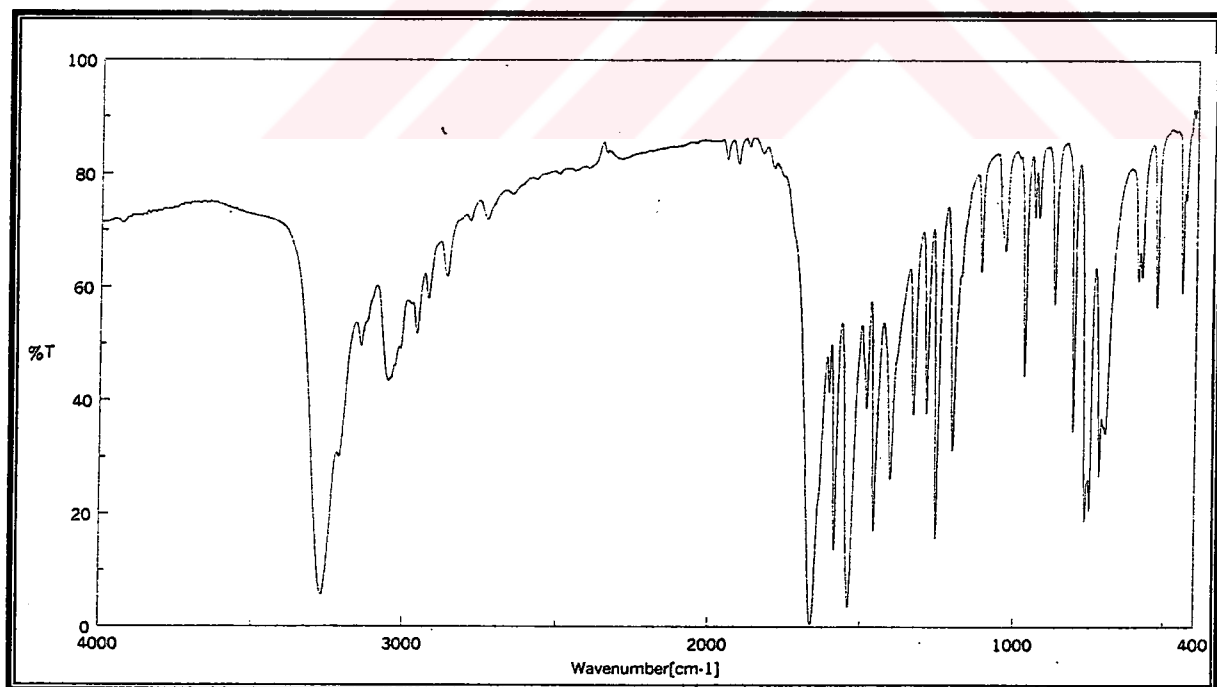
UV (MeOH)

$\lambda_{\text{maks}} (\log \epsilon)$ 234 (3.79), 209 (4.11) nm.

IR (Spektrum No 2)

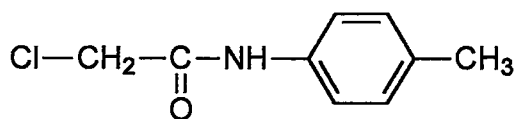
KBr

ν_{maks} 3269-3144 (N-H gerilme), 1665 (C=O, Amit I bandı), 1540 (Amit II bandı)



Spektrum No 2. A2 Bileşinin IR Spektrumu

A3 Bileşinin Spektral Bulguları



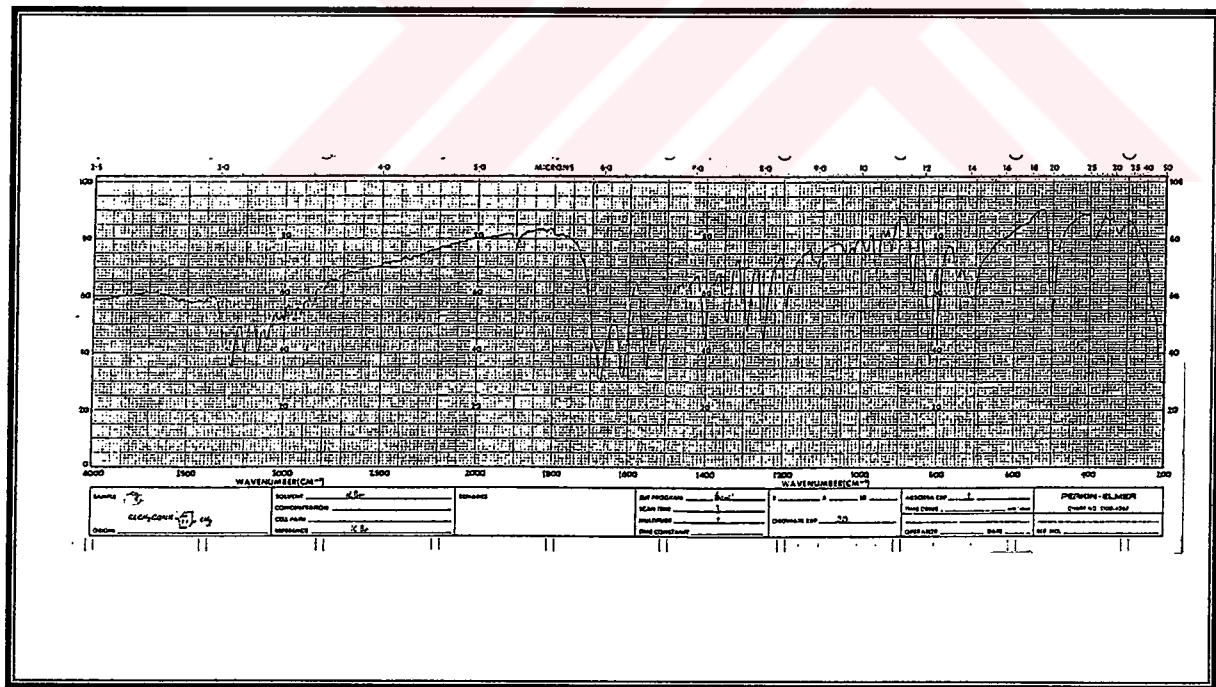
UV (MeOH)

λ_{maks} ($\log \epsilon$) 206 (3.97), 248 (3.93) nm.

IR (Spektrum No 3)

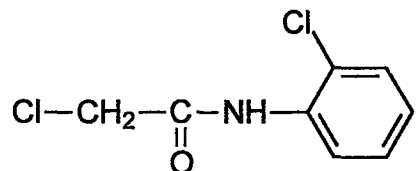
KBr

ν_{maks} 3300-3120 (N-H gerilme), 1675 (C=O, Amit I bandı)



Spektrum No 3. A3 Bileşinin IR Spektrumu

A5 Bileşığının Spektral Bulguları



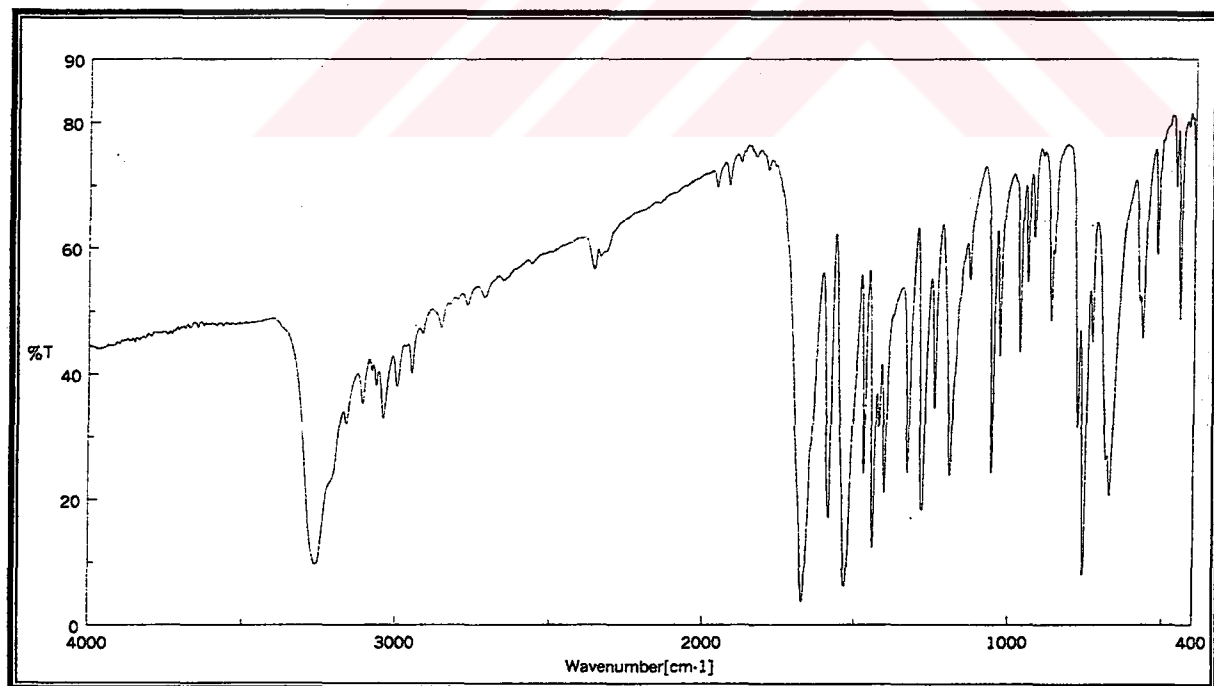
UV (MeOH)

λ_{maks} ($\log \epsilon$) 243 (3.98), 210 (3.26) nm.

IR (Spektrum No 4)

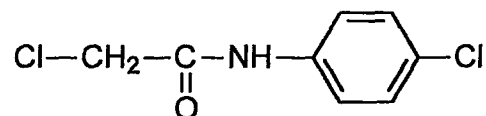
KBr

ν_{maks} 3265-3110 (N-H gerilme), 1675 (C=O, Amit I bandı), 1530 (Amit II bandı)



Spektrum No 4. A5 Bileşığının IR Spektrumu

A6 Bileşinin Spektral Bulguları



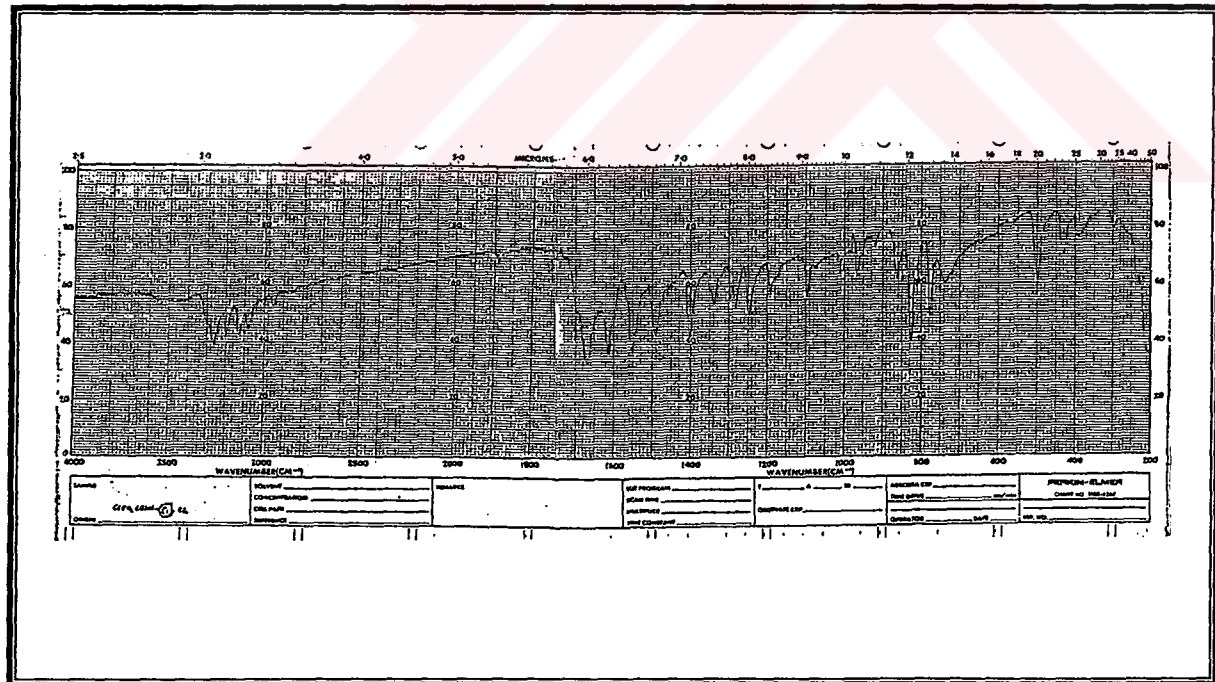
UV (MeOH)

λ_{maks} ($\log \varepsilon$) 205 (4.1), 250 (4.14) nm.

IR (Spektrum No 5)

KBr

ν_{maks} 3320-3105 (N-H gerilme), 1685 (C=O, Amit I bandı)

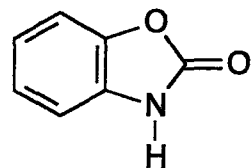


Spektrum No 5. A6 Bileşinin IR Spektrumu

b. 2(3H)-Benzoksazolinon Sentezi

0.1 mol 2-Aminofenol ve 0.4 mol üre bir balonda karıştırıldı. 180 °C'de yağ banyosunda, NH₃ gazı çıkışı tamamlanıncaya kadar ısıtıldı. Tepkime sonunda karışım soğuk suya boşaltılıp çökelti alındı. Daha sonra bu çökelti 100 ml %10'luk NaOH çözeltisinde çözülüp süzüldü. Süzüntü %33'lük HCl ile asitlendirildi. Oluşan çökelti süzüldü ve su ile yıkandı. Çökelti sıcak suda çözülüp aktif kömürle kirliliklerinden kurtarıldı ve sudan kristallendirildi. Verim % 41.96 olup erime derecesi 135° C olarak saptanmıştır.

2(3*H*)-Benzoksazolinon Bileşığının Spektral Bulguları



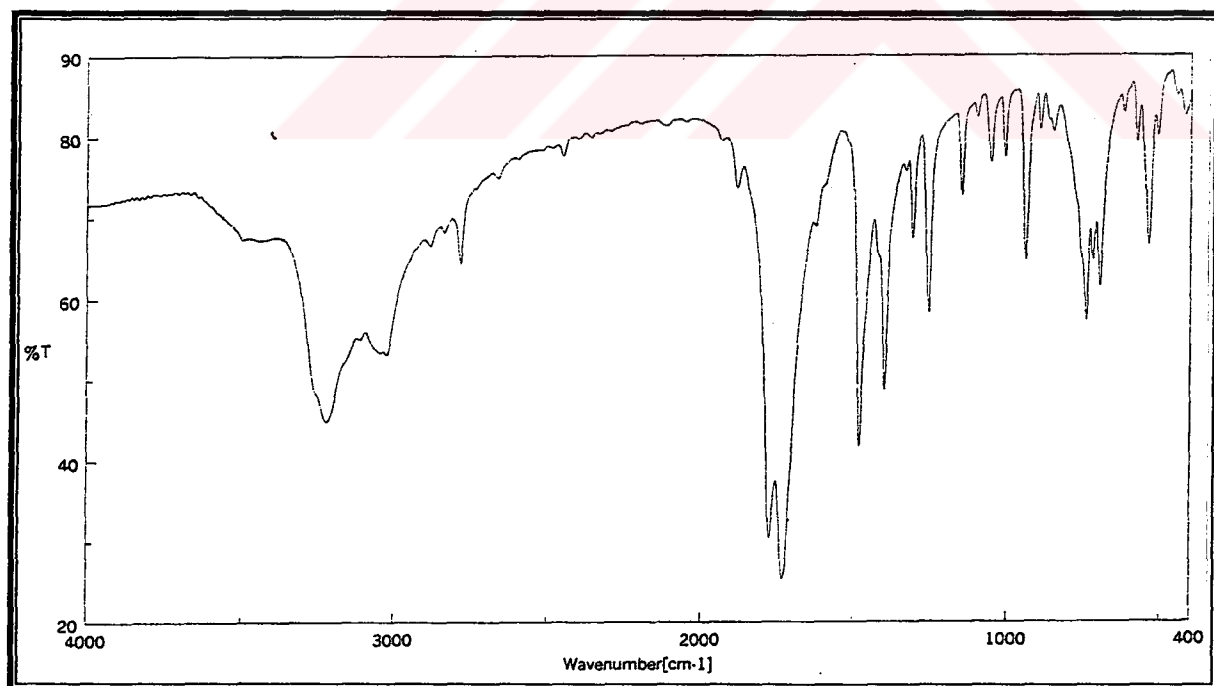
UV (MeOH)

λ_{maks} ($\log \varepsilon$) 274 (3.55), 228 (3.75) nm.

IR (Spektrum No 6)

KBr

ν_{maks} 3218 (N-H gerilme), 1774 (C=O gerilme), 1731 (C=O gerilme)

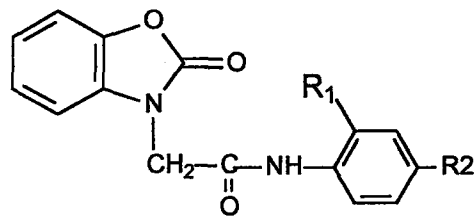


Spektrum No 6. 2(3*H*)-Benzoksazolinon Bileşığının IR Spektrumu

c. 2-okso-N-fenilbenzoksazolin-3-asetamit Türevlerinin Sentezi

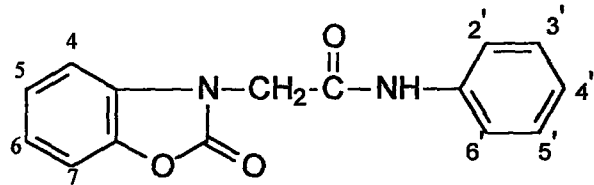
0.002 mol 2-benzoksazolinon ile 0.002 mol 2-Kloro-N-fenilasetamit veya 2-Kloro-N-(sübstitüefenil)asetamit' i 0.0021 mol K_2CO_3 varlığında çözücü olarak aseton kullanılarak 6 saat kaynatıldı. Reaksiyonun bitişi İTK ile belirlendi. Çözücü uçurulduktan sonra kalan katı bakiye su içine döküldü ve vakumla süzülüp su ile yıkandı. Kalan bakiye kuruduktan sonra etanolden kristallendirildi.

Bu yöntemle 2-okso-N-fenilbenzoksazolin-3-asetamit (T1), 2-okso-N-(o-tolil)benzoksazolin-3-asetamit (T2), 2-okso-N-(p-tolil)benzoksazolin-3-asetamit (T3), 2-okso-N-(o-klorofenil)benzoksazolin-3-asetamit (T5), 2-okso-N-(p-klorofenil)benzoksazolin-3-asetamit (T6) bileşikleri sentezlenmiştir.



Bileşik No	R ₁	R ₂	Kristallendirme Çözücü	% Verim	Erime Derecesi (°C)
T1	H	H	etanol	23	211
T2	CH ₃	H	etanol	10	232-234
T3	H	CH ₃	etanol	9	223-224
T5	Cl	H	etanol	9	208
T6	H	Cl	etanol	24	227-229

Tablo 5. Son Ürünlerin Kristallendirme Çözüçüleri, % Verim ve Erime Dereceleri

T1 Bileşinin Spektral Bulguları**UV (MeOH)** λ_{maks} ($\log \epsilon$) 254 (4.29), 293 (sh) (3.83) nm.**IR (Spektrum No 7)**

KBr

ν_{maks} 3332 (N-H gerilme), 1762 (C=O gerilme), 1693 (C=O gerilme, Amit I Bandı),
1559 (N-H eğilme)

 $^1\text{H NMR}$ (Spektrum No 8-10)DMSO-d₆ δ 4.35 [2H (minör), s, CH₂]4.60 [2H (majör), s, CH₂]6.78 [1H (minör), *td*]6.81 [1H (minör), *dd*]6.96 [1H (majör), *t*, $J = 7.4$ Hz, H-4']

7.04 [1H (majör), *td*, *J*= 1.4, 7.7 Hz, H-6*]

7.10 [1H (majör), *td*, *J*= 1.1, 7.7 Hz, H-5*]

7.15 [1H (majör), *dd*, *J*= 1.2, 7.7 Hz, H-7**]

7.20 [2H (majör), *t*, *J*= 7.9 Hz, H-3' ve H-5']

7.25 [1H (majör), *dd*, *J*= 0.6, 7.7 Hz, H-4**]

7.34 [1H (minör), *td*]

7.38 [1H (minör), *d*]

7.46 [2H (majör), *d*, *J*= 7.7 Hz, H-2' ve H-6']

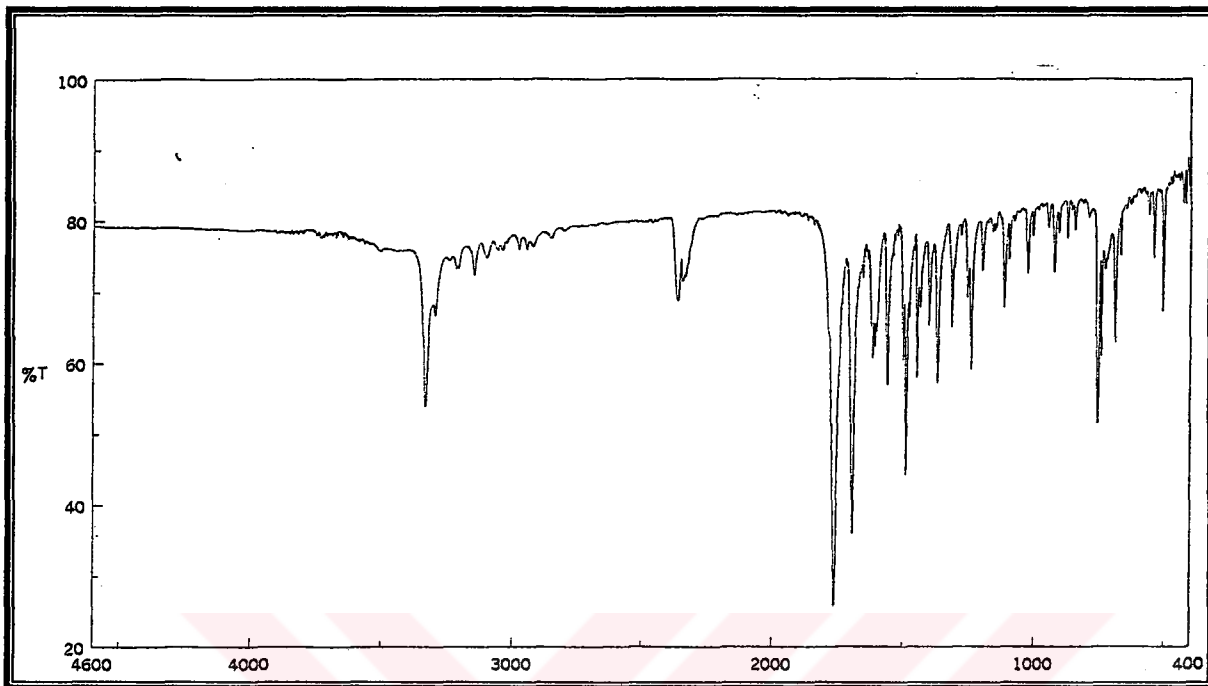
10.25 [1H (majör), *brs*, N-H]

* iki protonun yeri değişebilir

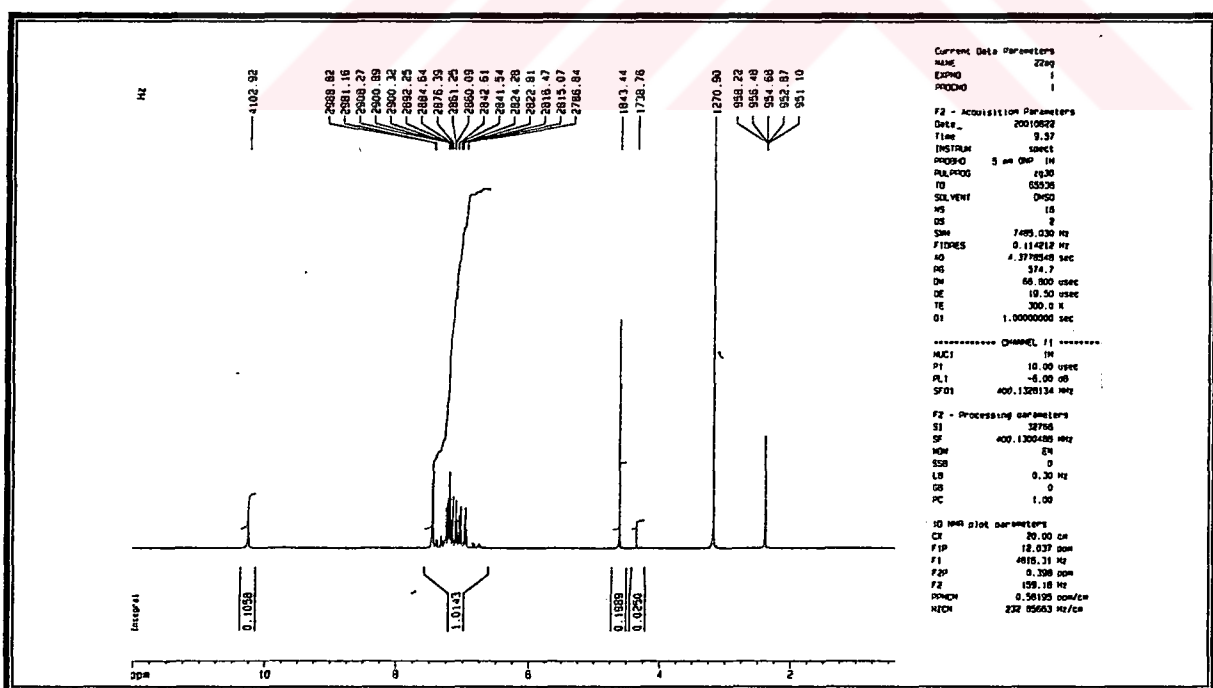
** iki protonun yeri değişebilir

CI MS (Spektrum No 11)

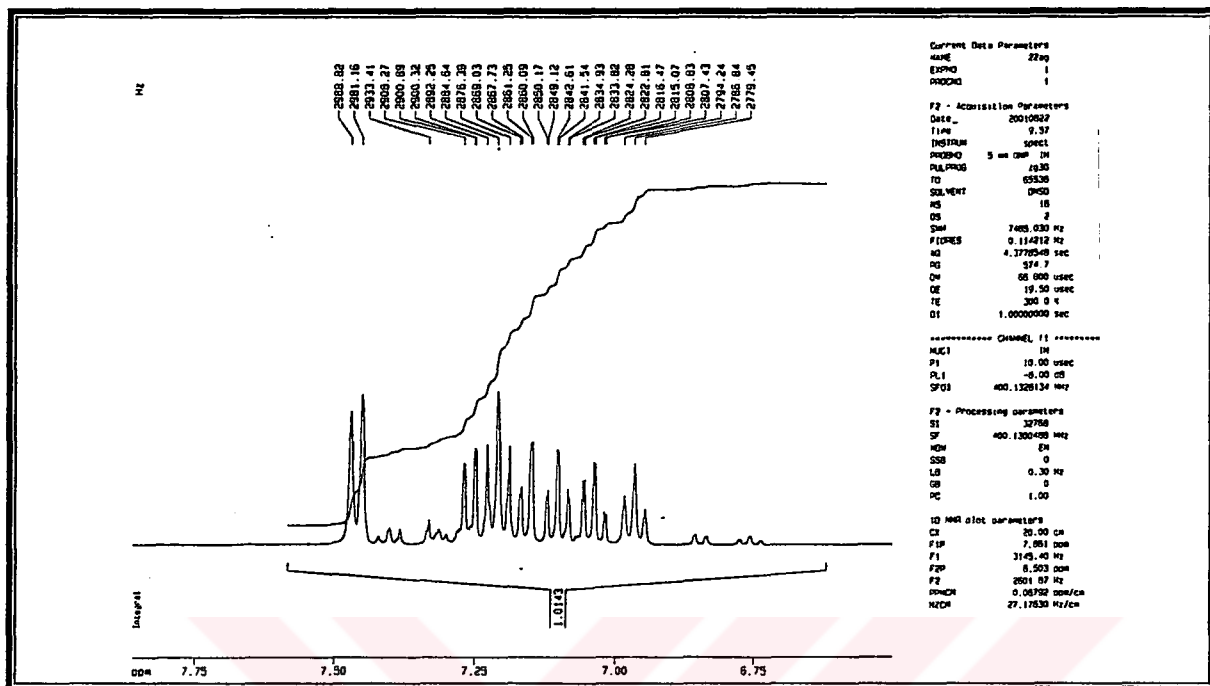
M/Z 269 [M+1]⁺



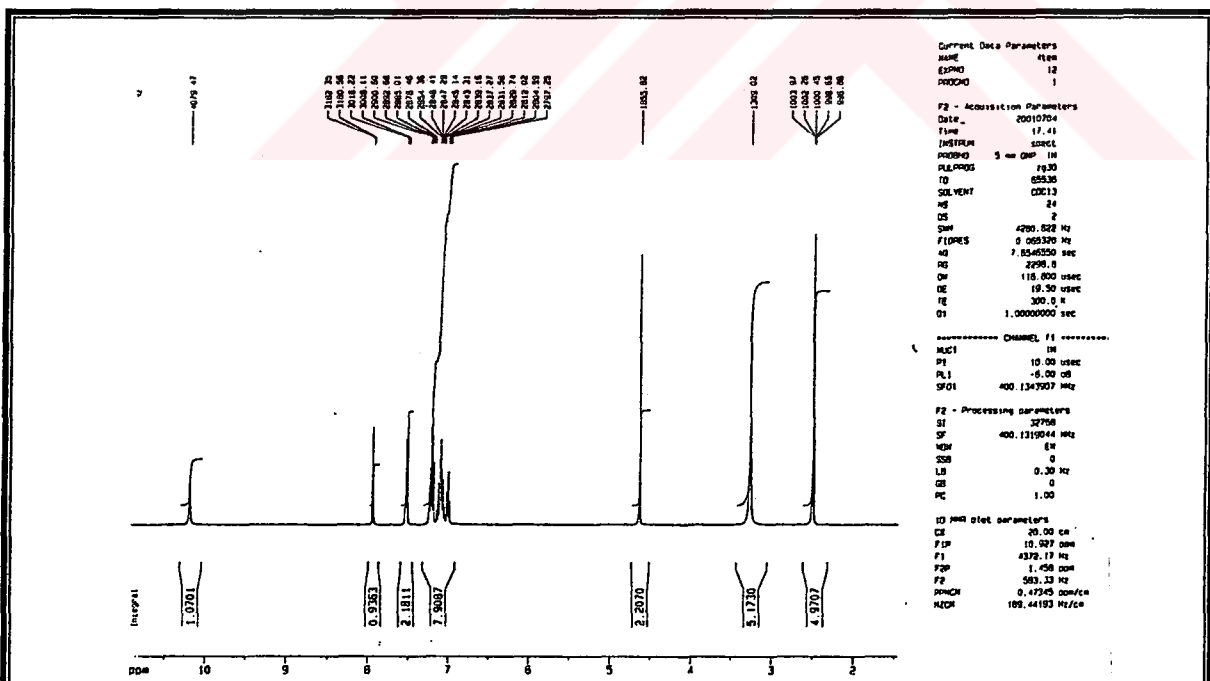
Spektrum No 7. T1 Bileşığının IR Spektrumu



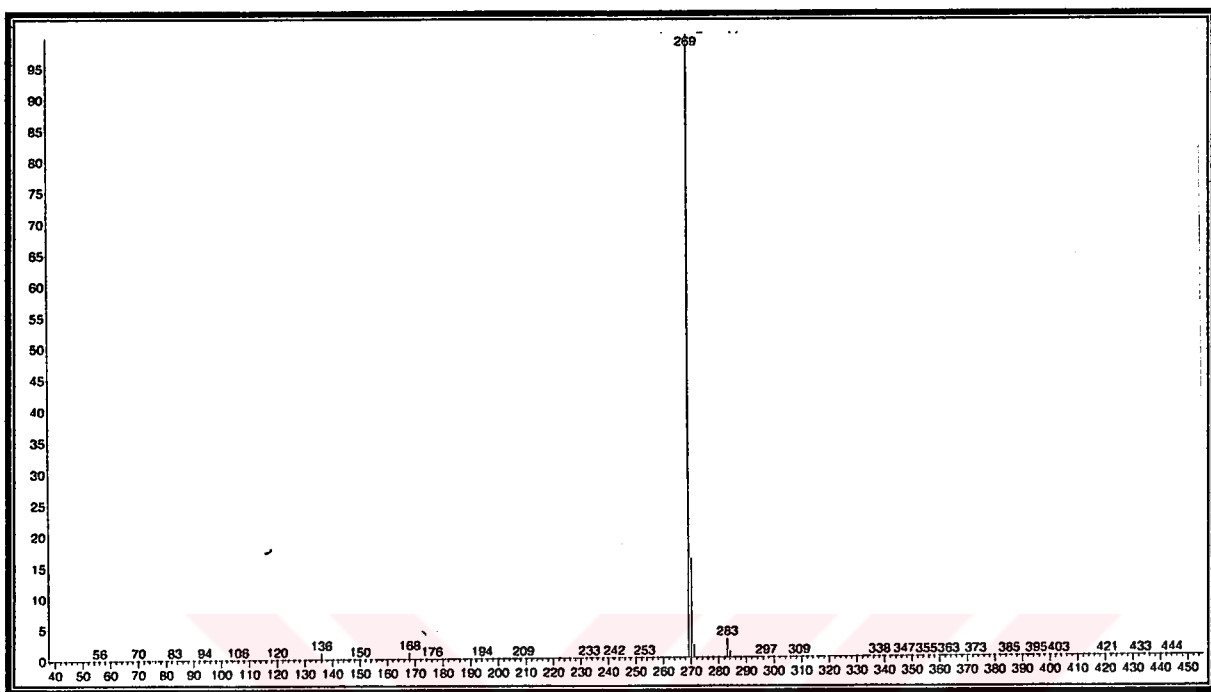
Spektrum No 8. T1 Bileşığının ¹H NMR Spektrumu



Spektrum No 9. T1 Bileşığının ^1H NMR Spektrumu (genişletilmiş)

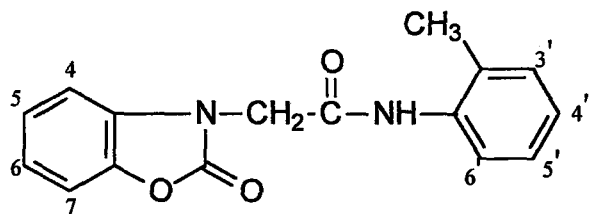


Spektrum No 10. T1 Bileşığının $\text{CDCl}_3\text{-DMSO-d}_6$ karışımında alınan ^1H NMR Spektrumu



Spektrum No 11. T1 Bileşinin CIMS Spektrumu

T2 Bileşinin Spektral Bulguları



UV (MeOH)

λ_{maks} ($\log \epsilon$) 252 (4.25), 295 (3.84) nm.

IR (Spektrum No 12)

KBr

ν_{maks} 3261 (N-H gerilme), 1763 (C=O gerilme), 1666 (C=O gerilme, Amit I Bandı),

1540 (N-H eğilme)

$^1\text{H NMR}$ (Spektrum No 13-16)

DMSO-d₆

δ 2.09 [3H (minör), s, CH₃]

2.11 [3H (majör), s, CH₃]

4.35 [1H (minör), d, $J = 17.3$ Hz, HCH]

4.44 [1H (minör), d, $J = 17.3$ Hz, HCH]

4.64 [2H (majör), *s*, CH₂]

6.75 [1H (minör), *td*]

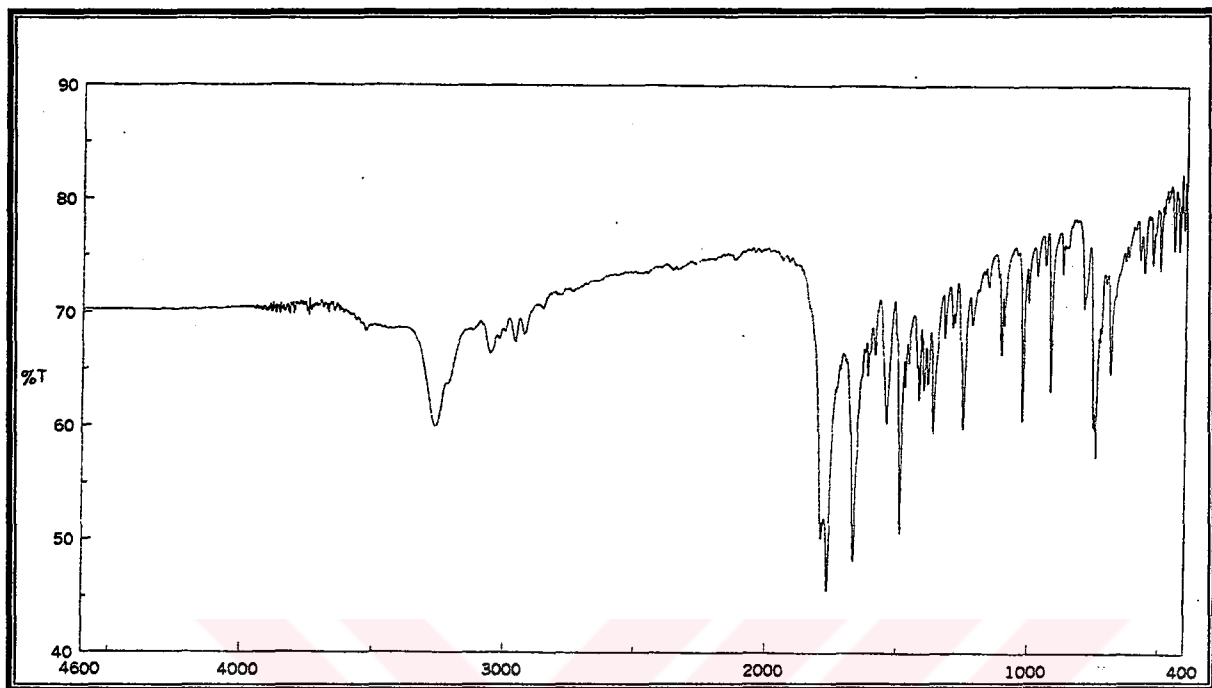
6.83 [1H (minör), *dd*]

6.98-7.28 [8H (majör), Ar-H + 6H minör]

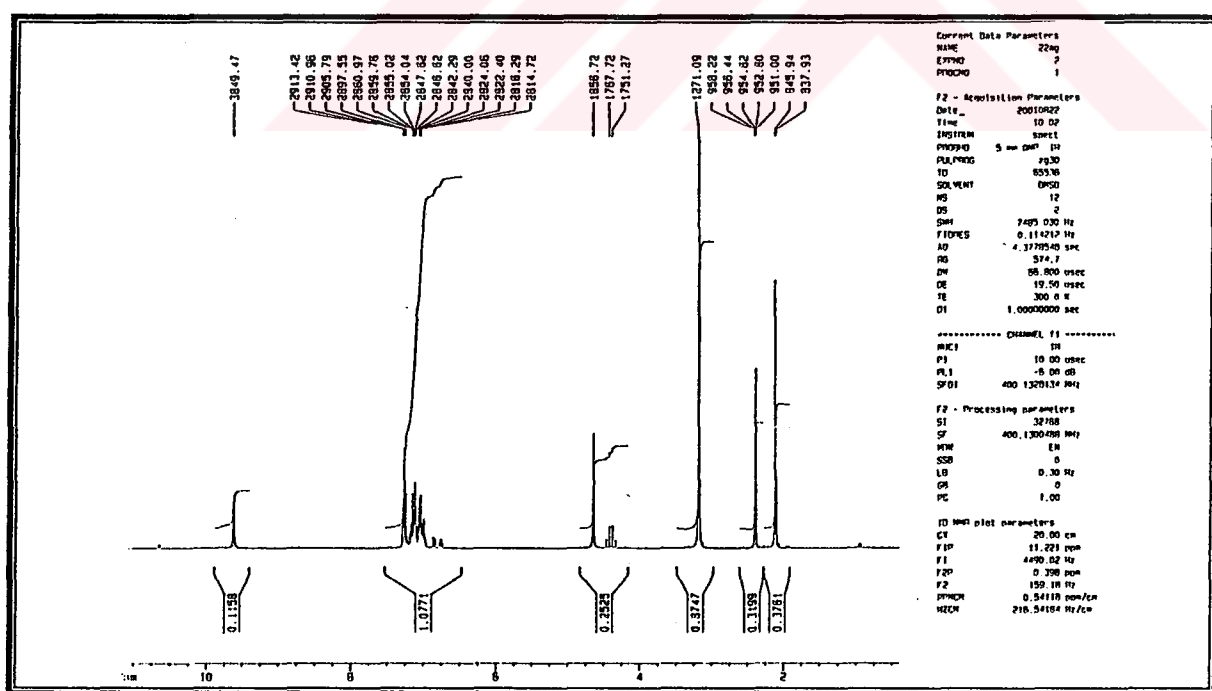
9.62 [1H, (majör), *brs*, N-H]

CI MS (Spektrum No 17)

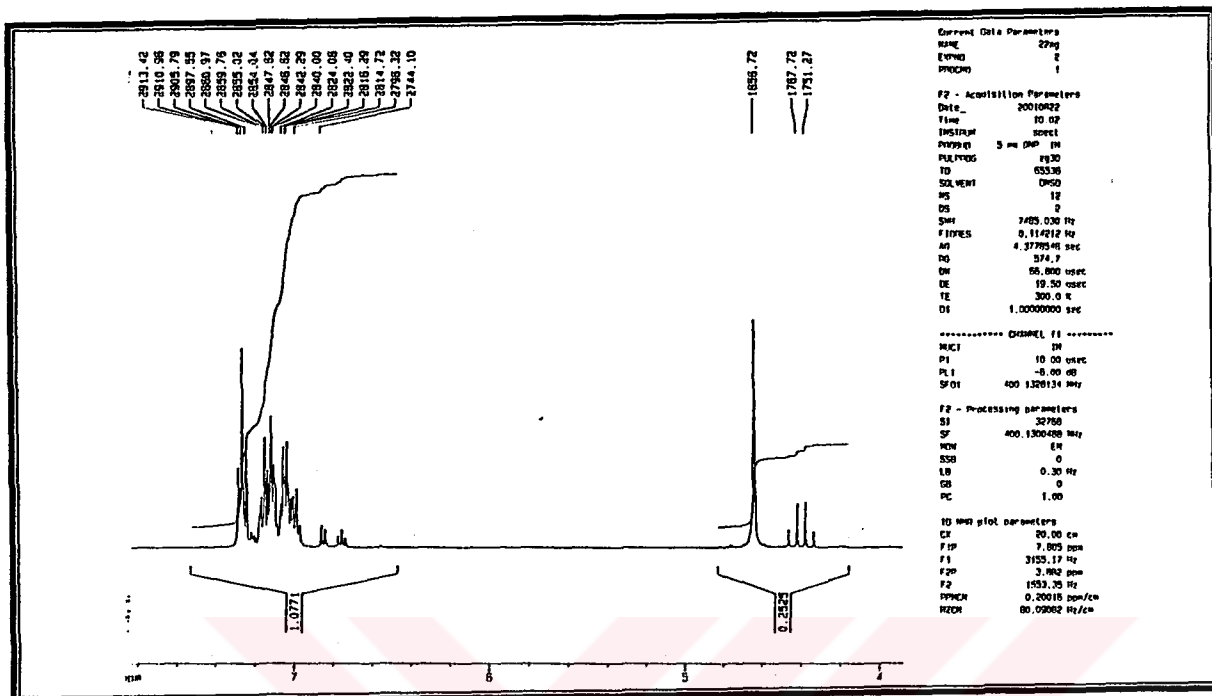
M/Z 283 [M+1]⁺



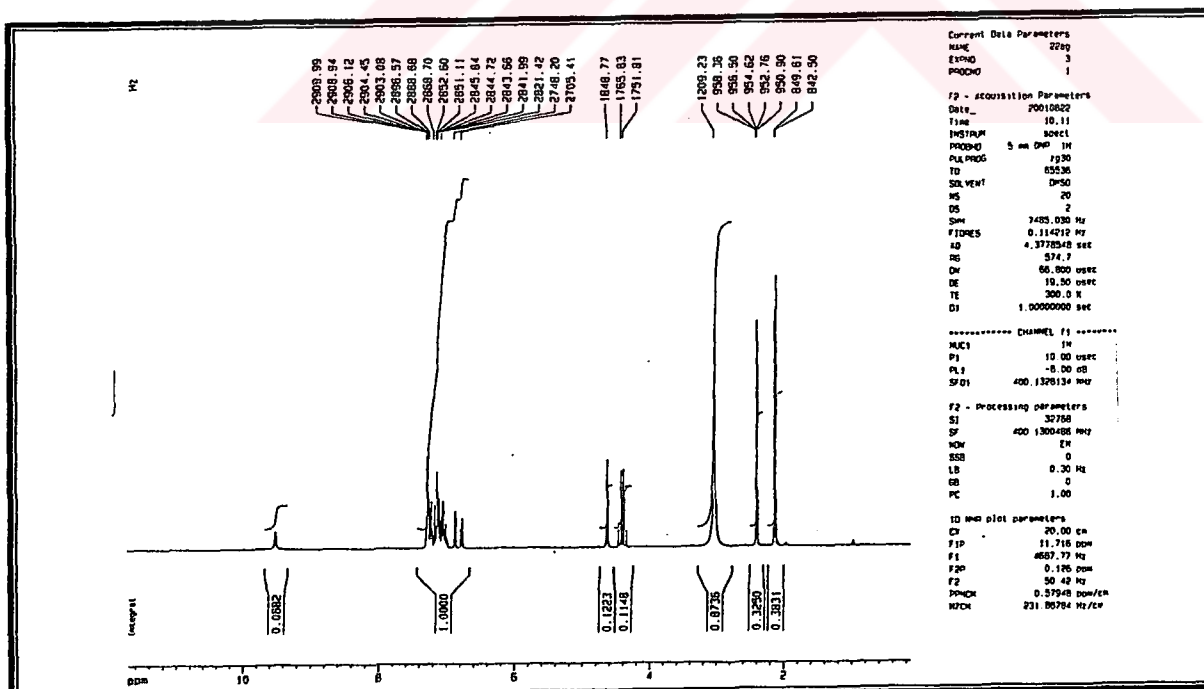
Spektrum No 12. T2 Bileşininin IR Spektrumu



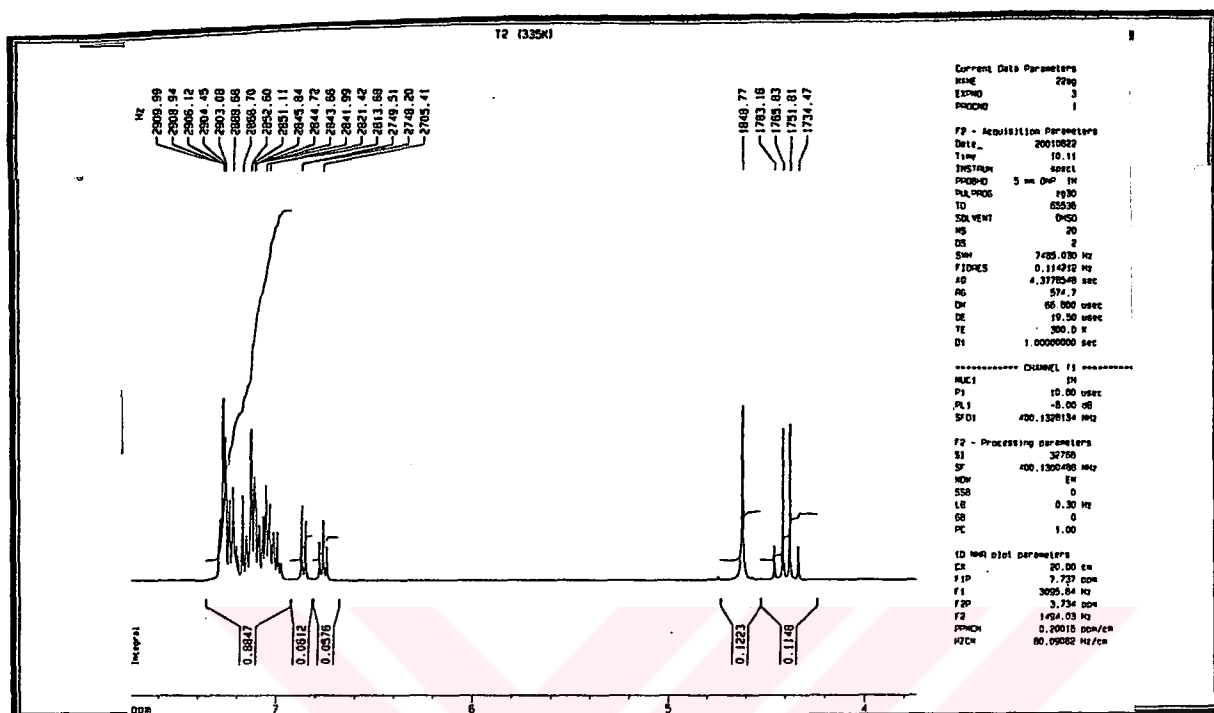
Spektrum No 13. T2 Bileşininin ¹H NMR Spektrumu



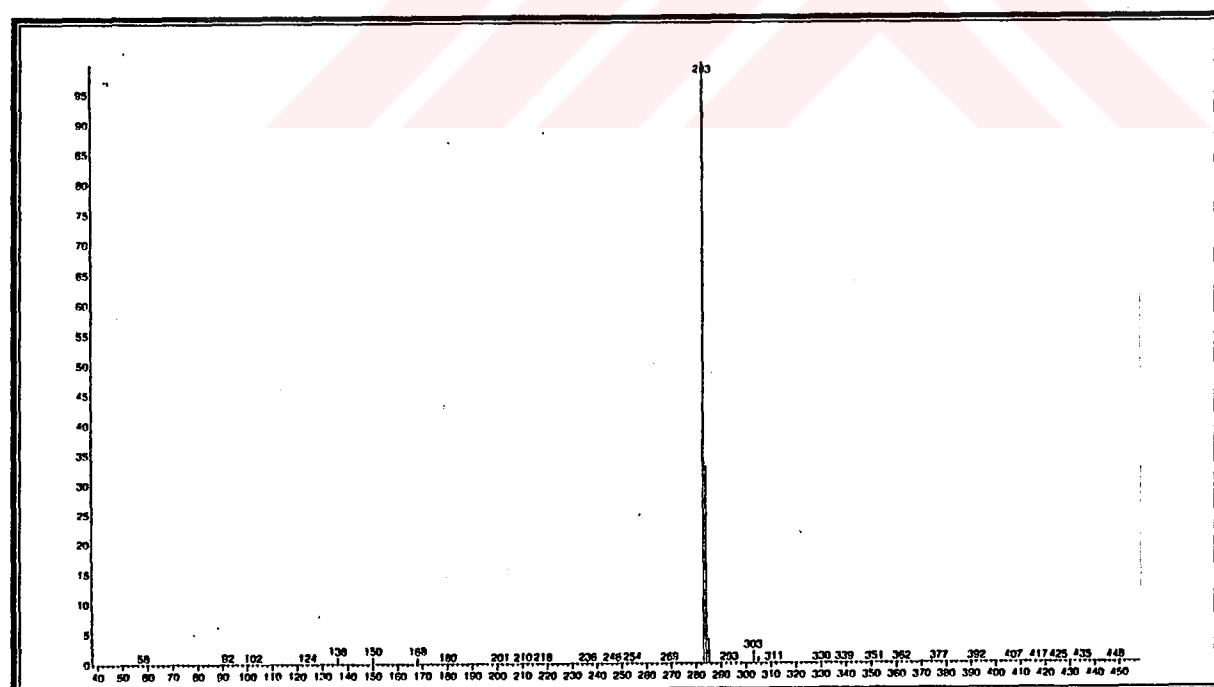
Spektrum No 14. T2 Bileşığının ^1H NMR Spektrumu (genişletilmiş)



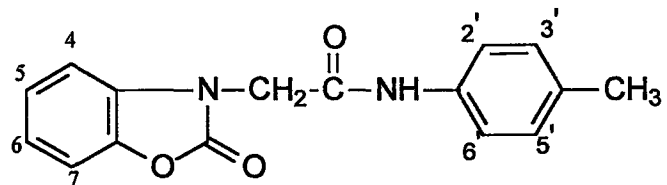
Spektrum No 15. T₂ Bileşığının 335 K'da alınan ¹H NMR Spektrumu



**Spektrum No 16. T2 Bileşığının 335 K'da alınan ^1H NMR Spektrumu
(genişletilmiş)**



Spektrum No 17. T2 Bileşığının CIMS Spektrumu

T3 Bileşinin Spektral Bulguları**UV (MeOH)**

λ_{maks} ($\log \varepsilon$) 255 (4.23), 263 (4.22), 293 (sh) (3.87) nm.

IR (Spektrum No 18)**KBr**

ν_{maks} 3323 (N-H gerilme), 1773 (C=O gerilme), 1679 (C=O gerilme, Amit I Bandı), 1548 (N-H eğilme)

¹H NMR (Spektrum No 19,20)**DMSO-d₆**

δ 2.24 [3H (majör), s, CH₃]

2.37 [3H (minör), s, CH₃]

4.56 [2H (minör), s, CH₂]

4.68 [2H (majör), s, CH₂]

6.83 [(minör), *td*]

6.86 [(minör), *dd*]

7.11 [2H (majör), *d*, $J= 8.2$ Hz, H-3' ve H-5']

7.14 [1H (majör), *td*, $J= 1.5, 7.8$ Hz, H-6*]

7.20 [1H (majör), *td*, $J= 1.2, 7.6$ Hz, H-5*]

7.27 [1H (majör), *dd*, $J= 1.2, 7.8$ Hz, H-7**]

7.36 [1H (majör), *dd*, $J= 0.6, 7.8$ Hz, H-4**]

7.44 [2H (majör), *d*, $J= 8.4$ Hz, H-2' ve H-6']

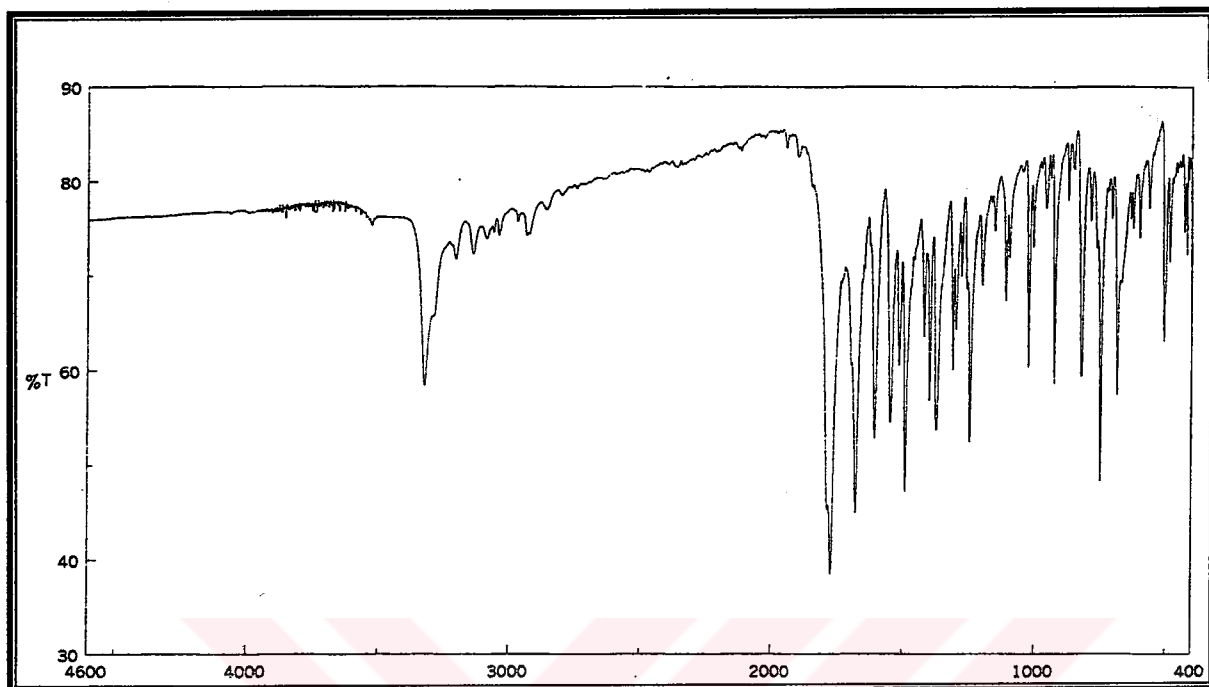
10.26 [1H (majör), *brs*, N-H]

* iki protonun yeri değişebilir

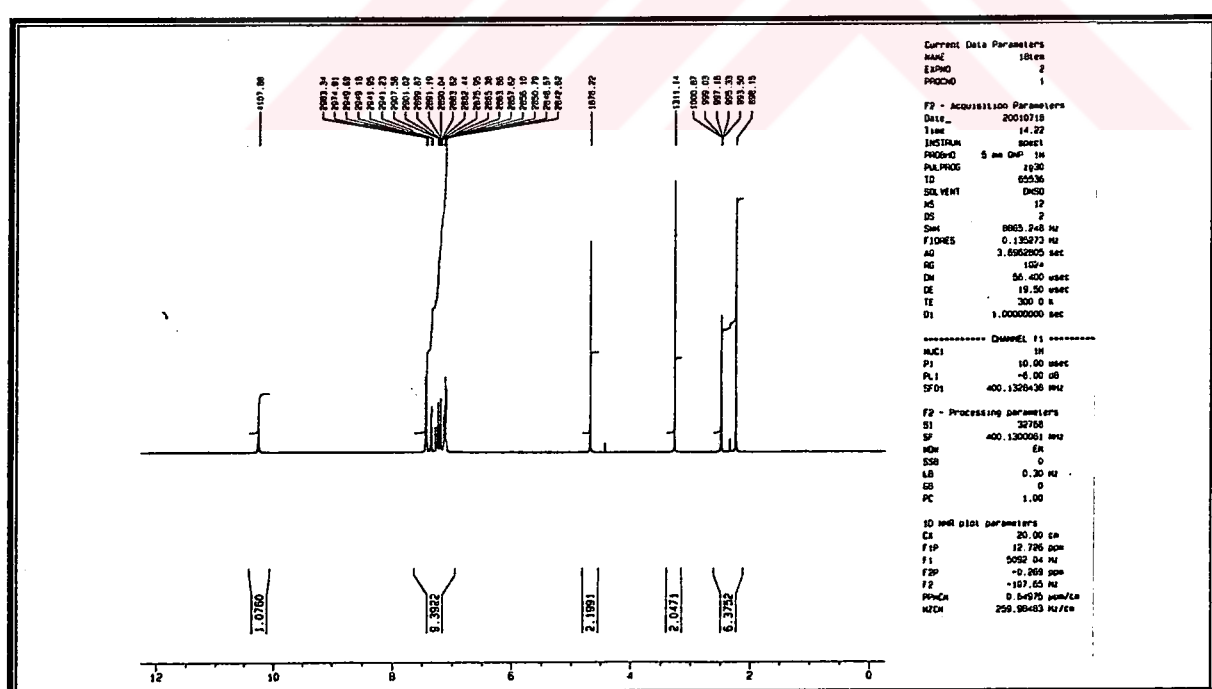
** iki protonun yeri değişebilir

CI MS (Spektrum No 21)

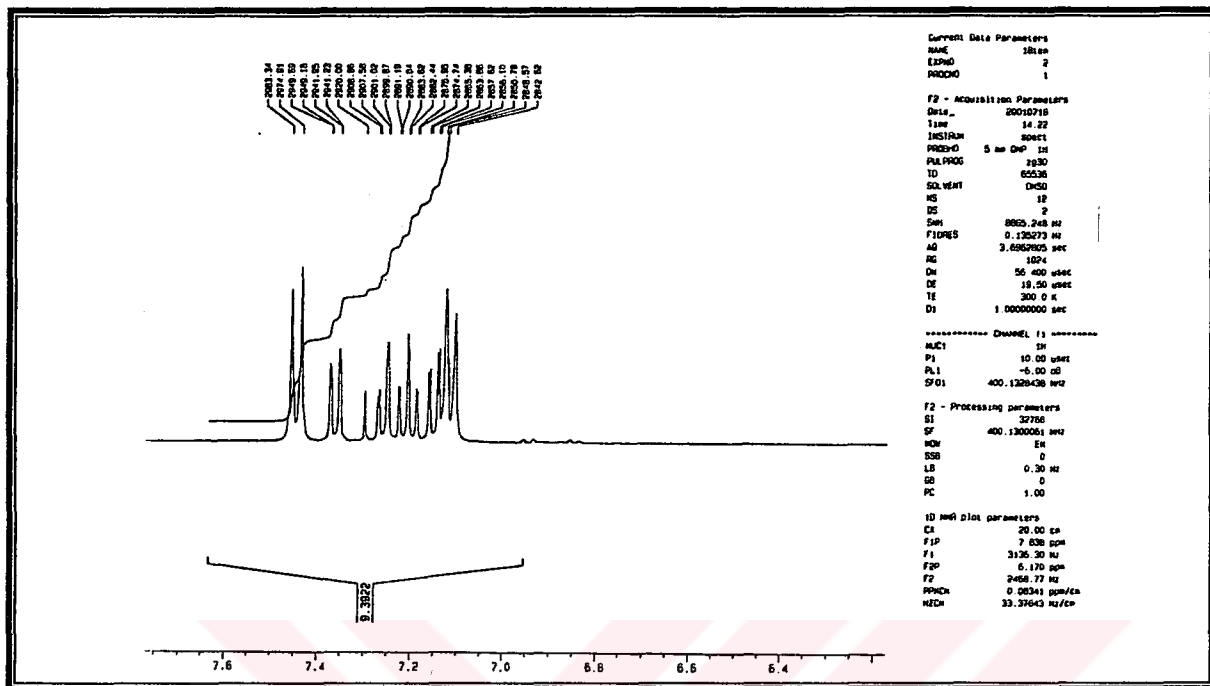
M/Z 283 [M+1]⁺



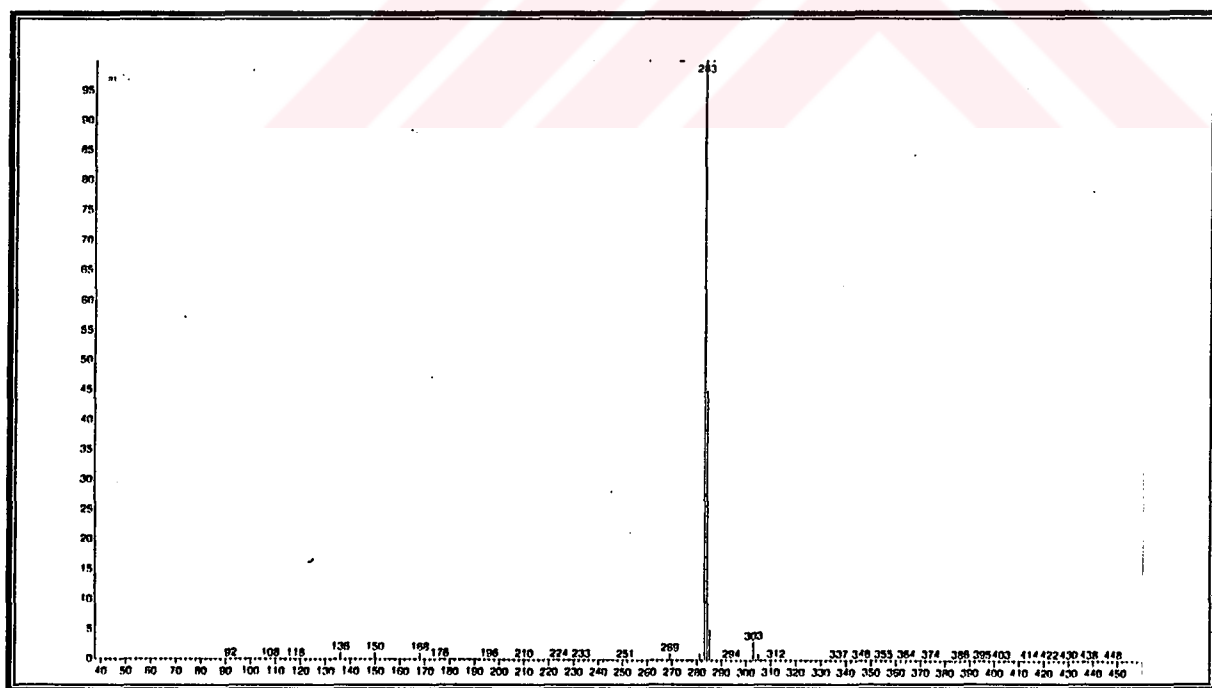
Spektrum No 18. T3 Bileşığının IR Spektrumu



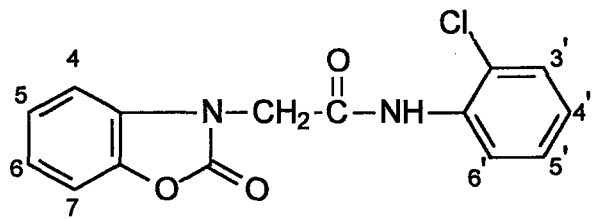
Spektrum No 19. T3 Bileşığının ¹H NMR Spektrumu



Spektrum No 20. T3 Bileşininin ^1H NMR Spektrumu (genişletilmiş)



Spektrum No 21. T3 Bileşininin CIMS Spektrumu

T5 Bileşığının Spektral Bulguları**UV (MeOH)**

λ_{maks} ($\log \epsilon$) 252 (4.13), 295 (3.67) nm.

IR (Spektrum No 22)

KBr

ν_{maks} 3258-3216 (N-H gerilme), 1783 –1762 (C=O gerilme), 1673 (C=O gerilme, Amit I Bandı), 1544 (N-H eğilme)

 $^1\text{H NMR}$ (Spektrum No 23-26)

DMSO- d_6

- δ 4.39 [1H (minör), *d*, $J= 17.6$ Hz, HCH]
- 4.52 [1H (minör), *d*, $J= 17.6$ Hz, HCH]
- 4.70 [2H (majör), *s*, CH₂]
- 6.84 [1H (minör), *td*, $J= 1.3, 7.6$ Hz]
- 6.86 [1H (minör), *dd*, $J= 1.2, 8.2$ Hz]

7.01-7.27 [4H (majör); 4H (minör), *m*, Ar-H]

7.39-7.45 [3H (majör); 1H (minör), *m*, Ar-H]

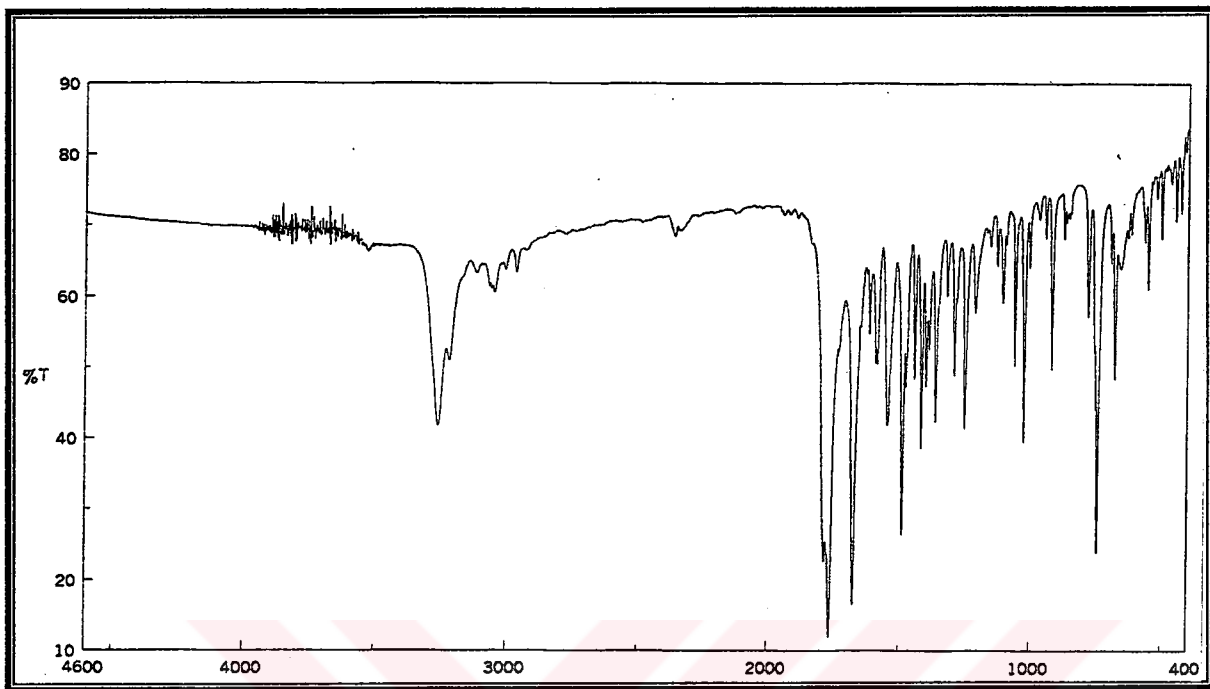
7.56-7.58 [1H (minör); *m*, Ar-H]

7.60 [1H (majör), dd, $J = 1.5, 8.1$, Ar-H]

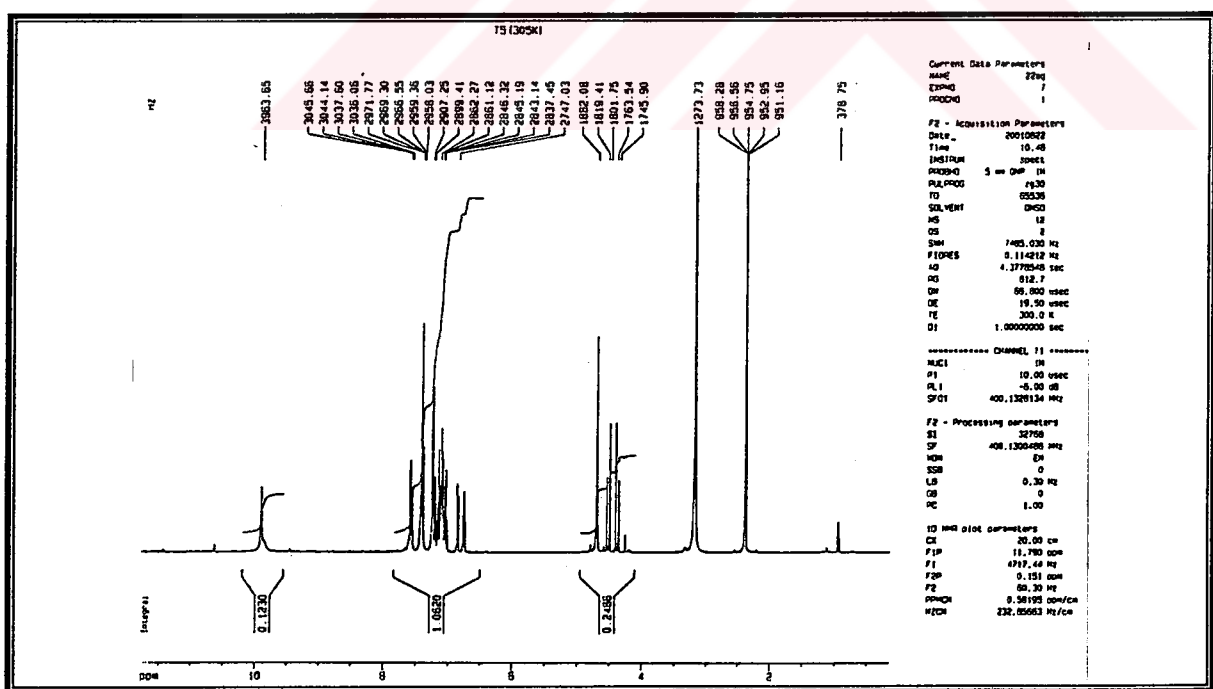
10.20 [1H (majör), *brs*, N-H]

CI MS (Spektrum No 27)

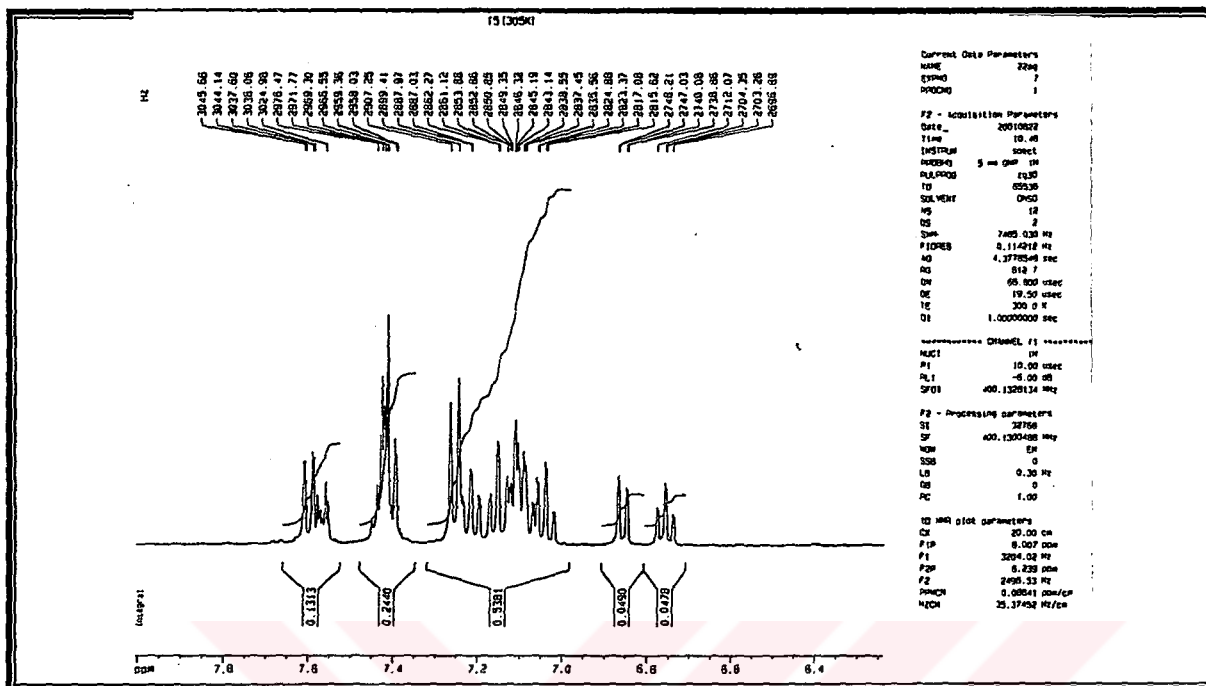
M/Z 303 [M+1]⁺



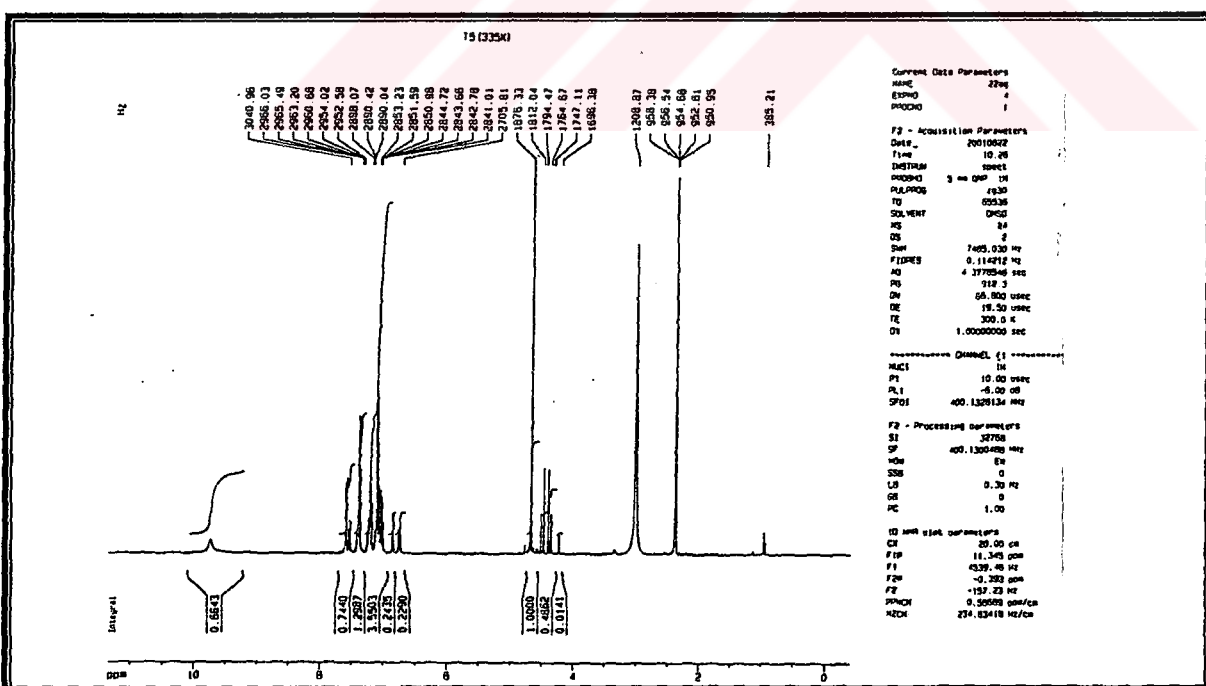
Spektrum No 22. T5 Bileşininin IR Spektrumu



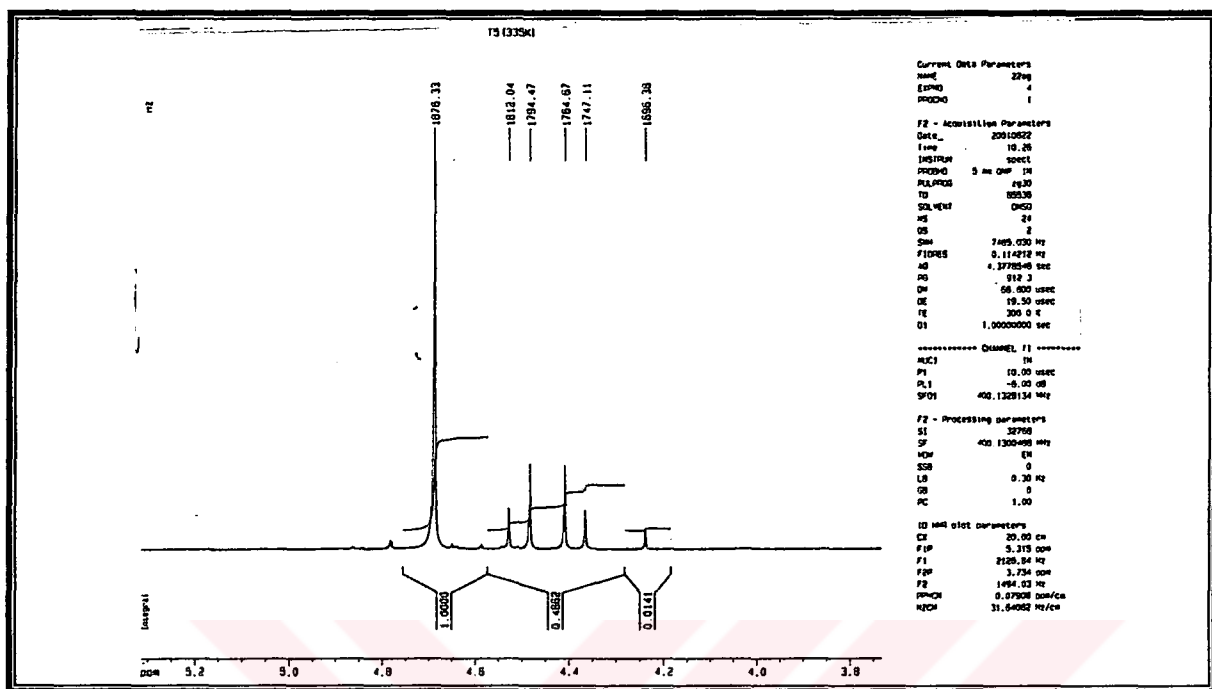
Spektrum No 23. T5 Bileşininin ¹H NMR Spektrumu



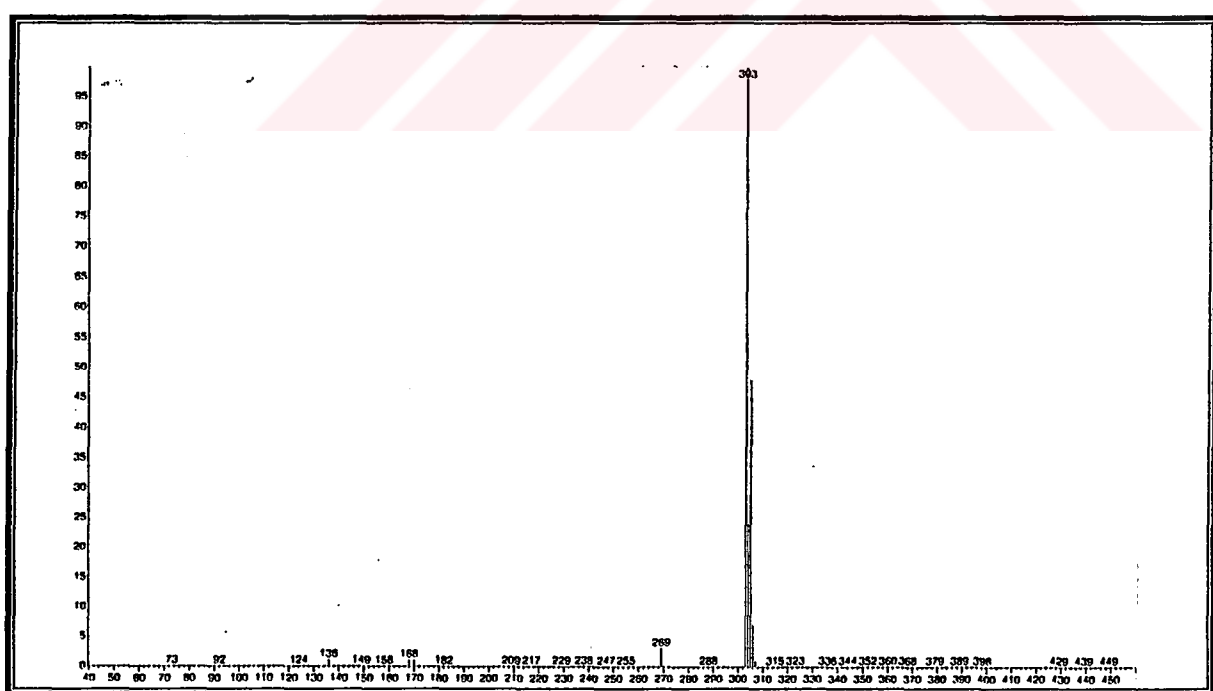
Spektrum No 24. T5 Bileşininin ¹H NMR Spektrumu (genişletilmiş)



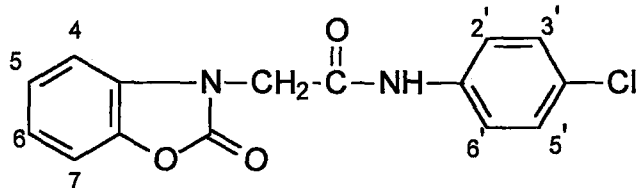
Spektrum No 25. T5 Bileşininin 335 K'da alınan ¹H NMR Spektrumu



**Spektrum No 26. T5 Bileşığının 335 K'da alınan 1H NMR Spektrumu
(genişletilmiş)**



Spektrum No 27. T5 Bileşığının CIMS Spektrumu

T6 Bileşığının Spektral Bulguları**UV (MeOH)** λ_{maks} ($\log \varepsilon$) 232 (4.14), 246 (4.23), 280 (3.66) nm.**IR (Spektrum No 28)****KBr**

ν_{maks} 3329 (N-H gerilme), 1780 (C=O gerilme), 1684 (C=O gerilme, Amit I Bandı),
1540 (N-H eğilme)

 $^1\text{H NMR}$ (Spektrum No 29-32)**DMSO-d₆**

- | | |
|----------|--|
| δ | 4.34 [2H (minör), s, CH ₂] |
| | 4.71 [2H (majör), s, CH ₂] |
| | 6.75 [1H (minör), <i>td</i>] |
| | 6.82 [1H (minör), <i>dd</i> , <i>J</i> = 1.2, 8.2 Hz] |
| | 7.04 [1H (majör), <i>td</i> , <i>J</i> = 1.4, 7.7 Hz, H-6*] |
| | 7.10 [1H (majör), <i>td</i> , <i>J</i> = 1.1, 7.7 Hz, H-5*] |
| | 7.16 [1H (majör), <i>dd</i> , <i>J</i> = 1.1, 7.7 Hz, H-7**] |

7.25-7.28 [1H (majör), *m*, H-4**]

7.37 [2H (minör), *d*, *J*= 8.8 Hz]

7.26 [2H (majör), *d*, *J*= 8.9 Hz, H-3' ve H-5']

7.49 [2H (majör), *d*, *J*= 8.9 Hz, H-2' ve H-6']

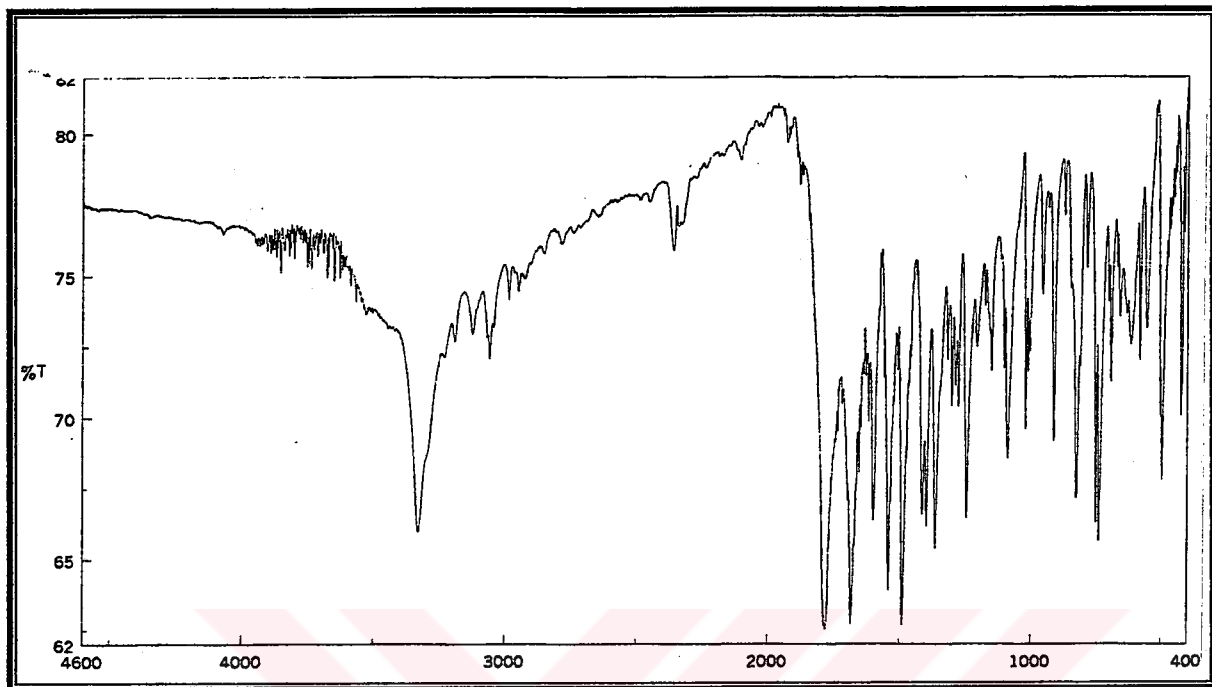
10.50 [1H (majör), *brs*, N-H]

* iki protonun yeri değişebilir

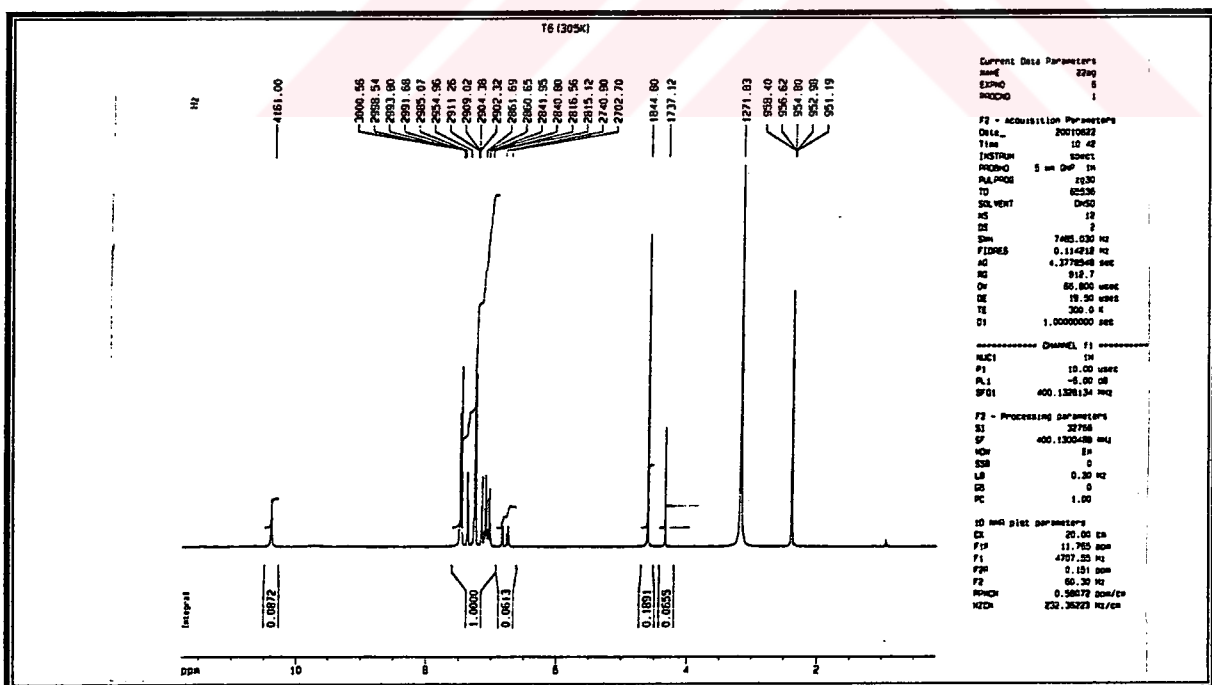
** iki protonun yeri değişebilir

CI MS (Spektrum No 33)

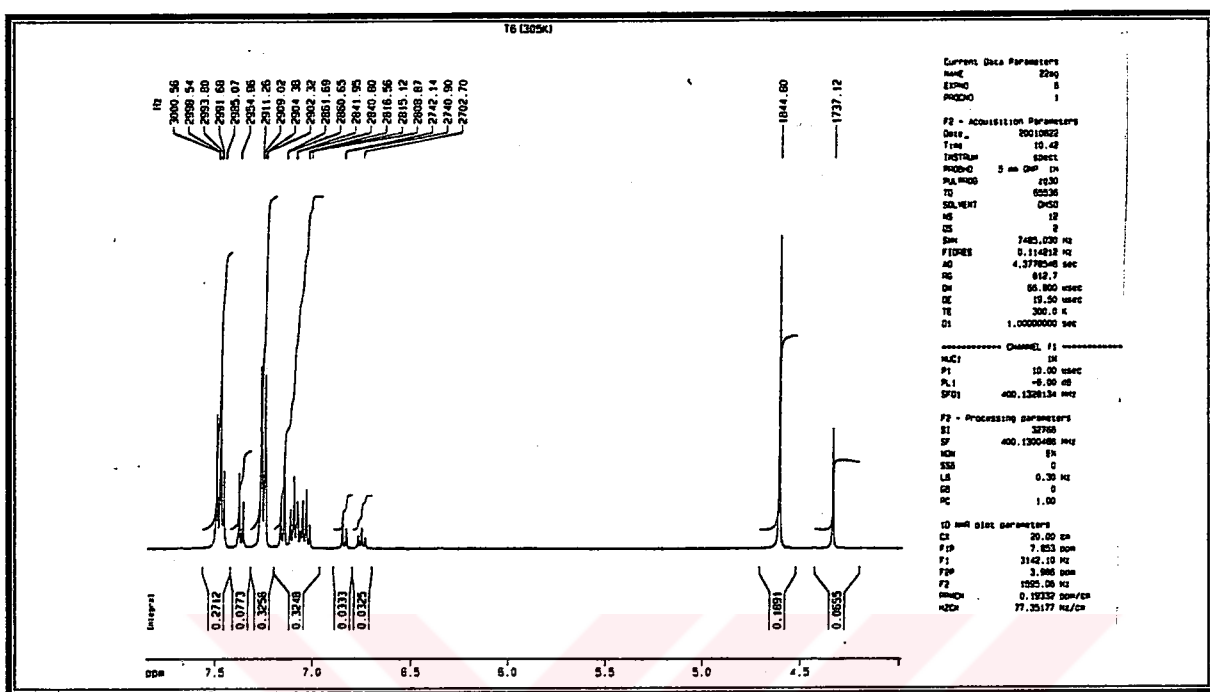
M/Z 303 [M+1]⁺



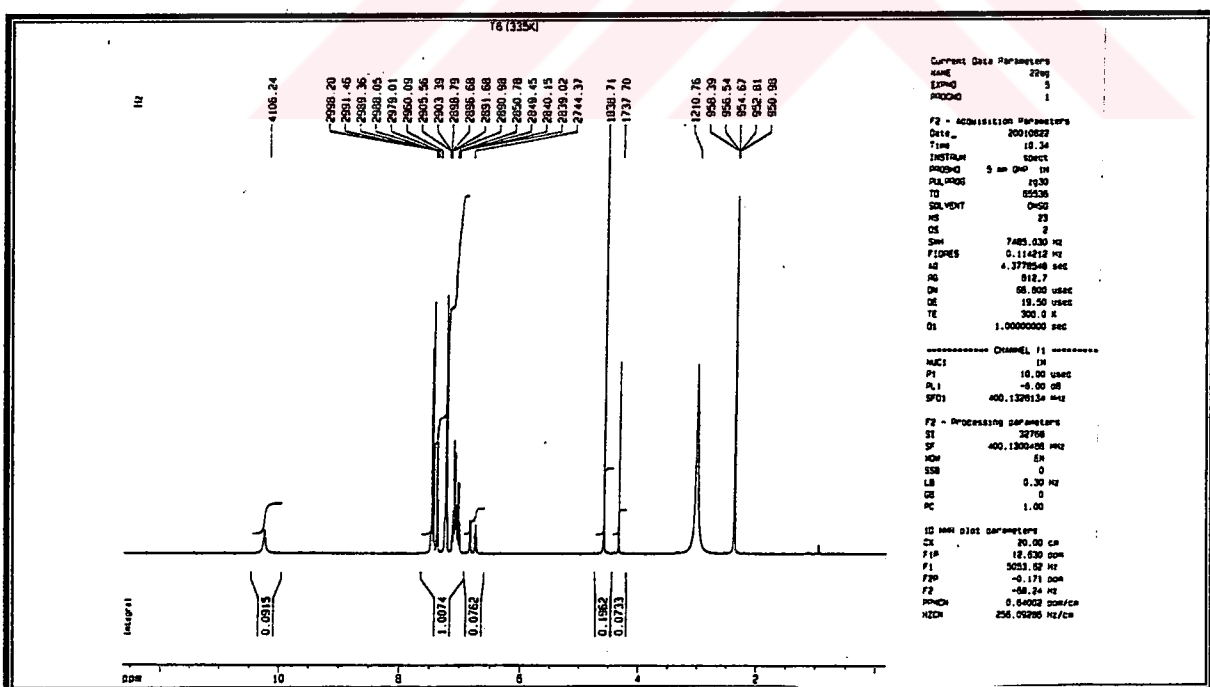
Spektrum No 28. T6 Bileşığının IR Spektrumu



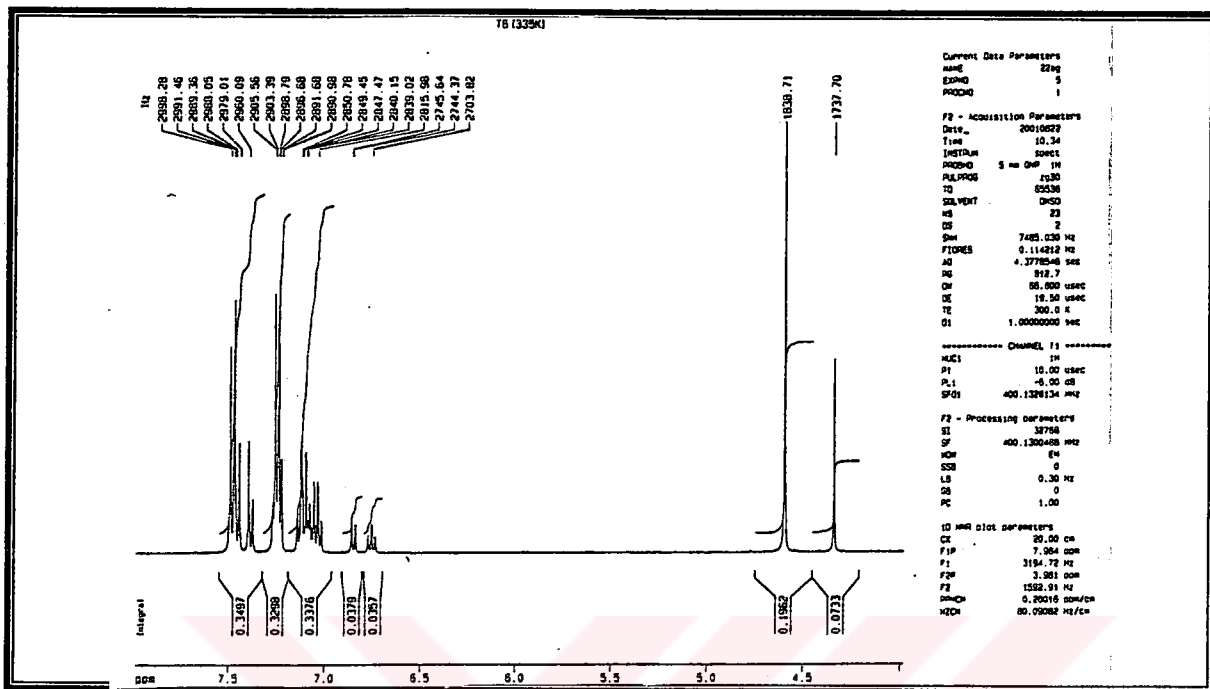
Spektrum No 29. T6 Bileşinin ^1H NMR Spektrumu



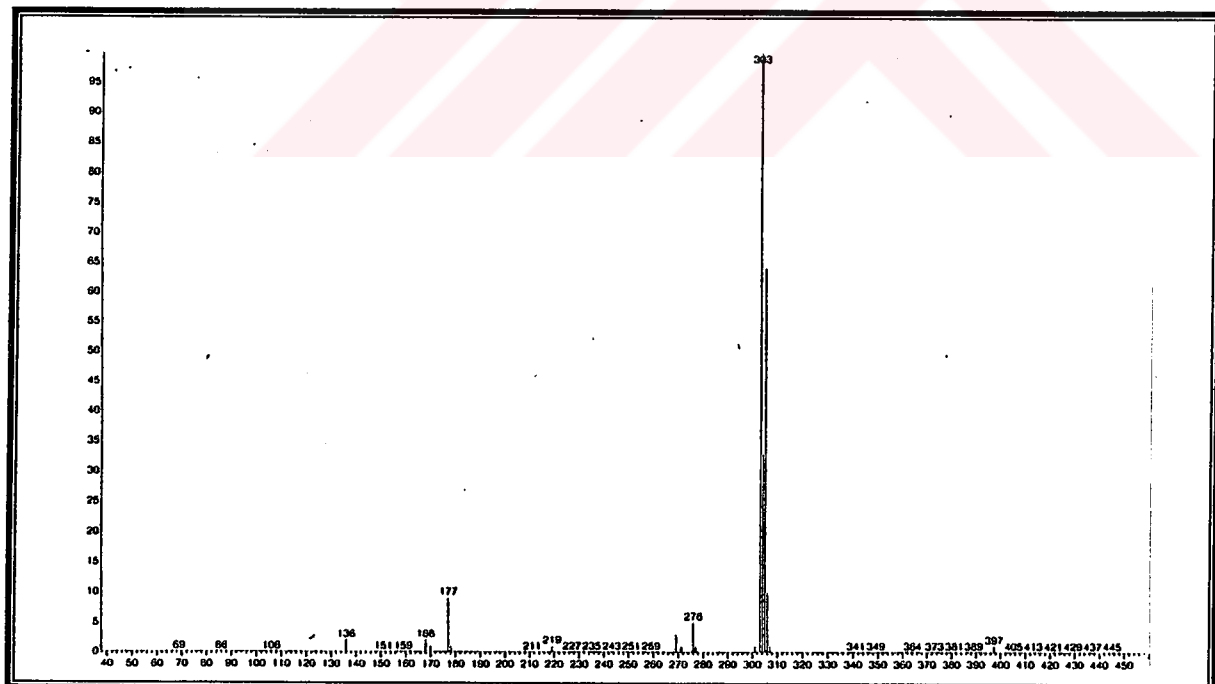
Spektrum No 30. T6 Bileşinin ^1H NMR Spektrumu (genişletilmiş)



Spektrum No 31. T6 Bileşinin 335 K'da alınan ^1H NMR Spektrumu



Spektrum No 32. T6 Bileşinin 335 K'da alınan ^1H NMR Spektrumu (genişletilmiş)



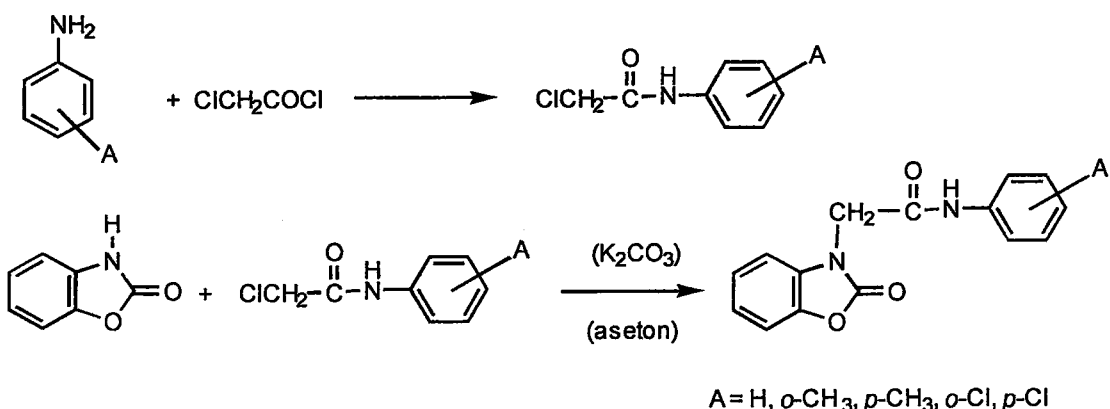
Spektrum No 33. T6 Bileşığının CIMS Spektrumu

TARTIŞMA

Çalışmamızda, potansiyel antikonvülzan olarak tasarlanan 2-okso-N-fenilbenzoksazolin-3-asetamit genel yapısında anilit türevi 5 bileşiğin sentezi gerçekleştirilmiştir. Antikonvülzan aktivite taşıdığı bilinen anilit türevlerinde, aromatik halkanın taşıdığı sübstüentlerin yerinin ve cinsinin antikonvülzan aktivitenin derecesini tayin eden en önemli yapısal faktörlerden biri olduğu bilinmektedir (2,3,19). Sentezini gerçekleştirdiğimiz bileşiklerin tasarımlı aşamasında bu yapısal gereksinim özellikle dikkate alınmış ve N-fenil halkası üzerinde sübstüent taşımayan 2-okso-N-fenilbenzoksazolin-3-asetamit bileşiği ile birlikte, N-fenil halkasının *orta* veya *para* konumlarında farklı elektronik ve lipofilik karakter gösteren metil veya kloro sübstüentlerini taşıyan bileşikler de sentezlenmiştir. Metil sübstüenti, hiperkonjugatif ve indüktif etki ile elektron verici olarak davranışırken, sübstüent olarak klor da rezonans etkiyle elektron verici olmasına karşın indüktif ve alan etkiyle elektron çekici özellik göstermektedir (17).

Çalışmamızda tasarlanan anilit türevi bileşiklerin sentezi iki basamakta gerçekleştirılmıştır. İlk basamakta, anilin ya da uygun anilin türeviyle 2-kloroasetil klorür'ün tepkimesinden 2-kloro-N-fenilasetamit türevleri hazırlanmıştır. Bir sonraki

basamakta da bu ara ürünler, 2(*3H*)-benzoksazolon ile aseton içinde potasyum karbonat varlığında kaynatılarak hedef bileşikler elde edilmiştir (Şema 3).



Sema 3

Sentez çalışmalarımızda kullandığımız 2(*3H*)-benzoksazolon, literatürde bildirilen yönteme göre o-aminofenol ile ürenin tepkimesinden hazırlanmıştır (5). Çalışmamızda ara ürün olarak hazırlanan 2-kloro-N-fenilasetamit türevleri, literatürde bilinen ve anabilim dalımızda da sentezleri daha önceki gerçekleştirilmiş bileşiklerdir. Bu nedenle bu bileşiklerin yapı teyidi, eldeki olanaklar ölçüsünde UV ve IR spektral verileri ile erime derecelerinin karşılaştırılması ile gerçekleştirılmıştır. Benzer şekilde, çalışmamızda hazırlanan 2(*3H*)-benzoksazolon'un da yapı teyidi aynı şekilde gerçekleştirılmıştır. Sonuç ürünlerimizin yapı teyitlerinde ise, UV, IR, ^1H NMR ve CIMS spektral verilerinden faydalanylmıştır. Sonuç ürünlerimizden T1, Çalış ve arkadaşları tarafından daha önce sentez edilmiştir (6). Bu bileşik dışında kalan T2, T3, T5 ve T6 bileşikleri ilk defa bu çalışmada hazırlanmıştır.

Gerek ara ürünlerimizin gerekse sonuç bileşiklerimizin spektral verileri ayrı ayrı tartışılacaktır.

I. 2-Kloro-N-fenilasetamit Türevlerinin Spektral Bulgularının Tartışılması

Ara ürünlerimiz olan 2-kloro-N-fenilasetamit türevlerinin hepsinde oksokromik sübstansiyona sahip benzen kromoforu ile, izole karbonil kromoforu bulunmaktadır. Benzen kromoforunun karakteristik absorbsiyonu, B ve E bantlarından oluşmaktadır. Her iki absorbsyon bandı da $\pi-\pi^*$ geçişlerinden kaynaklanmaktadır. E bantlarının B bantlarından daha şiddetli olması beklenmektedir (15,34). Bileşiklerimizin UV spektrumları incelendiğinde, yukarıda yapılan değerlendirmeye uygun olarak her bir bileşigin 205-210 nm arasında E bandından, 234-250 nm arasında da B bandından kaynaklanan absorbsyon maksimumları verdiği görülmektedir. UV spektrumlarından elde edilen veriler, literatürde bu bileşikler için rapor edilen değerlerle tamamen uyum içerisindeidir (1,28).

2-kloro-N-fenilasetamit türevlerinin IR spektrumlarından elde edilecek en önemli bilgi, anilit yapısının teyidini sağlayacak N-H ve karbonil grubu gerilme bantlarıdır. Sekonder amitlerin katı örneklerde hidrojen gerilme bölgesi olarak bilinen 3000 cm^{-1} nin üzerinde 3330 ile 3060 cm^{-1} bölgesinde çoklu bantlar verdiği bilinmektedir (15,34). Benzer şekilde sekonder amitlerin karbonil grubundan kaynaklanan gerilme bandı da çift bağ gerilme bölgesinde 1640 cm^{-1} civarında izlenmektedir. Amit karbonilinin, azot atomunun ortaklanmamış elektron çiftiyle rezonans faaliyetini azaltan faktörler, bu bandın daha yüksek dalga sayılarına kaymasına yol açmaktadır (15,34). Ara ürünlerimizin IR spektrumlarında yukarıda yapılan değerlendirmeye tamamen uygun absorbsyon bantları izlenmiştir. Bileşiklerimizin N-H gerilme bantları, 3320 - 3100 cm^{-1} karbonil gerilme titreşimleri de 1665 - 1685 cm^{-1} değerlerinde saptanmıştır.

Ayrıca bileşiklerimizin erime dereceleri, literatürde bildirilen değerlerle aynı bulunmuştur (1,28).

II. 2(3H)-Benzoksazolinon'un Spektral Bulgularının Tartışılması

Üre ile o-aminofenol'ün kondensasyonuyla, literatürde bildirilen yönteme göre hazırlanan 2(3H)-benzoksazolon'un UV spektrumunda, beklentiği üzere oksokromik sübstansiyona sahip benzen kromoforunun E ve B bantları sırasıyla, 228 ve 273 nm değerlerinde saptanmıştır (7). Bileşliğimin IR spektrumu incelendiğinde, N-H gerilmesine ait absorbsiyon bandı 3218 cm^{-1} de, karbonil grubuna ait gerilme bandı ise dublet halinde 1774 ile 1731 cm^{-1} değerlerinde izlenmiştir. Bu değerler, 2(3H)-benzoksazolon için literatürde verilen değerlerle uyum içerisindeidir (23). Ayrıca bileşliğimin erime derecesi, literatürde bildirilen erime derecesi değeri ile aynıdır (23).

III. 2-Oxo-N-fenilbenzoksazolin-3-asetamit Türevlerinin Spektral Bulgularının Tartışılması

Hedef bileşiklerimiz olan 2-oxo-N-fenilbenzoksazolin-3-asetamit türevlerinin yapı teyitleri, UV, IR, ^1H NMR ve CIMS spektral verileriyle gerçekleştirılmıştır. Her bir spektral yönteme ait bulgu ayrı ayrı tarşılacaktır.

A. 2-Oxo-N-fenilbenzoksazolin-3-asetamit Türevlerinin UV Bulgularının Değerlendirilmesi

Oksokromik sübstansiyona sahip iki benzen kromoforu taşıyan hedef bileşiklerimizin UV spektrumlarında iki absorbsiyon maksimumu gözlenmektedir.

250 ve 290 nm civarında gözlenen bu maksimumlardan, 250 nm civarında gözlenen maksimum daha şiddetli bir absorbsiyon bandı vermektedir. Sentezi gerçekleştirilen hedef bileşiklerden sadece T3, 263 nm de ilave bir maksimum göstermiştir.

B. 2-Oks-N-fenilbenzoksazolin-3-asetamit Türevlerinin IR Bulgularının Değerlendirilmesi

2(3H)-Benzoksazolon ile 2-kloro-N-fenilasetamit türevlerinin tepkimesi sonucu kazanılan hedef bileşiklerimizin elde edildiklerine dair en önemli kanıtlardan biri bileşiklerin IR spektrumlarından sağlanması beklenmelidir. Bilindiği gibi, IR spektrofotometri, karbonil grubunun saptanmasında ve bulunduğu işlevsel grubun cinsinin tayini hususunda da büyük öneme sahiptir. Karbonil grubunun temel titreşimi olan gerilme titreşimi, içinde bulunduğu işlevsel grubun karakterine bağlı olarak $1750 \pm 150 \text{ cm}^{-1}$ bölgesinde izlenir (15,34). Hedef bileşiklerimizin yapısında iki karbonil grubu bulunmaktadır. Bunlardan biri benzoksazolinon halkasının 2 konumunda bulunan karbonil grubu, diğer de anilit yapısında bulunan amit karbonilidir. Amit azotunun ortaklanmamış elektron çiftinin karbonil grubu ile rezonansa girmesi sebebiyle, karbonil grubunun karbonu ile oksijeni arasında bulunan çift bağın tek bağ karakteri artar. Bu nedenle, amit karbonilinin gerilme titreşimi, diğer işlevsel gruptara ait karbonillere göre daha düşük dalga sayılarında izlenir. Sekonder amit karbonili, katı örneklerde 1640 cm^{-1} civarında amit I bandı olarak bilinen karbonil gerilme titreşim bandı verir. Amit azotuya, karbonil arasındaki rezonans faaliyetini azaltan faktörler bu bandın daha yüksek dalga sayılarına kaymasına neden olur (34). Sekonder amit grubunu

karakterize eden diğer iki önemli bant da, N-H gerilme bandı ile N-H eğilme titreşimlerinden kaynaklanan ve $1570\text{-}1515\text{ cm}^{-1}$ bölgesinde izlenen Amit II bandıdır (15,34). Yukarıda yapılan değerlendirmeye uygun olarak, her bir bileşliğin IR spektrumunda karbonil gerilme titreşimlerinin izlendiği bölgede iki şiddetli absorbsiyon bandı izlenmiştir. Bu bantlardan daha yüksek dalga sayısına sahip olan bant, benzoksazolinon halkasının karbonil gerilme titreşimlerinden, daha düşük dalga sayısına sahip olan bant da amit I bandı olarak bilinen sekonder amit karbonilinin gerilme titreşiminden kaynaklanmaktadır. Ayrıca bileşiklerimizin IR spektrumlarında N-H gerilme ve amit II bandı olarak bilinen N-H eğilme titreşimleri beklenen değerlerde bantlar vermiştir.

Bileşiklerimizin IR spektrumlarından elde edilen bulgular, hedef bileşiklerimizde amit işlevsel grubunun bulunduğu göstermektedir.

C. 2-Okso-N-fenilbenzoksazolin-3-asetamit Türevlerinin CIMS Bulgularının Değerlendirilmesi

Hedef bileşiklerimizin kütle spektrumları kimyasal ionizasyon tekniğine göre alınmıştır. Kimyasal ionizasyon tekniği, özellikle bileşliğin molekül ağırlığının tayininde çok faydalı bir yöntemdir (15,34). Bileşiklerimizin CIMS spektrumlarında, quasi-moleküler iyon değerleri ($[M+1]^+$), hesaplanan ve beklenen molekül ağırlıklarıyla tam bir uyum içерisindedir.

D. 2-Okso-N-fenilbenzoksazolin-3-asetamit Türevlerinin ^1H NMR Bulgularının Değerlendirilmesi

Sonuç bileşiklerimizin ^1H NMR spektrumları incelendiğinde, her bir bileşiğe ait spektrumda değişen oranlarda beklenmeyen bazı sinyallerin bulunduğu görülmüştür. Yapılan detaylı spektrum incelemeleri ve bazı ilave ^1H NMR ölçümleri, bu beklenmeyen sinyallerin safsızlık olmadığını ve bileşiklerimizin farklı rotamerlerinden kaynaklanan bir yapısal özellik olduğu sonucuna varılmıştır. Her bir bileşiğin ^1H NMR spektral bulguları ayrı ayrı tartışılacaktır.

1. 2-Okso-N-fenilbenzoksazolin-3-asetamit Bileşiğinin (T1) ^1H NMR Bulgularının Değerlendirilmesi

Bileşliğiminin ^1H NMR spektrumunda, alifatik alanda metilen gubundan kaynaklanan iki proton değerinde bir singlet beklenmektedir. Aromatik sahada ise ABCD spin sistemine sahip benzoksazolinon halkasının 4 aromatik protonu ile AA'BB'C spin sistemine sahip *N*-fenil halkasının 5 aromatik protonu olmak üzere toplam 9 aromatik protonun sinyalinin izlenmesi gerekmektedir. Bileşliğiminin ^1H NMR spektrumu incelendiğinde, yukarıda yapılan değerlendirmeye uygun olarak, alifatik sahada metilen sinyalinin δ 4.60 da singlet olarak izlendiği, aromatik sahada ise benzoksazolon halkasının 4 komşu aromatik protonunun sırasıyla δ 7.04 ve δ 7.10 da birer protonluk iki triplet-dublet, δ 7.15 ve δ 7.25 de de birer protonluk iki dublet-dublet verdiği, *N*-fenil halkasının protonlarının ise AA'BB'C spin sistemine uygun olarak δ 6.96 da bir protonluk 1 triplet, δ 7.20 de iki protonluk 1 triplet, δ 7.46 de ise 2 proton değerinde dublet verdiği görülmektedir. Amit protonu geniş singlet olarak δ 10.25 de sinyal vermiştir. Bileşliğiminin ^1H NMR

spektrumunun gerek alifatik gerekse aromatik sahası dikkatli bir şekilde tekrar incelendiğinde, beklenmeyen bazı sinyallerin de spektrumda bulunduğu saptanmıştır. Bu sinyaller sırasıyla, alifatik alanda δ 4.35 de bir singlet, δ 6.78 de bir triplet-dublet, δ 6.81 de bir dublet-dublet, δ 7.34 de pek belirgin olmamakla birlikte bir triplet-dublet, δ 7.38 de de bir dublet olarak sayılabilir. Sözü edilen sinyallerin integrasyon değerleri, aromatik sahadada izlenen sinyallerin, alifatik sahadaki sinyalin yarısı kadar bir integrasyon değerine sahip olduğunu göstermektedir. Bu bulgular, spektrumda majör ve minör iki bileşigin bulunduğu ve sinyallerin integrasyon değerlerine göre minör/majör oranının yaklaşık 1/8 olduğunu göstermektedir. Bileşigimizin DMSO-d₆ ve CDCl₃ karışımında alınan diğer bir spektrumunda ise (Spektrum No 10), bu minör bileşige ait sinyaller izlenmemektedir. Bu bulgu, bileşigimizin bir safsızlık taşımadığını, buna karşılık izlenen minör sinyallerin farklı bir rotamerden kaynaklandığını düşündürmüştür. Bu düşünmeye göre DMSO-d₆ içinde alınan spektrumda da izlendiği gibi bileşigimiz, bu çözgünde iki farklı rotamer halinde bulunmaktadır ve rotamer oranı 1/8 civarındadır. Yapılan literatür çalışmaları başka araştırmacılarında benzoksazolon halka sisteminin biyoizosteri olarak kabul edilen 2-benzotiyazolon-3-asetamit türevlerinde benzer bulgularla karşılaşlıklarını göstermektedir. Örneğin Önkol ve arkadaşları, 2000 yılında yayınlanan 2-(5-kloro-2-benzotiyazolinon-3-il)asetamit türevleriyle ilgili bir çalışmalarında, asetamit grubunun metilen protonlarını iki singlet ya da iki dublet olarak rapor etmişlerdir (25). Benzer durum, Çakır ve arkadaşlarının (2/4-sübstítüe)benzaldehit (2-oksobenzotiyazolin-3-il)asetohidrazon türevleriyle ilgili çalışmalarında da izlenmektedir (5). Ancak araştırmacılar, yayınlarında bu bulgularıyla ilgili hiç bir açıklama getirmemişlerdir.

2. 2-Oks-N-(o-tolil)benzoksazolin-3-asetamit Bileşığının (T2) ^1H NMR Bulgularının Değerlendirilmesi

Bileşığının ^1H NMR spektrumu karışık bir görünüm sergilemektedir. Aşağıda açıklanacak verilerin değerlendirilmesi sonucu bileşigin iki rotamer halinde bulunduğu saptanmıştır. Öncelikle bileşığımızın spektrumundan beklenen sinyallerin neler olduğunu saptanması spektrumun yorumlanmasına yardımcı olacaktır. T2 bileşığının, alifatik sahada metil ve metilen gruplarından kaynaklanan iki singlet vermesi, aromatik sahada da benzoksazolinon ve 1,2-dibstítüe benzen halkalarından kaynaklanan toplam 8 proton değerinde iki adet ABCD spin sisteminin sinyallerinin izlenmesi gerekmektedir. Aromatik protonlar arasında yeterli kimyasal kayma farkı olmadığı bir durumda iki ABCD spin sisteminin sonderece karmaşık bir spektruma yol açacağı aşikardır. T2 bileşığın spektrumunun incelenmesi , gerek alifatik, gerekse aromatik sahada beklenen sinyallerin dışında da sinyaller bulduğunu göstermektedir. Alifatik sahada δ 2.11 de metil grubuna ait 3 protona karşılık gelen, δ 4.64 de de metilen grubuna ait 2 protona karşılık gelen toplam iki siglet sinyal izlenmiştir. Alifatik sahada bunların dışında minör bir bileşiğe ait olduğu düşünülen δ 2.09 da bir singlet, δ 4.33 ve δ 4.43 de de J değerleri 17.3 Hz olan iki dublet görülmüştür. Bu dubletlerin geminal iki protonun etkileşmesiyle ortaya çıktıgı, etkileşme değişmezlerinden anlaşılmaktadır. Majör ve minör bileşiklere ait sinyallerin integrasyon değerlerinin karşılaştırılması majör/minör bileşik oranının 1/5 olduğunu göstermektedir. Spektrumun aromatik sahasında minör bileşiğe ait olan δ 6.75 da izlenen triplet-dublet ile δ 6.83 de izlenen dublet-dublet sinyallerinin yanında, δ 6.98-7.28 değerleri arasında majör ve

minör komponentlerden kaynaklanan karmaşık bir multiplet sinyal saptanmıştır. Spektrumun en karmaşık bölümü, δ 6.98-7.28 arasında gözlenen bu multiplet sinyaldir. Bu sinyali oluşturan piklerin integrasyon değeri majör bileşikten 8, minör bileşikten de 6 protonun varlığını işaret etmektedir. Spektrumun en aşağı alanında çıkan sinyal ise amit protonuna ait olan ve δ 9.62 de geniş singlet olarak gözlenen sinyaldir. Spektrumda izlenen majör ve minör sinyallerin bileşliğimizin iki farklı rotamer halinde bulunmasından kaynaklanabileceği düşünülmüştür. Bu konuda yapılan literatür çalışmasında T1 bileşliğinin ^1H NMR bulgularının tartışıldığı bölümde de debynildiği gibi, Önkol ve arkadaşları, 2-(5-kloro-2-benzotiyazolinon-3-il)asetamit türevleriyle ilgili bir çalışmalarında, asetamit grubunun metilen protonlarını bazı bileşiklerde geminal bölünmeyle oluşmuş iki dublet olarak rapor etmişlerdir (25). ^1H NMR spektumları normal koşullarda oda temperatüründe kaydedilmektedir. Yüksek veya düşük temperatürlerde alınan spektrumların intramoleküler hareketliliğin incelenmesinde (örneğin rotamerlerin ya da inversyonların çalışılması) çok faydalı olduğu bilinmektedir (15). Bu düşünceden hareketle ^1H NMR spektrumlarımızın alındığı, TÜBİTAK Enstrümantal Analiz Merkeziyle temas edilerek, bileşliğimizin spektrumunun farklı temperatürlerde alınması olanağı araştırılmıştır. Bileşliğimizin ^1H NMR spektrumu 335 K temperatüründe (61.85°C) tekrar kaydedilmiştir. Bu spektrumda (Spektrum No 15 ve 16) minör bileşliğin sinyallerin integrasyon değerlerinde önemli bir artış görülmüş ve normal temperatürde alınan spektrumdaki minör sinyaller, majör sinyallerle aynı şiddette izlenmeye başlamıştır. Bu durum iki spektrumun incelenmesiyle kolaylıkla saptanabilmektedir (Spektrum No 14 ve 16). Bu bulgu, bileşliğimizin safsızlık taşımadı, spektrumun alındığı solvanda iki farklı

rotamer halinde bulunduğunu göstermektedir. Bu iki rotamerden birinde asetamit grubunun metilen sinyali singlet olarak gözlenirken, diğer rotamerin metilen protonları, geminal bölünmeye uğrayarak iki dublet halinde izlenmektedir. Geminal bölünmeye uğrayan metilen protonları kimyasal eşdeğerliklerini, muhtemelen rotasyonun yavaşlamasına bağlı olarak yitirmektedirler.

3. 2-Okso-*N*-(*p*-tolil)benzoksazolin-3-asetamit Bileşığının (T3) ^1H NMR

Bulgularının Değerlendirilmesi

T3 bileşiği, o-izomerinin (T2) aksine, yorumlanması bir hayli kolay spektrum vermiştir. *N*-fenil halkasının 4 konumunda yer alan metil grubu, δ 2.24 de 3 protona karşılık gelen bir singlet vermiştir. Benzer şekilde metilen grubunun sinyali de singlet olarak δ 4.68 de izlenmiştir. Spektrumun aromatik sahasında *p*-tolil grubuna ait, 1,4-disübstitüebenzen yapısından kaynaklanan δ 7.11 ve δ 7.44 de ikişer proton değerinde iki dublet izlenmiştir. Bu durum, farklı iki sübstiyent taşıyan 1,4-disübstitüe benzen türevlerinin taşıdığı AA'BB' spin sistemine güzel bir örnektir. Aromatik sahada bu sinyaller dışında benzoksazolinon halka sisteminin 4 aromatik protonu da, bekendiği üzere, δ 7.14, 7.20, 7.27 ve 7.36 da sırasıyla triplet-dublet, triplet-dublet, dublet-dublet ve dublet-dublet halinde gözlenen ve her biri 1 protona karşılık gelen sinyaller vermiştir. Bileşliğimizin taşıdığı amit protonu ise δ 10.26 da kısmen geniş bir singlet olarak gözlenmiştir. T3 bileşığının spektrumunda diğer bileşiklerin spektrumunda izlenen minör sinyallerin bazılarının integre edilemeyecek ölçüde küçük oranlarda bulunduğu da saptanmıştır. Bu sinyaller, yaklaşık olarak δ 2.37 de singlet, δ 4.56 da singlet, δ 6.83 de triplet-dublet δ 6.86 da dublet-dublet olarak izlenmektedir. Minör sinyal olan δ 2.37 deki sinyalin integrasyonu dikkate alındığında minör/majör rotamer oranı yaklaşık 1/15 dir.

4. 2-Okso-N-(o-klorofenil)benzoksazolin-3-asetamit Bileşiğinin (T_5) 1H NMR Bulgularının Değerlendirilmesi

T_5 Bileşiğinin 1H NMR spektrumu kompleks bir görünüm sergilemektedir.

Aşağıda açıklanacak verilerin değerlendirilmesi sonucu bileşigin iki rotamer halinde bulunduğu saptanmıştır. Öncelikle bileşigimizin spektrumundan beklenen sinyallerin neler olduğunun saptanması spektrumun yorumlanmasına yardımcı olacaktır. T_5 bileşiginin, alifatik sahada metilen grubundan kaynaklanan bir singlet vermesi, aromatik sahada da benzoksazolinon ve 1,2-dübstitüe benzen halkalarından kaynaklanan toplam 8 proton değerinde iki adet ABCD spin sisteminin sinyallerinin izlenmesi gerekmektedir. Aromatik protonlar arasında yeterli kimyasal kayma farkı olmadığı bir durumda, T_2 bileşığında olduğu gibi iki ABCD spin sisteminin son derece karmaşık bir spektruma yol açacağı açıktır. T_5 bileşiginin spektrumundan alifatik sahada majör rotamere ait, δ 4.70 de iki proton değerinde, metilen protonlarından kaynaklanan singlet sinyal görülmektedir. Bu alanda minör rotamerden kaynaklanan ve birer protona karşılık gelen sırasıyla δ 4.39 ve δ 4.52 de J değerleri 17.7 Hz olan iki dublet izlenmiştir. Dubletlerin bölünme değişmezleri, bu sinyallerin geminal bölünme ile oluştuğunu göstermektedir. Aromatik sahada sinyaller, majör ve minör komponentlerin sinyallerinin karışması sonucu son derece kompleks bir yapı göstermektedir. Minör rotamere ait, δ 7.04 de bir triplet-dublet, δ 7.16 da da bir dublet-dublet sinyal saptanmıştır. δ 7.01-7.27 değerleri arasında, integrasyon değerlerine dayanarak majör ve minör rotamerlerin dörder protonunun bu alanda sinyal verdiği düşünülmüştür. Benzer şekilde, δ 7.39-7.45 değerleri arasında da majör rotamerin

3, minör rotamerin de 1 protonu bulunmaktadır. Yine integrasyon değerlerinin yorumlanmasıyla, δ 7.56-7.58 arasında izlenen multipletin minör rotamere ait olduğu, δ 7.60 da izlenen dubletin de majör rotamerden kaynaklandığı saptanmıştır. Bileşliğimizin amit protonu δ 10.20 de geniş singlet olarak izlenmektedir. Minör / majör rotamer karışımı yaklaşık olarak 1 / 1.2 oranındadır. Bileşliğimizin ^1H NMR spektrumu 335 K temperatüründe (61.85°C) tekrar kaydedilmiştir. Bu spektrumda (Spektrum No 25 ve 26) minör bileşliğin sinyallerin integrasyon değerlerinde önemli bir azalma görülmüş ve normal temperatürde alınan spektrumdaki 1/1.2 olan minör/majör oranı 1/2 değerine yükselmiştir. Bu durum iki spektrumun incelenmesiyle kolaylıkla saptanabilmektedir (Spektrum No 23, 25 ve 26). Bu bulgu bileşliğimizin safsızlık taşımayıp, spektrumun alındığı solvanda iki farklı rotamer halinde bulunduğu teyit etmektedir.

5. 2-Okso-*N*-(*p*-klorofenil)benzoksazolin-3-asetamit Bileşliğinin (T6**) ^1H NMR Bulgularının Değerlendirilmesi**

T6 bileşliğinin ^1H NMR spektrumunda izlenen sinyaller yine çözeltide majör ve minör iki rotamerin mevcut olduğunu düşündürmektedir. Majör rotamerin spektrumun alifatik sahasında metilen protonlarından kaynaklanan δ 4.71 de iki protonluk bir singlet verdiği görülmektedir. Yine bu rotamerin benzoksazolinon halkasının ABCD spin sistemine sahip 4 aromatik protonunun beklenen integrasyon değerlerinde sırasıyla δ 7.04 de triplet-dublet, δ 7.10 da triplet-dublet, δ 7.16 da dublet-dublet ve δ 7.25-7.28 aralığında da bir multiplet verdiği görülmektedir. Majör rotamerin *N*-(*p*-klorofenil) halkasına ait AA'BB' spin sistemine sahip aromatik protonları, sırasıyla, δ 7.26 ve δ 7.49 da ikişer protona karşılık

gelen iki dublet vermişlerdir. δ 10.50 de izlenen amit protonu spektrumda en aşağı alanda sinyal veren protondur. Minör rotamerin saptanabilen sinyalleri arasında, δ 4.34 de iki protonluk singlet, δ 6.75 de bir protona karşılık gelen triplet-dublet, δ 6.84 de bir protonluk dublet-dublet, δ 7.37 de de iki protona karşılık gelen dublet bulunmaktadır. Minör/majör rotamerler arasındaki oran yaklaşık olarak 1/3 olarak saptanmıştır. Bileşliğimizin ^1H NMR spektrumu 335 K temperatüründe (61.85°C) tekrar kaydedilmiştir. Bu spektrumda (Spektrum No 31 ve 32) minör bileşliğin sinyallerinin integrasyon değerlerinde T2 ve T5 bileşliğinde izlenen durumun tersine önemli bir artış görülmemiştir.



SONUÇ

Çalışmamızda sentezleri hedeflenen 2-okso-N-fenilbenzoksazolin-3-asetamit türevi 5 bileşigin spektral verileri, bileşiklerin elde edildiklerine yönelik destekleyici bulgular sağlamıştır. Bileşiklerimizin ^1H NMR spektrumlarından elde edilen en şaşırtıcı bilgi bu bileşiklerin, spektrumun alındığı çözgünde iki farklı rotamer halinde bulunduklarının saptanmasıdır. Rotamerler, tek bağ çevresinde dönüşün engellendiği ya da yavaşlatıldığı durumlarda oluşan konformerlerdir. 2-okso-N-fenilbenzoksazolin-3-asetamit genel yapısındaki bileşiklerimizde, fenil halkasında sübstüent bulunmadığı ya da para konumunda sübstüent bulunduğu bileşiklerde (T1, T3 ve T6), metilen sinyali her iki rotamerde de singlet olarak gözlenirken, orto sübstüye türevlerde (T2 ve T5) majör rotamerde singlet, minör rotamerde ise geminal bölünme göstererek iki dublet halinde izlenmiştir. Rotamerlerin hemen bütün protonlarında gözlenen kimyasal kayma değerlerindeki farklar, her bir konformerde, moleküller geometrideki değişikliklerden ötürü protonların farklı kimyasal çevrelere sahip olduğunu, diğer bir deyişle gölgelenmelerinin farklı olduğunu göstermektedir. Bu noktada cevaplandırılması

gerekken iki soru ortaya çıkmaktadır. Birincisi, bileşiklerimizde rotamer oluşumuna sebep olan faktörler nelerdir; diğeri de *orto* izomerlerde metilen protonlarına ait sinyalin bir rotamerde singlet verirken diğerinde neden geminal bölünmeye uğradığıdır?

T1 bileşinin DMSO-d₆ içerisinde alınan ¹H NMR spektrumunda iki rotamer izlenirken, CDCl₃ ve DMSO-d₆ karışımında alınan spektrumunda bu durum söz konusu değildir. Bu bulgu, rotamer oluşumunda çözgenin etken olduğunu düşündürmektedir. Bileşiklerimizin yapısı incelendiğinde, amit protonu ile, amit karbonili arasında veya moleküller geometrinin izin verdiği ölçüde benzoksazolinon halkasının karbonil oksijeni arasında bir intramoleküler hidrojen bağı gerçekleşebilir. Böyle bir hidrojen bağı imit tautomeriyle, benzoksazolinon karbonili arasında da meydana gelebilir. Bu olasılıklar tek bağ çevresinde dönüşü engelleyerek bir rıjıt konformer ortaya çıkartabilir. DMSO, polar karakterli bir solvandır. Bileşiklerimizde bulunan amit hidrojeni ile sülfovksit oksijeni arasında gerçekleşebilecek bir hidrojen bağı teşekkülü, molekülde intramoleküler hidrojen bağlı bir konformer yanında, çözgen ile intermoleküler hidrojen bağı yapmış bir ikinci konformerin oluşumuna neden olabilir. Apolar karakterli bir solvan varlığında (örneğin CDCl₃), intramoleküler hidrojen bağı daha fazla destekleneceğinden, bir tek bu rotamer spektrumda izleniyor olabilir. Bileşiklerimizin ¹H NMR spektrumlarında amit hidrojeninin beklenenden daha aşağı alanda çıkması bu protonların hidrojen bağı yaptıklarını destekler bir bulgudur. Bu düşünceye paralel olarak anilit yapısındaki amit bağından kaynaklanan rotamerler de dikkate alınmalıdır. Yukarıda de濂ilen moleküller arası veya molekül içi kuvvetlerin ya da sterik faktörlerin etkisiyle, amit grubunun N-CO bağından kaynaklanan E/Z

rotamerlerinin oluşması olasıdır. N-sübstitüe anilit türevlerinde N-CO bağındaki dönüşün engellenmesi sonucu *E/Z* rotamerlerinin ortaya çıktıgı ve bu rotamerlerin, bileşiklerin spektrumlarının alındığı NMR solvanlarında farklı oranlarda bulunduğu tespit edilmiştir. Çözgen polaritesinin artışı *E/Z* rotamer miktarlarını birbirine yaklaşımaktadır. Literatür verilerine göre CDCl_3 de 1/60 olan oran, DMSO-d_6 da 1/20 oranına kadar inmektedir (4).

Bu noktada dikkate alınması gereken diğer husus da *orta* izomerlerin rotamer karışımılarında izlenen, metilen sinyalinin singlet yanında geminal bölünmeye uğrayarak iki dublet vermesidir. Geminal bölünme, ancak metilen grubunun serbest dönüşünün engellendiği, metilen protonlarının kimyasal çevrelerinin farklılaşlığı, yani kimyasal ve manyetik eşdeğerliklerini kaybettikleri bir durumda söz konusu olabilir. Bu duruma en güzel örnek diastereotopik gruptlardır. Kiral veya uygun prokiral merkezlere bağlı metilen protonları, kimyasal ve manyetik eşdeğerliklerini kaybedeceklerdir. Moleküllerimizde de bir kiral merkez bulunmamaktadır. Buna karşın, benzoksazolon halkasının 3 konumunda bulunan azot atomu uygun bir prokiral merkez sayılabilir. Azot atomunun ortaklanmamış elektron çiftinin şemsiye hareketinin engellendiği ya da azaldığı yani hızlı inversiyonun engellendiği ya da azaldığı durumlarda, bu atoma bağlı olan metilen protonlarının eşdeğerliklerini yitirdikleri bilinen bir durumdur (15). Azot atomunun hızlı inversiyonun engellendiği bilinen en iyi örnek bileşikler, azot atomunun 3 üyeli halkalarda bulunduğu bileşiklerdir (15,22) . Bileşiklerimizde böyle bir durum bulunmamakla beraber, *orta* izomerlerde benzoksazolinon halkasının 3 konumunda bulunan azot atomunun, minör rotamerlerde sterik faktörlerin etkisiyle şemsiye hareketi yavaşlayabilir. Buna bağlı olarak da metilen protonları kimyasal

eşdeğerliklerini kaybederek geminal bölünme gösterebilir. Bir diğer olasılık da anilit yapısındaki N-Ar bağıının, *orta* sübstitüentin sterik etkisi nedeniyle, dönüşünün azalması olabilir. Bu da enantiomerik atropizomerleri ortaya çıkartacaktır. Böyle bir durumda, söz konusu metilen protonları diastereotopik özellik kazanacaklardır. Hacimli *orta* sübstitüent taşıyan anilit türevlerinde bu tür atropizomerlerin olduğu bilinen bir durumdur (4).

Burada değinilenlerin dışında da başka faktörler, bu bileşiklerin rotamer karışımı halinde bulunmasına yol açıyor olabilir. Hiç şüphesiz bu konuda kesin yargıya varmak ancak daha detaylı çalışmalarla mümkünür. Bunlardan biri, bileşiklerin farklı solvanlarda ve farklı temperatürlerde ^1H NMR spektrumlarının alınması olabilir. Olanaklarımızın dışında kalan daha ileri analizlerin yapılabilmesi için çabalarımız sürecektir.

ÖZET

Bu çalışmada, antikonvulzan aktivite gösterdiği bilinen iki farklı farmakoforun birleştirilmesiyle tasarlanan nonsübstítüe veya *N*-fenil halkasının o- veya p- konumunda Cl veya CH₃ bulunan beş tane 2-okso-*N*-fenil benzoksazolin-3-asetamit türevi bileşiğin sentezi gerçekleştirilmiştir. Bu amaçla ilk basamakta anilin veya sübstítüe anilin ile 2-kloroasetil klorür'ün tepkimesiyle 2-kloro-*N*-fenilasetamit türevleri hazırlanmış, ikinci basamakta bu araürünler 2(3H)-benzoksazolinon ile tepkimeye sokularak hedef bileşiklere varılmıştır.

Bileşiklerimizin yapıları UV, IR, ¹H NMR ve CIMS spektral verileriyle teyit edilmiştir. Hedef bileşiklerimizin, ¹H NMR spektrumlarının alındığı solvanda (DMSO-d₆) iki rotamer halinde bulunduğu saptanmıştır. Rotamer oluşumuna yol açan konformasyonel sınırlamaların tespiti için daha detaylı çalışmalara gereksinim duyulmaktadır. Olanaklarımıza dışında kalan daha ileri analizlerin yapılabilmesi için çabalarımız sürecektir.

SUMMARY

In this study, two different pharmacofor's which are known to have an anticonvulsant activity were combined and consequently four 2-oxo-N-phenylbenzoxazolin-3-acetamide derivatives having chloro or methyl on the *ortho* or *para* position and a nonsubstituted derivative were obtained.

Due this purpose, as the first step aniline or substituted aniline were reacted with 2-chloroacetyl chloride to prepare 2-chloro-N-phenyl acetamide derivatives, then these intermediates were reacted with 2(3*H*)-benzoxazolinon to reach the final compounds.

The compounds' structures were elucidated by UV, IR, ¹H NMR spectral data. The ¹H NMR spectrums taken in DMSO-d₆ solution revealed that our target compounds were present as 2 rotamers. For the determination of the conformational restriction which causes rotamer formation, more detailed studies must be done. We will carry on our attend to realise futher analyses which we're incapable of completing, as it is not feasible for the time being.

KAYNAKLAR

1. Aktürk, Z. "ω-(1*H*-imidazol-1-il)-*N*-sübstítüe Alcanoik Asit Amitlerinin Sentezi ve Biyolojik Aktivitelerinin Araştırılması", (**Doktora Tezi**), Ege Üniversitesi Eczacılık Fakültesi, İzmir, (2001).
2. Bailleux, V., Vallee, L., Nuyts, J. P., Vemecq, J., "Anticonvulsant Activity of Some 4-amino-*N*-phenylphthalimides and *N*-(3-amino-2-methylphenyl)phthalimides", **Biomed & Pharmacother.**, 48, (1994), 95-101.
3. Clark, C. R., Lin, C. M., Sansom, R. T., "Anticonvulsant Activity of Some 4-amino benzanilides", **J. Med. Chem.**, 28, (1985), 1259-1262.
4. Curran, D. P., Hale, G. R., Geib, S. J., Balog, A., Cass, Q. B., Degani, A. L. G., Hernandes, M. Z., Freitas, L. C. G., "Rotational Features of Carbon-Nitrogen Bonds in Axially Chiral *o*-*tert*-butyl Anilides and Related Molecules. Potential Substrates for the 'Prochiral Auxiliary' Approach to Asymmetric Synthesis", **Tetrahedron: Asymmetry**, 8, No 23, (1997), 3955-3975.

5. Çakır, B., Ulucay, A., Doğruer, D. S., Isimer, A., Şahin, M. F., "Synthesis and Antinociceptive Activity of Some 3-Substituted Benzothiazolone Derivatives", **II Farmaco**, 54, (1999), 846-851.
6. Çalış, Ü., Pilli, H. G., Özkanlı, F., "Bazı Yeni N-Arilasetamid Türevlerinin Sentezleri", **Hacettepe Univ. Eczacılık Fak. Dergisi**, 12, sayı 2, (1992), 71-76.
7. Doğruer, D. S., Ünlü, S., Şahin, M. F., Yeşilada, E., "Anti-nociceptive and Anti-inflammatory Activiy of Some (2-Benzoxazolone-3-yl and 2-Benzothiazolone-3-yl)acetic acid Derivatives", **II Farmaco**, 53, (1998), 80-84.
8. Erdoğan, H., Debaert, M., Cazin, J. C., "Synthesis of Some 2-Benzoxazolinone Derivatives and Their Analgesic Properties", **Arzneim.-Forsch./Drug Res.**, 41 (I), Nr. 1, (1991), 73-76.
9. Erol, DD., Aytemir, MD., Yuluğ, N., "Synthesis and Antibacterial and Antifungal Properties of Thiazolinoethyl-2(3H)-benzoxazolone Derivatives (II)", **Eur. J. Med. Chem.**, 31, (1996), 731-734.
10. Erol, DD., Aytemir, MD., Yuluğ, N., "Synthesis and Antimicrobial Activity of Thiazolinomethyl-2(3H)-benzoxazolone Derivatives (I)", **Eur. J. Med. Chem.**, 30, (1995), 521-524.
11. Ersan, S., Nacak, S., Berkem, R., Özden, T., "Synthesis and Antimicrobial Activities of 2-[(α -Metylbenzylidene)-hydrazino]benzoxazoles", **Arzneim.-Forsch./Drug Res.**, 47 (II), Nr. 8, (1997), 963-965.

12. Eşkazan, E., **Epilepsilerde Tanı ve Tedavi**, 1. Basım, İstanbul, 1998, s. 57-80.
13. Gillardin, J. M., Verleye, M., Ralambosoa, C., Lepage, F., Levi, R. H., "Anticonvulsant Profile and Plasma-Brain Concentrations of a New 2,6-Dimethylbenzamide *N*-(5-methyl-3-isoxazolil)", **Epilepsia**, 34, (1993), 38.
14. Gökhan, N., Erdoğan, H., Durlu, N. T., Demirdamar, R., "Analgesic Activity of Acylated 2-Benzoxazolinone Derivatives", **II Farmaco**, 54, (1999), 112-115.
15. Hesse, M., Meier, H., Zeeh, B., **Spectroscopic Methods in Organic Chemistry**, D. Enders, R. Noyori, B. M. Trost (Series Ed.), Georg Thieme Verlag Stuttgart, New York, 1997.
16. Kayaalp, O., Rasyonel Tedavi Yönünden Tıbbi Farmakoloji-2, 9. Basım, Hacettepe-Taş, Ankara, 2000, s. 1070-1087.
17. Korolkovas, A., **Essentials of Medicinal Chemistry**, 2nd Ed., John Wiley and Sons, 1988.
18. Kwan, P., Sills, G. J., Brodie, M. J., "The Mechanisms of Action of Commonly Used Antiepileptic Drugs", **Pharmacology & Therapeutics**, 90, (2001), 21-34
19. Lepage, F., Tombret, F., Cuvier, G., Marivain, A., Gillardin, J. M., "New N-aryl Isoxazolecarboxamides and *N*-isoxazolylbenzamides as Anticonvulsant Agents", **Eur. J. Med. Chem.**, 27, (1992), 581-593.
20. Leppik, I. E., "Antiepileptic Drugs in Development: Prospects for the Near Future", **Epilepsia**, 35 (4), (1994), 29-40.

21. Lin, Z., Kadaba, P. K., "Molecular Targets for the Rational Design of Antiepileptic Drugs and Related Neuroprotective Agents", **Medicinal Research Reviews**, 17 (6), (1997), 537-572
22. March, J., **Advanced Organic Chemistry- Reactions, Mechanisms and Structure**, 3rd Ed., John Wiley & Sons, New York, 1985.
23. Nachman, R. J., "Convinient Preparation of 2-Benzoxazolinones with 1,1-carbonyldiimidazole", **J. Heterocycl. Chem.**, 19, 1545-1547, (1982).
24. Önkol, Ito, S., Yıldırım, E., Erol, K., Şahin, M. F., "Synthesis and Antinocaceptive Activity of (2-Benzolon-3-yl)propionamide Derivatives", **Arch. Pharm. Pharm. Med. Chem.**, 334, (2001), 17-20.
25. Önkol, T., Doğruer, D. S., Ito, S., Şahin, M. F., "Synthesis and Antinociceptive Activity of (5-Chloro-2-benzothiazolinon-3-yl)acetamide Derivatives", **Arch. Pharm. Med. Chem.**, 333, (2000), 337-340.
26. Ören, İ., Temiz, Ö., Yalçın, İ., Şener, E., Akın, A., Uçartürk, N., "Synthesis and Microbiological Activity of 5(or 6)-Methyl-2-substituted Benzoxazole and Benzimidazole Derivatives", **Arzneim.-Forsch./Drug Res.**, 47 (II), Nr. 12, (1997), 1393-1397.
27. Özkanlı, F., Dalkara, S., Caluis, U., Willke, A., "Synthesis of Some N-arylamidazole Acetamide Derivatives and Their Anticonvulsant and Antimicrobial Activities", **Arzneim.-Forsch./Drug Res.**, 44 (8), (1994), 920-924.
28. Pabuçcuoğlu, V., and Ozer, A., "ω-(1H-1-İmidazolil)-N-(p-süstitüefenil)alkanoik Asit Amitlerinin Sentezi ve Yapı aydınlatmaları", **Doga Tr. J. Of Pharmacy**, 1, (1991), 103-116.

29. Palaska, E., Gökhan, N., Erdoğan, H., Tel, B. C., Demirdamar, R., "Synthesis of Some New Pyridyl-ethylated Benzoxazolinones with Analgesic and Anti-inflammatory Activities", **Arzneim.-Forsch./Drug Res.**, 49 (II), Nr. 9, (1999), 754-758.
30. Palaska, E., Ünlü, S., Özkanlı, F., Pilli, G., Erdoğan, H., Şafak, C., Demirdamar, R., Gümüşel, B., Duru, S., "3-Sustituted Piperazinomethyl Benzoxazolinones", **Arzneim.-Forsch./Drug Res.**, 45 (I), Nr. 6, (1995), 693-696.
31. Pilli, G., Erdoğan H., Sunal R., "Some New Benzoxazolinone Derivatives with Analgesic and Anti-inflammatory Activities", **Arzneim.-Forsch./Drug Res.**, 43 (II), Nr. 12, (1993), 1351-1354.
32. Porter, R. J., Meldrum, B. S., Çeviren: Eşkazan, E., Denizbaşı, A., "Antiepileptik İlaçlar", **Temel ve Klinik Farmakoloji**, 6 th Edition, Katzung B. G., (Ed.), (1995), s. 483-510.
33. Shankaran, K., Donnelly, K. L., Shah, S. K., Humes, J. L., Pacholok, S. G., Grant, S. K., Green, B. G., MacGoss, M., "Inhibition of Nitric Oxide Synthase by Benzoxazolones", **Bioorganic & Medicinal Chemistry Letters**, 7, No. 22, (1997), 2887-2892.
34. Silverstein, R. M., Bassler, G. C., Morrill, T. C., **Spectrometric Identification of Organic Compounds**, 4th Ed., John Wiley & Sons Inc., New York, 1981.
35. Uçar, H., Cacciaguerra, S., Spampinato, S., Van derpoorten, K., Isa, M., Kanyonyo, M., Poupaert, J. H., "2(3H)-benzoxazolone and 2(3H)-

- benzothiazolone derivatives: Novel, potent and selective σ_1 receptor ligands”, **European Journal Of Pharmacology**, 355, (1997), 267-273.
36. Uçar, H., Van derpoorten, K., Cacciaguerra, S., Spampinato, S., Stables, J. P., Depovere, P., Isa, M., Massereel, B., Delarge, J., Poupaert, J. H., “Synthesis and Anticonvulsant Activity of 2(3H)-Benzoxazolone and 2(3H)-Benzothiazolone Derivatives”, **J. Med. Chem.**, 41, (1998), 1138-1145.
37. Ünlü, S., Erdoğan, H., Sunal, R., “Synthesis of Some (2-Benzoxazolinones-3-yl)alkanoic acid Derivatives and Their Analgesic Properties”, **Hacettepe Univ., Journal of Faculty of Pharmacy**, 12, No. 1, (1992), 23-31.
38. Üstünes, L., Pabuçcuoğlu, V., Berkan, T., Özer, A., “Preliminary Studies on a New Group of Imidazole Derivatives with Anticonvulsant Activity”, **J. Fac. Pharm. Ankara**, 19 (1-2), (1989), 39-45.

ÖZGEÇMİŞ

1977 yılında İzmir' de doğdum. 1995 yılında ortaöğretimimi Özel İzmir Amerikan Lisesi' nde tamamladım ve aynı yıl Ege Üniversitesi Eczacılık Fakültesi' ne girdim. 1999 yılında mezun oldum ve E. Ü. Sağlık Bilimleri Enstitüsü' nde Yüksek Lisans Programı' na kabul edildim.

*E.C. YÜKSEK ÖĞRETİM İŞLEMİ
DOKÜMAN TASYON*